

### 3. ผลการศึกษา

ผลการศึกษาที่ได้ในโครงการ สามารถแบ่งออกเป็นหัวข้ออยู่ได้ตามลักษณะของอนุภาคที่พิจารณา ดังต่อไปนี้

#### 3.1 การวิเคราะห์สนา�ไฟฟ้าในช่องว่างอากาศ

วิธีการคำนวณเชิงเลขวิธีต่างๆ เช่น วิธีไฟโนต์อเลิมเน็ต หรือวิธีชันประกอบขอบเขต (Boundary element method) สามารถใช้ในการคำนวณสนา�ไฟฟ้าได้ อย่างไรก็ตาม วิธีเหล่านี้มักจะให้คำคำตอบที่มีความคลาดเคลื่อนอย่างมาก ในกรณีของปัญหาที่มีพื้นผิวโค้งด้วงตัวอยู่ใกล้พื้นผิวอื่น [1]. ในอีกด้านหนึ่ง วิธีเชิงวิเคราะห์สามารถให้คำตอบที่ถูกต้องแม่นยำของสนา�ไฟฟ้า วิธีวิเคราะห์ยังมีความสามารถในการประยุกต์ใช้กับปัญหาที่เราต้องการพิจารณาความสัมพันธ์ของประจุไฟฟ้า แรงไฟฟ้าสถิต และปฏิกิริยาระหว่างตัวทุกตัวใน การจัดเรียง [2, 3]. ในโครงการวิจัยนี้ ผู้วิจัยได้พัฒนาวิธีเชิงวิเคราะห์ โดยมีพื้นฐานจากอาร์มอนิกส์ศักย์ไฟฟ้า ของระบบพิกัดทรงกลมแบบขั้ว (Oblate spheroidal coordinates) ซึ่งสามารถใช้ในการคำนวณ สนา�ไฟฟ้าในรูปแบบการจัดเรียงต่างๆ ที่มีวัตถุทรงกลมลักษณะขั้วอยู่ภายใน เช่นเดียวกับการ คำนวณในกรณีของทรงกลม [4, 5] หรือทรงกลมลักษณะขั้ว (Prolate spheroid) [6]. สามารถการ กระจายศักย์ไฟฟ้าใหม่จะถูกประยุกต์ใช้ เพื่อวิเคราะห์หาเงามัลติเพลทแทนศักย์ไฟฟ้าจากประจุเหนือนิวนิวบัน พิวของทรงกลมลักษณะขั้ว. วิธีเชิงวิเคราะห์นี้สามารถคำนวณสนามไฟฟ้าได้อย่างแม่นยำ แม้แต่ในกรณีที่ทรง กลมลักษณะขั้วอยู่ใกล้กับอิเล็กโตรด หรือใกล้กับทรงกลมอื่น.

จากการใช้วิธีเชิงวิเคราะห์ที่ได้พัฒนาขึ้น ผู้วิจัยได้ศึกษาการกระจายของสนามไฟฟ้าในรูปแบบการ จัดเรียงของทรงกลมแบบขั้วภายในช่องว่าง จำนวนแข็งเป็นวัสดุที่มีบทบาทสำคัญในระบบ込んで ไฟฟ้าแรงสูงในปัจจุบัน. จำนวนแข็งถูกใช้ในระบบต่างๆ เป็นวัสดุชนิดหลัก หรือเป็นองค์ประกอบเสริม. จำนวนแข็งมีความคงทนได้อิเล็กต clue แรง เมื่อเปรียบเทียบกับวัสดุอื่นๆ จำนวนมาก ก็ต้องทนทานกว่ากัน. อย่างไรก็ตาม เป็นที่ทราบกันดีว่า การมีอุบัติช่องว่าง (Cavity or void) ภายในช่องว่างแข็ง ทำให้ความสามารถในการลด ของระบบเปลี่ยนแปลงไปอย่างมาก. สนามไฟฟ้าภายในช่องว่างจะมีขนาดสูงกว่าสนามไฟฟ้าภายในช่องว่าง ที่ล้อมรอบอยู่ เนื่องจากลักษณะภายในช่องว่างเป็นก๊าซ ซึ่งมีค่าคงตัวได้อิเล็กต clue ต่ำกว่าฉนวนแข็ง. ลักษณะ สมบัติพื้นฐานของสนามไฟฟ้าภายในช่องว่างแบบผสมแสดงอยู่ในเอกสารอ้างอิง [7]. เมื่อสนามไฟฟ้า ภายในช่องว่างมีขนาดสูงเกินกว่าที่ลักษณะจะทนได้ ก็จะเกิดดีซาร์จบางส่วนขึ้นภายในช่องว่าง. ดีซาร์จ บางส่วนเกี่ยวข้องกับกระบวนการทางเคมี ทางกล และทางความร้อน ซึ่งสามารถทำให้เกิดการสื่อสารทาง ภายในช่องว่างที่อยู่ล้อมรอบได้. ในกรณีวิกฤต ดีซาร์จบางส่วนภายในช่องว่างสามารถนำไปสู่การเกิด เบรกดาวน์อย่างสมมูลกับระบบในช่องว่างได้ [8, 9].

จนถึงปัจจุบัน ได้มีงานวิจัยจำนวนหนึ่งทำการศึกษาสนามไฟฟ้าภายในช่องว่างที่วางตัวอยู่ในช่องว่าง เนื่องจากสนามไฟฟ้าเป็นองค์ประกอบที่สำคัญในการกำหนดการเกิดดีซาร์จบางส่วน. การศึกษาในตอน แรก Salvage ได้วิเคราะห์สนามไฟฟ้าในช่องว่างแบบทรงกระบอกวงรี และช่องว่างแบบทรงกลมลักษณะขั้ว ที่อยู่ในตำแหน่งกึ่งกลางระหว่างอิเล็กโตรดตระหง่านคู่หนาน. Salvage ใช้อาร์มอนิกส์ของระบบพิกัดทรงกลมใน การหาค่าประมาณของคำตอบศักย์ไฟฟ้า โดยมีเงื่อนไขว่า เส้นผ่านศูนย์กลางของช่องว่างมีขนาดไม่ มากกว่าระยะห่างระหว่างอิเล็กโตรดกันช่องว่าง. Salvage ตรวจสอบค่าความเครียดสนามไฟฟ้าตามแนวแกน สมมาตรของช่องว่าง เมื่อมีระยะห่างระหว่างช่องว่างและอิเล็กโตรดต่างๆ กัน [10]. ผลการศึกษาแสดงอย่าง ชัดเจนถึง อิทธิพลของรูปร่างของช่องว่างที่มีต่อการกระจายสนามไฟฟ้า. วิธีเชิงวิเคราะห์ในลักษณะคลัง กัน ยังได้ถูกประยุกต์ใช้ในการคำนวณสนามไฟฟ้าของด้วนนำรูปทรงกลมลักษณะขั้ว ที่อยู่ระหว่างระนาบ

อิเล็กโตรดคู่ข้าง [11]. นอกจากนี้ได้มีการศึกษาการแปรผันของสนามไฟฟ้ากับมิติของช่องว่างทรงกระบอก และระยะห่างระหว่างอิเล็กโตรด โดยใช้วิธีผลิต่างสینเน็ง [12]. การศึกษาพบว่า สนามไฟฟ้าเฉลี่ยบนแกนสมมาตรของช่องว่าง มีค่าเพิ่มขึ้นตามอัตราส่วนของรัศมีต่อความยาวแกนสมมาตรของช่องว่าง. Chang et al. ได้ค้นพบสนามไฟฟ้าภายในช่องว่าง โดยใช้วิธีไฟโน๊ตอิลิเมนต์ สำหรับรูปว่างแบบทรงกระบอก. การศึกษาดังนี้ได้รายงานถึงผลของการจัดเรียงของช่องว่าง ที่มีต่อสนามไฟฟ้า โดยได้รวมถึงกรณีที่มีช่องว่างมากกว่าหนึ่งเรียงต่อกันในบริเวณใกล้เคียงกัน [13]. ผลการคำนวณแสดงว่า สนามไฟฟ้าสูงสุดภายในช่องว่างลดลงเมื่อจำนวนของช่องว่างที่เรียงตัวกันเป็นอนุกรมเพิ่มขึ้น. อาย่างไรก็ตาม มีข้อสังเกตว่า ค่าคงตัวได้อิเล็กตริกของอนุนัชที่ใช้ในการคำนวณสำหรับงานวิจัยนี้ มีค่าสูงมาก (10 ถึง 10,000). Ghourab และ El-Makkawy ได้ประยุกต์ใช้วิธีจำลองประจุ (Charge simulation method) คำนวณสนามไฟฟ้าเฉลี่ยในช่องว่างรูปทรงกลม [14]. ทั้งสองได้รายงานถึงผลของค่าคงตัวได้อิเล็กตริก ที่มีต่อสนามไฟฟ้าสูงสุดตามแนวแกนของช่องว่าง. นอกจากนี้ ยังได้ตรวจสอบผลของ ตำแหน่งของช่องว่าง และการเรียงตัวของช่องว่างในบริเวณใกล้เคียง. Hossam-Elding et al. ใช้วิธีชั้นประกอบของเขดเชิงอ้อม วิเคราะห์สนามไฟฟ้าในรูปแบบการจัดเรียงของช่องว่างทรงกลม และช่องว่างทรงกระบอก [15]. ผลการศึกษาที่ได้ แสดงให้เห็นอีกรั้งว่า มีการแปรผันของค่าสนามไฟฟ้าสูงสุดบนแนวแกนของช่องว่าง เมื่อเปลี่ยนแปลงรูปทรงและตำแหน่งของช่องว่าง. ลักษณะสมบัติของสนามที่ได้คล้ายคลึงกันระหว่างกรณีของช่องว่างทรงกลม และช่องว่างทรงกระบอก.

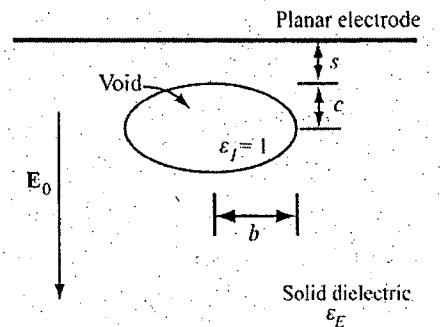
ค่าคงบันของศักย์ไฟฟ้าสถิตภายในช่องว่าง ยังมีประโยชน์ในการวิเคราะห์ลักษณะสมบัติชั้นคุ้งของประจุที่เกิดจากกระบวนการการดีไซน์ระบบส่วนภายนอกในช่องว่าง [16-19]. งานวิจัยเหล่านี้พิจารณาช่องว่างรูปทรงรี และช่องว่างรูปทรงคล้ายทรงกลม โดยมีการละเลียดผลของอิเล็กโตรดที่มีต่อศักย์ไฟฟ้า และละเลียดศักย์ไฟฟ้าเนื่องจากมัลติโพล. ในงานวิจัยอีกชิ้นหนึ่งที่สัมพันธ์กับการคำนวณสนามไฟฟ้านวนัตถุรูปทรงคล้ายทรงกลม ได้มีความพยายามใช้สมการเพื่อประมาณสนามไฟฟ้าที่อยู่ภายนอกด้าน外ของทรงกลมแบบข้าง ภายใต้สนามไฟฟ้าสามมิติ [20]. อาย่างไรก็ตาม งานวิจัยนี้พิจารณาเฉพาะกรณีของวัสดุที่อยู่อย่างເອກເທົ່ານັ້ນ.

ดังที่ได้กล่าวมาในข้างต้นนี้ งานวิจัยที่มีอยู่ในอดีตส่วนใหญ่พิจารณาช่องว่างทรงกลม หรือช่องว่างทรงกระบอก. สำหรับช่องว่างทรงกระบอก ผู้วิจัยมักพิจารณาช่องว่างที่มีอัตราส่วนของความสูงต่อความกว้าง ค่าต่ำ เนื่องจากเป็นกรณีที่สนามไฟฟ้าในช่องว่างมีค่าสูง. เรายังขาดข้อมูลโดยละเอียดของสนามไฟฟ้าภายในช่องว่างรูปทรงคล้ายทรงกลม โดยเฉพาะอย่างยิ่ง ในกรณีที่ช่องว่างอยู่ใกล้กับอิเล็กโตรด. สังเกตว่า ในกรณีนี้ ศักย์และสนามไฟฟ้าจะไม่สมมาตรเมื่อเทียบกับรูปแบบแนวระดับที่เก่งกาจของอนุภาค. ดังนั้น เราไม่สามารถใช้การพิจารณาแบบง่าย ดังที่มีการวิเคราะห์ด้วยข้อมูลนิยมในอดีตได้. ข้อมูลของสนามไฟฟ้าภายในช่องว่างในขณะที่ปราศจากดีไซน์ระบบส่วนภายนอก จะมีความสำคัญอย่างยิ่งยวด เนื่องจากสนามไฟฟ้านี้จะเป็นตัวกำหนดการกระจายของประจุค้างเมื่อเกิดดีไซน์ระบบส่วนภายนอกภายในช่องว่าง.

### 3.1.1 รูปแบบการจัดเรียงที่ใช้ในการวิเคราะห์

รูปแบบการจัดเรียงที่ใช้ในการวิเคราะห์เป็นช่องว่างรูปทรงคล้ายทรงกลมแบบข้าง วงตัวอยู่ภายในอนุนัช ใกล้กับระบบอิเล็กโตรด ดังแสดงในรูปที่ 1. ความยาวครึ่งแกนเอกและแกนโท (major and minor semi-axes) ของช่องว่างมีค่าเท่ากับ  $b$  and  $c$  ตามลำดับ. ช่องว่างอยู่ห่างจากระบบอิเล็กโตรดเป็นระยะทาง  $r$ . รูปแบบการจัดเรียงนี้อยู่ภายในช่องว่าง ได้สนามไฟฟ้าสามมิติ  $E_0$  ในทิศทางพุ่งลงขนาดกันแกนโทของช่องว่าง ซึ่ง เป็นสนามไฟฟ้าที่เกิดจากความต่างศักย์ระหว่างระบบอิเล็กโตรด กับอิเล็กโตรดอื่นที่อยู่ห่างไกลออกไปไปจนกระทั่งสามารถละเลียดผลของมันที่มีต่อสนามไฟฟ้าภายในช่องว่างได. ค่าคงตัวได้อิเล็กตริกของช่องว่าง และของอนุนัชที่อยู่ล้อมรอบ แทนด้วยสัญลักษณ์  $\epsilon_1$  (เท่ากับ 1) และ  $\epsilon_B$  ตามลำดับ. ในกรณีที่สำหรับ

งานวิจัยนี้ ผู้วิจัยได้แบ่งค่าอัตราส่วนความยาวแกน  $b/c$ , ระยะห่าง  $s$  และค่าคงตัวไดอิเล็กตริค  $\epsilon_E$  เพื่อสังเกต พฤติกรรมของสนามไฟฟ้าที่เปลี่ยนแปลง การคำนวณใช้คงตัวไดอิเล็กตริค  $\epsilon_E$  เท่ากับ 2 และ 4 ซึ่งเป็นค่าทั่วไปของอนุรักษ์ส่วนใหญ่ที่ใช้งานอยู่ในปัจจุบัน และสมมติว่าบริเวณของปัญหาที่กำลังพิจารณาเป็นไปจากประจุด่าง.



รูปที่ 1. รูปแบบการจัดเรียงในการวิเคราะห์

### 3.1.2 วิธีคำนวณ

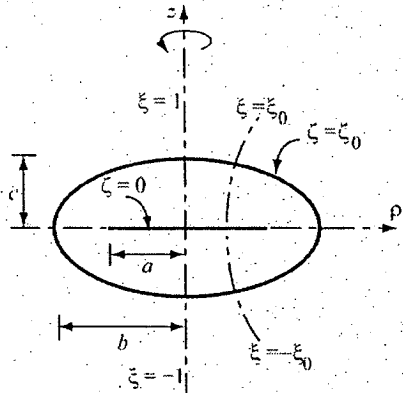
#### a. พิกัดทรงคล้ายทรงกลมแบนขั้วและสำรวจอนิగส์ของพิกัด

รูปที่ 2 แสดงพิกัดทรงคล้ายทรงกลมแบนขั้ว ( $\zeta, \xi, \varphi$ ) ซึ่งใช้สำหรับวิเคราะห์สนามไฟฟ้า. ค่าพิกัดนี้สัมพันธ์กับพิกัดคาร์ทีเซียน ( $x, y, z$ ) และพิกัดทรงกระบอก ( $\rho, z, \varphi$ ) ดังสมการต่อไปนี้.

$$\begin{aligned} z &= a\zeta\xi \\ x &= \rho \cos \varphi \\ y &= \rho \sin \varphi \\ \rho &= a\sqrt{1+\zeta^2}\sqrt{1-\xi^2} \end{aligned} \quad (1)$$

โดยที่พิกัด  $\zeta \geq 0$ ,  $-1 \leq \xi \leq 1$ ,  $0 \leq \varphi < 2\pi$  และ  $a$  เป็นค่าคงที่ของระบบพิกัดทรงคล้ายทรงกลมแบนขั้วที่กำลังพิจารณา. พื้นผิว  $\zeta = \zeta_0$  ได้  $\zeta_0$  เป็นผิวของทรงคล้ายทรงกลมแบนขั้วซึ่งมี  $b = a\sqrt{1+\zeta_0^2}$ ,  $c = a\zeta_0$  และมีจุดโฟกัสที่  $\rho = a$  บนระนาบ  $z = 0$ . สำหรับ  $\zeta = 0$  พื้นผิวจะลดรูปลงเป็นทรงกระบอกที่มีรัศมี  $a$  และมีความหนาเท่าศูนย์ (นั่นคือ เป็นแผ่นวงกลม) บนระนาบ  $z = 0$  ดังแสดงในรูปที่ 2. ตัวประกอบอัตราส่วน (scale factor)  $h_1$ ,  $h_2$  และ  $h_3$  เมื่อเทียบกับ  $\zeta$ ,  $\xi$  และ  $\varphi$  เป็นไปตามสมการต่อไปนี้ [21].

$$\begin{aligned} h_1 &= a\sqrt{\frac{\zeta^2 + \xi^2}{1 + \zeta^2}} \\ h_2 &= a\sqrt{\frac{\zeta^2 + \xi^2}{1 - \xi^2}} \\ h_3 &= a\sqrt{(1 + \zeta^2)(1 - \xi^2)} \end{aligned} \quad (2)$$



รูปที่ 2. รูปแบบการจัดเรียงในการวิเคราะห์

สำหรับการวิเคราะห์ในงานวิจัยนี้ ศักย์ไฟฟ้ามีการกระจายแบบสมมาตรรอบแกนหมุน “ไม่ขึ้นกัน” พิกัด  $\varphi$ . เราสามารถแสดงศักย์ไฟฟ้า  $\phi$  ในรูปทั่วไป เป็นผลรวมของ harmonic ของ  $\Phi$  และ  $\Psi$  ของทรงคล้ายทรงกลมแบบนี้ดังนี้.

$$\phi(\zeta, \xi) = \Psi_B(\zeta, \xi) + \Phi_L(\zeta, \xi) \quad (3)$$

$$\Psi_B(\zeta, \xi) = \sum_{n=0}^{\infty} B_n Q_n(i\zeta) P_n(\xi) \quad (4)$$

$$\Phi_L(\zeta, \xi) = \sum_{n=0}^{\infty} L_n P_n(i\zeta) P_n(\xi) \quad (5)$$

ในสมการข้างบนนี้  $B_n$  และ  $L_n$  เป็นสัมประสิทธิ์ของศักย์ไฟฟ้า,  $i = \sqrt{-1}$  เป็นหน่วยห่วงจินตภาพ.  $P_n$  และ  $Q_n$  เป็นพังค์ชันเลื่อนของตรีгонิติกที่ 1 และ 2 อันดับที่  $n$  ตามลำดับ. สังเกตว่า ศักย์ไฟฟ้า  $\Psi$  เป็นเอกฐาน (อนันต์) ที่  $\zeta = 0$  และลดลงเป็นศูนย์เมื่อ  $\zeta \rightarrow \infty$ . ในทางกลับกัน ศักย์ไฟฟ้า  $\Phi$  มีค่าจำกัดที่  $\zeta = 0$  แต่เป็นเอกฐานเมื่อ  $\zeta \rightarrow \infty$ . ทั้งนี้ ด้วยลักษณะของ harmonic ของศักย์ไฟฟ้าที่ใช้ แสดงถึงสัมประสิทธิ์ศักย์ไฟฟ้าที่เกี่ยวข้อง. ด้วยอย่างเช่น ตัวอย่าง  $B$  และ  $L$  ของ  $\Psi_B$  และ  $\Phi_L$  ตามลำดับ. จากลักษณะสมบัติของพังค์ชัน  $P_n(i\zeta)$  และ  $Q_n(i\zeta)$  สัมประสิทธิ์  $L_n$  และ  $B_n$  จะต้องเป็นจำนวนจริงสำหรับอันดับ  $n$  เลขคี่และเลขคู่ ตามลำดับ เพื่อให้  $\Phi_L$  และ  $\Psi_B$  เป็นจำนวนจริง.

#### ๙. ศักย์ไฟฟ้าของทรงคล้ายทรงกลมแบบนี้

พิจารณาทรงคล้ายทรงกลมแบบนี้ที่นิยามด้วยพิกัด  $\zeta = \zeta_0$ . ทรงคล้ายทรงกลมนี้ได้รับนามไฟฟ้า ภายในอก  $\phi^{ext}$  ที่เกิดจากแหล่งกำเนิด(ประจุ)ใดๆ ที่อยู่ภายนอกทรงคล้ายทรงกลม. เราสามารถเขียน  $\phi^{ext}$  ในรูปของสมการที่ (5) ได้เป็น

$$\phi^{ext} = \Phi_M(\zeta, \xi) = \sum_{n=0}^{\infty} M_n P_n(i\zeta) P_n(\xi) \quad (6)$$

เนื่องจากศักย์ไฟฟ้า  $\phi$  ภายในทรงคล้ายทรงกลมแบบนี้  $\zeta_0$  มีค่าจำกัด(ไม่เป็นอนันต์) เราจึงแสดงสมการของศักย์ไฟฟ้าได้เป็น

$$\phi' = \Phi_L(\zeta, \xi) = \sum_{n=0}^{\infty} L_n P_n(i\zeta) P_n(\xi) \quad \text{เมื่อ } \zeta \leq \zeta_0 \quad (7)$$

ศักย์ไฟฟ้า  $\phi'$  ในบริเวณภายนอกทรงคล้ายทรงกลม เป็นผลรวมของ  $\phi^{ext}$  และศักย์ไฟฟ้าเนื่องจากประจุที่ถูกเห็นี่ยวนำบันผิวของทรงคล้ายทรงกลม ซึ่งมีค่าลดลงเป็นศูนย์เมื่อ  $\zeta \rightarrow \infty$ . ดังนั้น เราสามารถเขียนสมการของศักย์ไฟฟ้าเนื่องจากประจุที่ถูกเห็นี่ยวนำบัน  $\zeta \geq \zeta_0$  ด้วย  $\Psi_B$  และเขียนศักย์ไฟฟ้ารวมได้เป็น

$$\phi^E = \phi^{ext} + \Psi_B(\zeta, \xi) = \Phi_M(\zeta, \xi) + \sum_{n=0}^{\infty} B_n Q_n(i\zeta) P_n(\xi). \quad (8)$$

สัมประสิทธิ์ศักย์ไฟฟ้า  $M_n$ ,  $L_n$  และ  $B_n$  ต้องทำให้เงื่อนไขข้อบ่งชี้ของศักย์ไฟฟ้าและสนามไฟฟ้าบนผิวของทรงคล้ายทรงกลมเป็นจริง. นั่นคือ ที่  $\zeta = \zeta_0$  เราได้ว่า

$$\phi' = \phi^E \quad (9)$$

และ

$$\varepsilon_E E_\zeta^E - \varepsilon_I E_\zeta' = \frac{\sigma}{\varepsilon_0} \quad (10)$$

เมื่อ  $\sigma$  เป็นความหนาแน่นของประจุในระบบผิวข้อนอก,  $\varepsilon$  เป็นส่วน率ของอากาศว่าง และ

$$E_\zeta = -\frac{1}{h} \frac{\partial}{\partial \zeta} \phi \quad (11)$$

ในการนี้ที่ปราศจากประจุตั้งบนพื้นผิวอยู่ต่อ จากรูปที่ (7) ถึง (11) เราสามารถหาค่าของสัมประสิทธิ์  $L_n$  และ  $B_n$  ในรูปของสัมประสิทธิ์ศักย์ไฟฟ้าภายนอก  $M_n$  ดังนี้

$$L_0 = M_0 \quad (12)$$

$$B_0 = 0 \quad (13)$$

และสำหรับ  $n \geq 1$  จะได้

$$L_n = \frac{\left[ \frac{Q'_n(i\zeta_0)}{P'_n(i\zeta_0)} - \frac{Q_n(i\zeta_0)}{P_n(i\zeta_0)} \right]}{\left[ \frac{\varepsilon_I}{\varepsilon_E} \frac{Q'_n(i\zeta_0)}{P'_n(i\zeta_0)} - \frac{Q_n(i\zeta_0)}{P_n(i\zeta_0)} \right]} M_n \quad (14)$$

$$B_n = \frac{\left[ \frac{\varepsilon_I}{\varepsilon_E} - 1 \right]}{\left[ \frac{\varepsilon_I}{\varepsilon_E} \frac{Q'_n(i\zeta_0)}{P'_n(i\zeta_0)} - \frac{Q_n(i\zeta_0)}{P_n(i\zeta_0)} \right]} M_n \quad (15)$$

ในสมการที่ (14) และ (15)  $P'_n$  และ  $Q'_n$  เป็นอนุพันธ์ของฟังก์ชัน  $P_n$  และ  $P_n$  เมื่อเทียบกับตัวแปร  $\zeta$  ตามลำดับ.

### ค. ประจุสมมูลกับศักย์ไฟฟ้า

จากเงื่อนไขปราศจากประจุตั้ง ศักย์ไฟฟ้า  $\Psi_B$  ในสมการที่ (8) เกิดจากประจุบนผิวของทรงคล้ายทรงกลม. จากพจน์แต่ละพจน์ของ  $\sum_{n=0}^{\infty} B_n Q_n(i\zeta) P_n(\xi)$  ในสมการที่ (4) เราสามารถหาประจุสมมูลของทรงคล้ายทรงกลมแบบนี้ ที่ให้ศักย์ไฟฟ้าเหมือนกับทุกประการได้. าร์มอนิกส์อันดับที่  $n$  ของทรงคล้ายทรงกลมแบบนี้ จะเทียบได้กับ แผ่นประจุชั้นเดียว (Single layer charge) บนผิวนวงกลม  $\zeta = 0$ . ความหนาแน่นประจุ  $\rho_{s,n}$  หาได้โดยอาศัยทฤษฎีบทของเกลส์ เมื่อใช้ขั้ดจำกัดดังต่อไปนี้

$$\frac{\rho_{s,n}}{2\varepsilon_E} = -B_n P_n(\xi) \frac{1}{|d\xi|} \left[ \lim_{\zeta \rightarrow 0} \frac{d}{d\zeta} Q_n(i\zeta) \right] \quad (16)$$

อนุพันธ์ของ  $Q_n$  มีค่าจำกัดที่  $\zeta = 0$ .

$$\left[ \frac{d}{d\zeta} Q_n(i\zeta) \right]_{\zeta=0} = i(-1)^{\frac{n}{2}} \frac{n!!}{(n+1)!!} (n+1) \quad (17)$$

จากรูปที่ (16) และ (17) เราได้ความหนาแน่นของประจุในรูปของฟังก์ชันของ  $\xi$  และ  $n$  เป็น

$$\frac{\rho_{s,n}}{2\varepsilon_E} = i(-1)^{\frac{n}{2}+1} \frac{1}{a} \frac{n!!(n+1)}{(n+1)!!} \frac{P_n(\xi)}{|\xi|} B_n \quad (18)$$

สำหรับอันดับ  $n$  เลขคู่ใดๆ สมการที่ (18) ระบุว่า ความหนาแน่น  $\rho_{3,n}$  ของเงาประจุมีขนาดเป็นอนันต์ที่ขอบของแผ่นวงกลม  $\zeta = 0$ .

สำหรับศักย์ไฟฟ้าร่มอนิกส์ทรงคล้ายทรงกลมแบบนี้ที่มีอันดับ  $n$  เป็นเลขคี่ ประจุส่วนมูลเป็นแผ่นประจุสองชั้น (double layer charge) หรือแผ่นไดโอล อยู่บนแผ่นวงกลม  $\zeta = 0$ . ความหนาแน่นของเงาประจุของ-arm อนิกส์อันดับเลขคี่คือจำกัดตลอดทั่วแผ่นวงกลม. เราสามารถหาความหนาแน่น  $\rho_{d,n}$  ของไดโอล ได้จากเงื่อนไขความไม่ต่อเนื่องของศักย์ไฟฟ้าระหว่างด้านบนและด้านล่างของแผ่นวงกลม

$$\frac{\rho_{d,n}}{2\epsilon_E} = B_n P_n(\xi) \left[ \lim_{\zeta \rightarrow 0} Q_n(i\xi) \right] \quad \text{เมื่อ } \xi \geq 0 \quad (19)$$

เราเขียนอนุพันธ์ของ  $Q_n$  ที่  $\zeta = 0$  ได้เป็น

$$Q_n(i0) = (-1)^{\frac{n+1}{2}} \frac{(n-1)!!}{n!!} \quad (20)$$

ดังนั้น ความหนาแน่นของไดโอลหาได้จาก

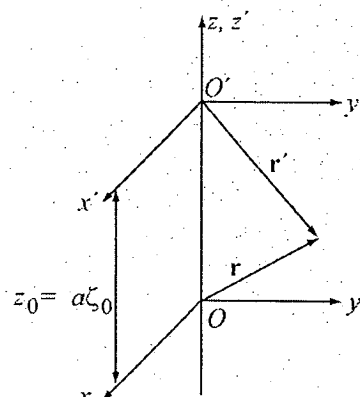
$$\frac{\rho_{d,n}}{2\epsilon_E} = (-1)^{\frac{n+1}{2}} \frac{(n-1)!!}{n!!} P_n(\xi) B_n \quad \text{เมื่อ } \xi \geq 0 \quad (21)$$

### v. การกระจายพจน์ใหม่ของ-arm อนิกส์ทรงคล้ายทรงกลมแบบนี้

พิจารณา-arm อนิกส์ทรงคล้ายทรงกลมแบบนี้อันดับที่  $n$  ในระบบพิกัด  $(\zeta, \xi, \phi)$ .

$$\Psi_{B,n}(\mathbf{r}') = Q_n(i\xi') P_n(\xi') \quad (22)$$

โดยที่  $\mathbf{r}'$  เป็นเวกเตอร์จากจุดกำเนิด  $O'$  ไปยังจุดที่พิจารณาค่าศักย์ไฟฟ้า ดังแสดงในรูปที่ 3.



รูปที่ 3. การกระจายพจน์ใหม่ของ-arm อนิกส์ทรงคล้ายทรงกลมแบบนี้

เราต้องการกระจายพจน์ของ  $\Psi_{B,n}$  ในรูปของ  $\Phi_M$  รอบจุดกำเนิด  $O$  ของพิกัด  $(\zeta, \xi, \phi)$  ซึ่งอยู่ที่ตำแหน่ง  $z_0$  ใต้จุดศูนย์กลาง  $O'$  เดิม (รูปที่ 3). นั่นคือ เขียนศักย์ไฟฟ้าได้เป็น

$$\Psi_{B,n}(\mathbf{r}') = \Phi_M(\mathbf{r}) = \sum_{m=0}^{\infty} M_m^n P_m(\zeta) P_m(\xi) \quad (23)$$

เมื่อเวกเตอร์  $\mathbf{r}$  เริ่มจากจุดกำเนิด  $O$  ไปยังจุดที่พิจารณาศักย์ไฟฟ้า และ  $M_m^n$  เป็นสัมประสิทธิ์ของการกระจายพจน์ใหม่ของ  $\Psi_{B,n}$  ไปยัง  $\Phi_{M,m}$ . เราสามารถหา  $M_m^n$  ได้โดยอาศัยลักษณะสมบัติเชิงตัวของฟังก์ชันเลขอร่องร์.

$$\begin{aligned} \int_{-1}^1 P_n(\xi) P_m(\xi) d\xi &= \frac{2}{2m+1} \quad \text{if } n = m \\ &= 0 \quad \text{if } n \neq m \\ P_n(0) &= (-1)^{n/2} \frac{1}{n+1} \frac{(n+1)!!}{n!!} \end{aligned} \tag{24}$$

สำหรับอันดับ  $m$  เลขคู่,  $P_m(\xi) = P_m(-\xi)$  นั่นคือ ศักย์ไฟฟ้าที่ด้านบนและด้านล่างของแผ่นวงกลม  $\zeta = 0$  มีค่าเท่ากัน. ดังนั้น เราจะได้ว่า

$$M_m^n = (-1)^{m/2} (2m+1) \frac{m!!(m+1)}{(m+1)!!} \int_0^1 \Psi_{B,n}(r') P_m(\xi) d\xi \tag{25}$$

สำหรับอันดับ  $m$  เลขคี่,  $P_m(\xi) = -P_m(-\xi)$  ทำให้ปริพันธ์ในสมการที่ (25) มีค่าเป็นศูนย์. เพื่อที่จะหาค่าของสัมประสิทธิ์  $M_m^n$  เราพิจารณาสามาfore ไฟฟ้าในทิศทาง  $\zeta$  ซึ่งมีค่าไม่เปลี่ยนแปลงระหว่างด้านบนและด้านล่างของแผ่นวงกลม  $\zeta = 0$ . จากเอกลักษณ์ของฟังก์ชันเลขของดร'

$$P'_m(i0) = \left. \frac{d}{d\xi} P_m(i\xi) \right|_{\zeta=0} = i(-1)^{\frac{m-1}{2}} \frac{m!!}{(m+1)!!} (m+1) \tag{26}$$

เราสามารถเขียนสามาfore ไฟฟ้า  $E_\zeta$  บนแผ่นวงกลม  $\zeta = 0$  ได้เป็น

$$E_\zeta = \sum_{m=1}^{\infty} i(-1)^{\frac{m+1}{2}} \frac{m!!}{(m+1)!!} (m+1) \frac{P_m(\xi)}{|\zeta|} M_m^n \tag{27}$$

เมื่อพิจารณาพื้นผิวนของแผ่นวงกลม ซึ่ง  $E_\zeta = E_z$  เราได้ว่า

$$M_m^n = i(-1)^{\frac{m+1}{2}} (2m+1) \frac{(m-1)!!}{m!!} \times a \int_0^1 \left[ -\frac{d}{dz} \Psi_{B,n}(r') \right] \xi P_m(\xi) d\xi \tag{28}$$

สำหรับอันดับ  $m$  เลขคี่.

เราสามารถใช้สมการที่ (25) และ (28) ในการคำนวณ เพื่อหาค่าสัมประสิทธิ์  $M_m^n$  จาก  $B_n$  ได้.

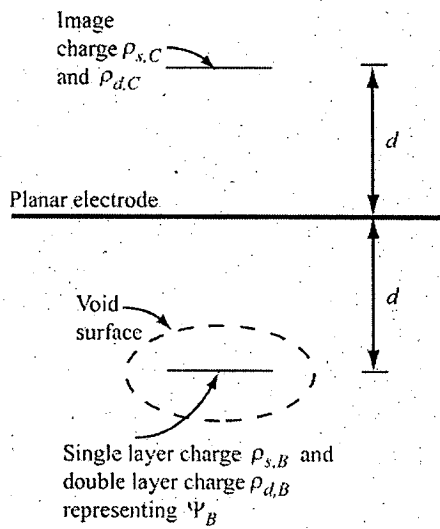
### จ. ขั้นตอนการคำนวณ

สำหรับปัญหาศักย์ไฟฟ้าในรูปแบบการจัดเรียงตามรูปที่ 1 นอกเหนือจากเงื่อนไขข้อบ่งชี้ (9) และ (10) บนผิวนของทรงคล้ายทรงกลมแล้ว เรายังต้องให้ศักย์ไฟฟ้า  $\phi^E$  ในบริเวณภายนอกทรงคล้ายทรงกลม เป็นไปตามเงื่อนไขศักย์ไฟฟ้าคงที่บนผิวนของระบบอิเล็กโตรด้วย. ถ้าพิจารณาประจุชั้นเดียว  $\rho_{s,B}$  และประจุสองชั้น  $\rho_{d,B}$  ซึ่งเป็นด้านหนึ่งของศักย์ไฟฟ้าเหนือนิยนนำ  $\Psi_B$  ของช่องว่างรูปทรงคล้ายทรงกลม เราสามารถทำให้เงื่อนไขศักย์ไฟฟ้าเท่าบนผิวนของระบบอิเล็กโตรดเป็นจริงได้ โดยการวางแผนงานประจุที่ระยะห่าง  $d$  เดียวกัน ในด้านตรงข้ามของอิเล็กโตรด ดังแสดงในรูปที่ 4. เงาะประจุ  $\rho_{d,C}$  มีข้าเดียวกับ  $\rho_{d,B}$  ในขณะที่  $\rho_{s,C}$  มีข้าตรงข้ามกับ  $\rho_{s,B}$ . เราสามารถแสดงศักย์ไฟฟ้า  $\Psi_C$  เนื่องจากเงาะประจุ  $\rho_{s,C}$  และ  $\rho_{d,C}$  ได้เป็น

$$\Psi_C = \sum_{n=0}^{\infty} C_n Q_n(\zeta') P_m(\zeta') \tag{29}$$

เมื่อพิจัด  $\zeta$  และ  $\zeta'$  มีจุดศูนย์กลางอยู่ที่จุดศูนย์กลางของเงาะประจุ(หรือไดโอล) ซึ่งสามารถสรุปได้โดยง่ายว่า

$$C_n = (-1)^{n+1} B_n \tag{30}$$



รูปที่ 4. เงาประจุเนื่องจากการ nab ของอิเล็กโตรดที่ทำให้เงื่อนไขศักย์ไฟฟ้าคงที่บนผิวของอิเล็กโตรดเป็นจริง

คำตอบของศักย์ไฟฟ้า  $\phi^E$  ภายนอก และ  $\phi'$  ภายในช่องว่างของรูปแบบการจัดเรียงตามรูปที่ 1 สามารถหาได้โดยใช้ขั้นตอนการคำนวณคล้ายคลึงกับที่นำเสนอใน [5] ดังนี้.

1. การคำนวณริมจากศักย์ไฟฟ้า  $\Phi^{ext}$  ของสนามไฟฟ้าภายนอก  $E_0$ . ให้จุดศูนย์กลางของทรงคล้ายทรงกลมเป็นจุดกำเนิด. เราสังเกตจากสมการที่ (1) ได้ว่า  $aP_1(i\zeta)P_1(\zeta) = iz$ . ดังนั้น

$$\Phi^{ext} = V_0 - iaE_0 P_1(i\zeta)P_1(\zeta) \quad (31)$$

เมื่อ  $V_0$  เป็นค่าคงที่ซึ่งขึ้นอยู่กับศักย์ไฟฟ้าข้างบน nab ของอิเล็กโตรด. สังเกตว่าสมการที่ (31) อยู่ในรูปของสมการที่ (6) โดยมี  $M_0 = V_0$  และ  $M_1 = -iaE_0$ .

2. ใช้สมการที่ (7), (8) และ (12) ถึง (15) เพื่อให้ได้  $\phi^E$  และ  $\phi'$  ซึ่งเป็นไปตามเงื่อนไขขอนบนผิวของทรงคล้ายทรงกลม.

$$\phi^E = \Phi^{ext} + \Psi_B^{(1)} \quad (32)$$

เมื่อดันนีบ '1' แสดงขั้นตอนของกระบวนการทำสำ้า

3. ศักย์ไฟฟ้าในสมการที่ (32) ไม่เป็นไปตามเงื่อนไขศักย์ไฟฟ้าเท่าน nab ของอิเล็กโตรด เนื่องจากมีพจน์  $\Psi_B^{(1)}$  เพิ่มขึ้นมา. ดังนั้น เราใช้เงาประจุเนื่องจากการ nab อิเล็กโตรด ซึ่งจะปรับค่าศักย์ไฟฟ้าให้เป็นไปตามเงื่อนไขขอนบนเขตดังกล่าว.

$$\phi^E = \Phi^{ext} + \Psi_B^{(1)} + \Psi_C^{(1)} \quad (33)$$

4. โดยการใช้สมการการกระจายพจน์ใหม่ในสมการที่ (25) และ (28) เราสามารถเขียน  $\Psi_C^{(1)}$  ในรูปของ  $\Phi_M$  และเขียนสมการที่ (33) ได้เป็น

$$\phi^E = \Phi^{ext} + \Psi_B^{(1)} + \Phi_M^{(1)} \quad (34)$$

5. ศักย์ไฟฟ้า  $\Psi_C^{(1)}$  หรือ  $\Phi_M^{(1)}$  รบกวนเงื่อนไขขอนบนผิวของทรงคล้ายทรงกลม. เพื่อที่จะทำให้เงื่อนไขขอนบนเขตดังกล่าวเป็นจริงอีกครั้ง เราพิจารณา  $\Phi_M^{(1)}$  เป็นศักย์ไฟฟ้าภายนอก และใช้สมการที่ (7), (8) และ (12) ถึง (15) กับศักย์ไฟฟ้าภายนอกนี้ ทำให้ได้

$$\phi^E = \Phi^{ext} + \Psi_B^{(1)} + \Phi_M^{(1)} + \Psi_B^{(2)} \quad (35)$$

6. ทำการคำนวณตามขั้นตอนที่ 3 ถึง 5 ช้า เพื่อให้เงื่อนไขข้อมูลนิพิช่องระบบด้านล่าง และผิวของทรงคล้ายทรงกลมเป็นจริง จนกระทั่งได้ค่าศักยไฟฟ้า  $\phi^E$  ที่สูงเข้าสู่ค่าตอบจริง หลังจากนั้น ศักยไฟฟ้า  $\phi^E$  สามารถคำนวณได้จากสมการที่ (14) และ (15).

### 3.1.3 ผลการคำนวณที่ได้

จากการคำนวณที่ได้กล่าวมาในข้างต้น ผู้จัยได้ทดลองวิเคราะห์สนามไฟฟ้าในช่องว่างรูปทรงคล้ายทรงกลมของการจัดเรียงตามรูปที่ 1 การคำนวณใช้อันดับสูงสุดของมัลติเพลประเมณ 20 โดยขึ้นอยู่กับอัตราส่วนความยาวแกนของทรงคล้ายทรงกลม และระยะห่างระหว่างทรงคล้ายทรงกลมกับอิเล็กโตรด ผู้จัยได้ตรวจสอบความแม่นยำของผลการคำนวณจาก เงื่อนไขข้อมูลนิพิช่องว่าง (ทั้งนี้ เนื่องจากศักยไฟฟ้าตามสารมโนิกส์จะเป็นไปตามสมการลากลากโดยเสมอ) ผลการคำนวณที่ได้มีอัตราส่วนของสนามไฟฟ้าในแนวตั้งจากบนผิวของช่องว่างมีค่าเปลี่ยนไปจาก  $E/E_0$  น้อยกว่า 0.2% ในทุกกรณีของการคำนวณ.

#### ก. ช่องว่างเอกเทศ (Isolated void)

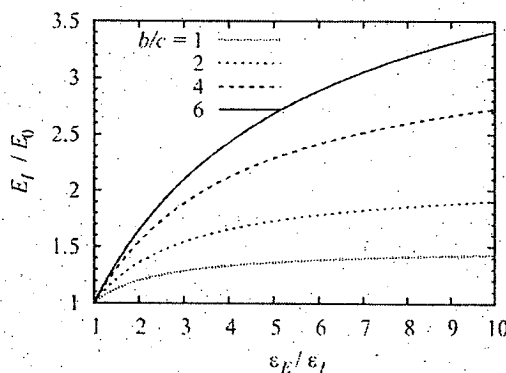
หัวข้อนี้อธิบายอย่างสั้นๆ ถึงพฤติกรรมของสนามไฟฟ้าภายในช่องว่าง เมื่อระยะทาง  $a$  กว้างมาก จนกระทั่งเราสามารถละเลยผลของอิเล็กโตรดได้อย่างสมบูรณ์ ในกรณีนี้ เป็นที่ทราบอย่างดีว่า สนามไฟฟ้า  $E^I$  ภายในช่องว่างมีค่าคงที่ไม่ขึ้นกับตำแหน่ง [7, 21, 22]. สำหรับสนามไฟฟ้าภายนอก  $E_0$  ที่ขานกับแกนโทของช่องว่าง

$$\frac{E_I}{E_0} = \frac{\varepsilon_E / \varepsilon_I}{(\varepsilon_E / \varepsilon_I) - [(\varepsilon_E / \varepsilon_I) - 1]\alpha} \quad (36)$$

ค่าคงที่  $\alpha$  ในสมการที่ (36) เป็นพังก์ชันของความเอียงศูนย์กลาง (eccentricity),

$$\beta = \sqrt{1 - (c/b)^2} \quad (37)$$

$$\alpha = \frac{1}{\beta^2} \left[ 1 - \frac{\sqrt{1 - \beta^2}}{\beta} \arcsin \beta \right] \quad (38)$$



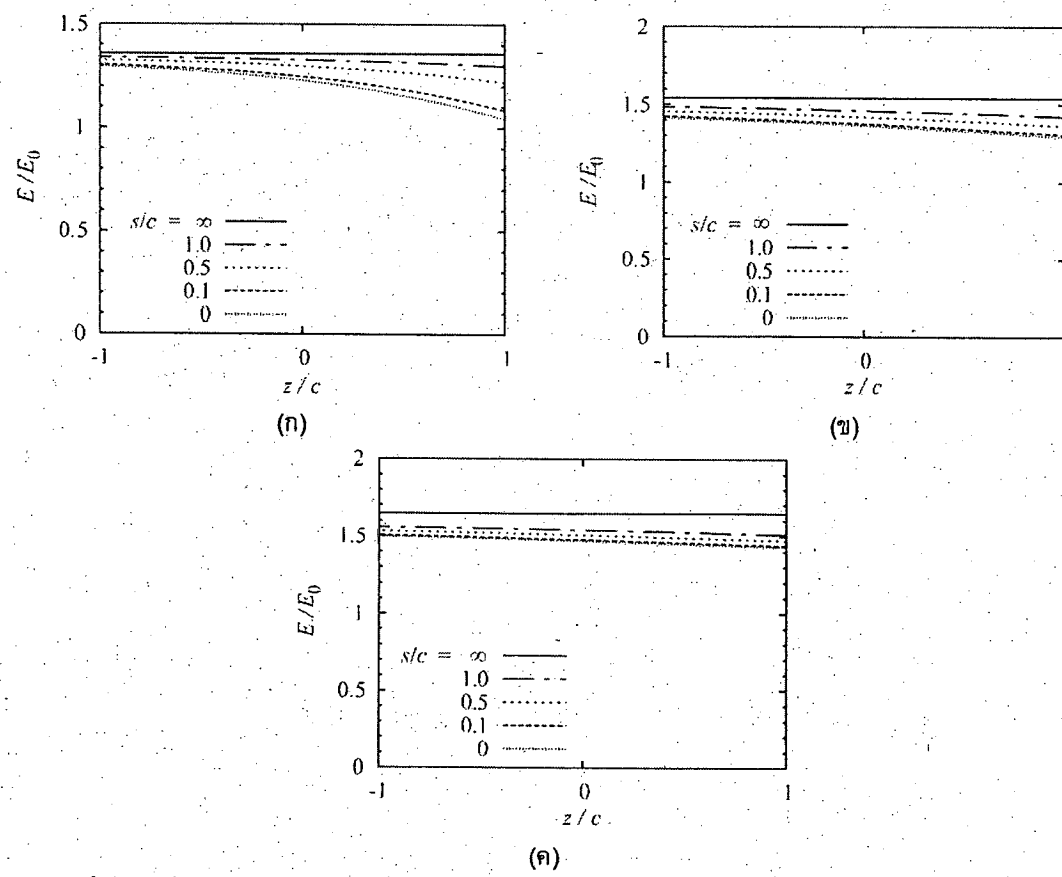
รูปที่ 5. สนามไฟฟ้าภายในช่องว่างรูปทรงคล้ายทรงกลมแบบขั้วซึ่งอยู่อย่างเอกเทศภายใต้สนามไฟฟ้า  $E_0$

ค่าของ  $\alpha$  แปรอยู่ระหว่าง  $1/3$  สำหรับทรงกลมถึง  $1$  สำหรับทรงคล้ายทรงรีแบบขั้วที่มีความหนาเข้าใกล้ศูนย์ หรือ  $\beta = 1$ . รูปที่ 5 แสดงขนาดของสนามไฟฟ้าซึ่งทำให้เป็นบรรทัดฐานด้วย  $E_0$  ภายในช่องว่าง รูปทรงคล้ายทรงกลม เป็นพังก์ชันของอัตราส่วนค่าคงตัวไดอิเล็กตريك  $E/E_0$ . สำหรับช่องว่างที่มีอัตราส่วนของความยาวแกน  $b/c$  ต่างๆ. เราสามารถเห็นได้จากรูปอย่างชัดเจนว่า สนามไฟฟ้าภายในช่องว่างมีขนาด

เพิ่มขึ้นตามอัตราส่วนของค่าคงตัวไดอิเล็กตริก. สนามไฟฟ้าจะเข้าสู่ค่าขีดจำกัด  $(1-\beta)^{-1}$  ซึ่งขึ้นอยู่กับอัตราส่วน  $b/c$  เมื่อ  $\varepsilon_E/\gamma$  มีค่าสูงมากพอ. ที่อัตราส่วนของ  $\varepsilon_E/\gamma$  ค่าเดียวกัน สนามไฟฟ้าจะมีค่าสูงกว่าในช่องว่างที่มีอัตราส่วนความยาวแกน  $b/c$  มากกว่า (นั่นคือ ช่องว่างรูปร่างแบนมากกว่า). ในทางทฤษฎีแล้ว  $E/E_0$  ในสมการที่ (36) ถูเข้าสู่ค่า  $\varepsilon_E/\gamma$  เมื่อ  $b/c \rightarrow \infty$ . อย่างไรก็ตาม จากรูปที่ 5 เรายพบว่า สนามไฟฟ้ายังคงมีขนาดต่างกันกว่าค่าขีดจำกัดดังกล่าวอยู่มาก ที่อัตราส่วนความยาวแกน  $b/c = 6$ .

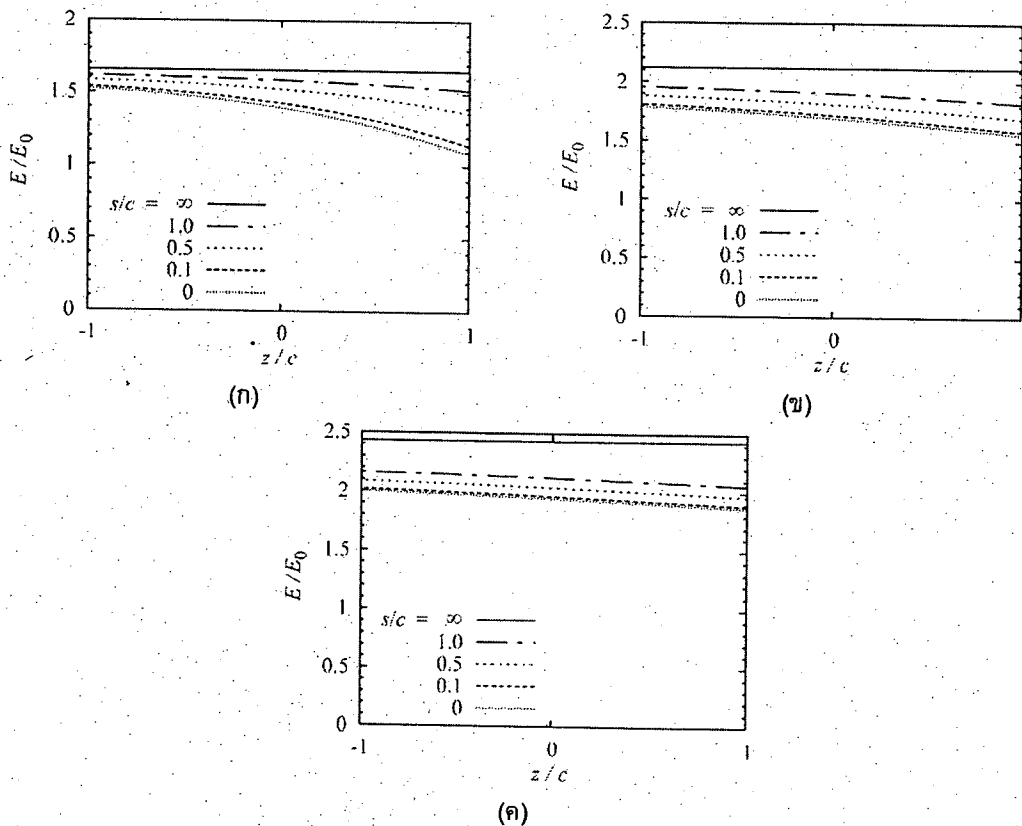
#### ข. การประพันของสนามไฟฟ้าเมื่อระหำเปลี่ยนแปลง

หัวข้อนี้นำเสนอผลของอิเล็กโตรดต่อสนามไฟฟ้าภายในช่องว่าง. รูปที่ 6 แสดงการกระจายของสนามไฟฟ้า ซึ่งทำให้เป็นรูหัตฐานด้วย  $E_0$  บนแกนสมมาตร(แกนໂ拓)ของช่องว่างทรงกล้วยทรงกลมที่มีอัตราส่วนความยาวแกน  $b/c$  ต่างๆ โดยที่จำนวนแข็งที่อยู่ล้อมรอบมีค่าคงตัวไดอิเล็กตริก  $\varepsilon_E = 2$ . กราฟแต่ละรูปในรูปที่ 6 แสดงสนามที่ค่าระหำ  $s/c$  ตั้งแต่ 0 ถึงอนันต์. จากรูปที่ 6 เราเห็นได้อย่างชัดเจนว่า สนามไฟฟ้านั้นแนวนี้มีค่าลดลง เมื่อช่องว่างอยู่ใกล้กับอิเล็กโตรด. ลักษณะสมบัตินี้สอดคล้องกับที่ได้รายงานไว้ในการวิจัยอื่น. สำหรับช่องว่างที่มีอัตราส่วนความยาวแกน  $b/c$  ต่ำ ในรูปที่ 6(a) การลดลงของสนามไฟฟ้าตามค่า  $s/c$  จะมีลักษณะค่อนข้างเต็มที่ขึ้นด้านบน  $z/c = 1$ . สำหรับทุกกรณีที่แสดงในรูป สนามไฟฟ้านั้นแนวนี้มีค่าสู่เข้าสู่ค่าต่ำที่สุดของมันเมื่อ  $s/c$  มีค่าประมาณ 0.1. อย่างไรก็ตาม สำหรับช่องว่างที่มีอัตราส่วนความยาวแกน  $b/c$  สูง ในรูปที่ 6(x) และ 6(c) สนามไฟฟ้ามีการลดลงอย่างสม่ำเสมอตามแนวแกน เมื่อระหำห่าง  $s/c$  ลดลง.



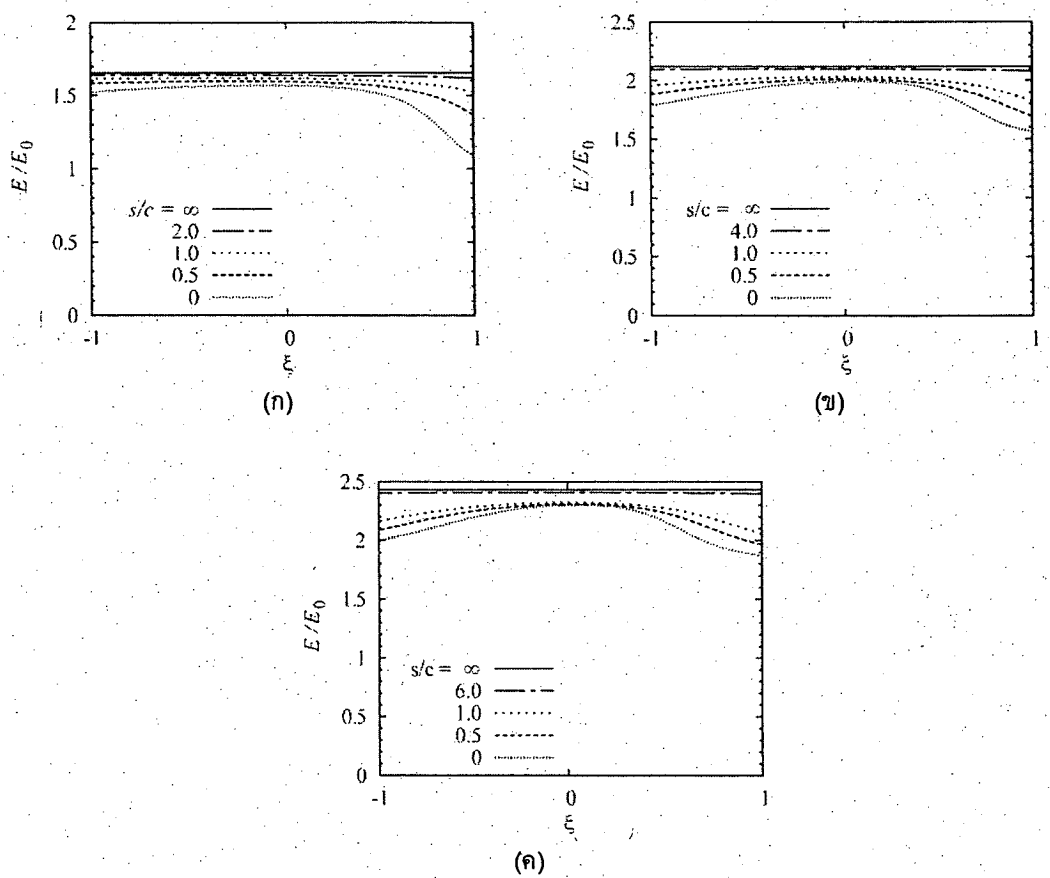
รูปที่ 6. สนามไฟฟ้านั้นแนวนี้มีค่าลดลงเมื่อระหำห่างจากอิเล็กโตรดต่างๆ. (n)  $b/c = 2$ , (x)  $b/c = 4$  และ (c)  $b/c = 6$

กราฟของสนามไฟฟ้าในลักษณะเดียวกัน สำหรับอัตราส่วน  $\epsilon_E = 4$  แสดงอยู่ในรูปที่ 7. เราสามารถเห็นผลของอิเล็กโตรดที่มีต่อสนามไฟฟ้า ในลักษณะที่คล้ายคลึงกับในรูปที่ 6. อย่างไรก็ตาม รูปที่ 7 แสดงระดับการลดลงของสนามไฟฟ้าที่สูงกว่า และแสดงผลของอิเล็กโตรดที่ชัดเจนมากกว่าที่ข้างบนของซองว่าง เมื่อพิจารณาซองว่างที่มีอัตราส่วนความยาวแกน  $b/c$  เดียวกัน.



รูปที่ 7. สนามไฟฟ้าบานแยกสมมาตรของซองว่างรูปทรงคล้ายทรงกลมภายในอัตราส่วน  $\epsilon_E = 4$  ที่ระยะห่างจากอิเล็กโตรดต่างๆ. (n)  $b/c = 2$ , (x)  $b/c = 4$  และ (y)  $b/c = 6$

รูปที่ 8 แสดงสนามไฟฟ้า  $E_z$  บนผิวด้านในของซองว่าง สำหรับค่าระยะห่าง  $s$  ต่างๆ เมื่อ  $\epsilon_E = 4$ . แยกนอนของกราฟเป็นพิกัด  $\xi$  ของจุดบนผิวของซองว่างทรงกลม เช่น  $\xi = 1$  และ  $\xi = -1$  หมายถึงข้างหน้าและข้างล่างของซองว่าง ตามลำดับ. ดังแสดงในรูปที่ 8 ผลของอิเล็กโตรดที่มีต่อสนามไฟฟ้าสามารถลดลงได้ เมื่อระยะห่าง  $s$  มีค่ามากกว่าค่าครึ่งความยาวแกน  $b$  ของซองว่าง. ด้วยว่า  $s/c > 2, 4$  และ  $6$  ในรูปที่ 8ก, 8ข และ 8ค ตามลำดับ. ในกรณีที่ระยะห่างระหว่างซองว่างกับอิเล็กโตรดมีค่าน้อย สนามไฟฟ้าจะลดลงในบริเวณพื้นผิวที่ข้างหน้า. ซองว่างที่มีอัตราส่วนความยาวแกน  $b/c$  สูงขึ้น ในรูปที่ 8x และ 8ค แสดงการลดลงของสนามไฟฟ้าที่ขวด้านล่างอย่างชัดเจนเช่นกัน. อย่างไรก็ตาม เรายังคง ให้บริเวณระหว่างข้าม ระดับการลดลงของสนามไฟฟ้าจะไม่มากเท่ากับที่บริเวณข้าม. สนามไฟฟ้าสูงสุดภายในซองว่างจะมีตำแหน่งอยู่ที่ค่าพิกัด  $\xi$  ต่ำๆ ค่าหนึ่ง. ขนาดของสนามไฟฟ้าสูงสุดนี้ลดลงเพียงเล็กน้อยเท่านั้น เมื่อระยะห่าง  $s/c$  ลดลงจาก  $1.0$  เป็น  $0$ . การกระจายของสนามไฟฟ้าภายในซองว่างที่อยู่ภายในอัตราส่วน  $\epsilon_E = 2$  มีลักษณะคล้ายคลึงกับการกระจายที่แสดงในรูปที่ 8. ถ้าเราพิจารณาซองว่างที่มีอัตราส่วนความยาวแกน  $b/c$  เท่ากัน ความแตกต่างระหว่างสนามไฟฟ้าสูงสุด เมื่อ  $s = \infty$  และเมื่อ  $s = 0$  มีค่าลดลงเมื่อลดค่าไดอิเล็กตريك  $\epsilon_E$  ของอัตราส่วน  $\epsilon_E$ .

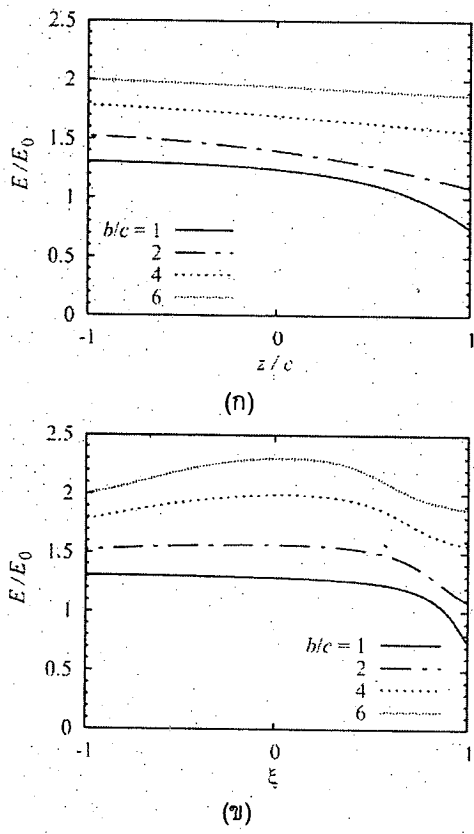


รูปที่ 8. สนามไฟฟ้าบันผิวของช่องว่างรูปทรงคล้ายทรงกลมด้านใน ช่องอยู่ในอัตราส่วนแข็งที่มี  $\varepsilon_E = 4$  ที่ระยะห่างจากอิเล็กโตรดต่างๆ. (g)  $b/c = 2$ , (h)  $b/c = 4$  และ (k)  $b/c = 6$

### ค. สนามไฟฟ้าเมื่อ $s \rightarrow 0$

หัวข้อนี้พิจารณากรณีที่สนามไฟฟ้ามีค่าลดลงมากที่สุดเมื่อเทียบกับกรณีของว่างเอกสาร ซึ่งเกิดขึ้นในปีดีจำกัด  $v \rightarrow 0$  นั่นคือช่องว่างสัมผัสอยู่กับระนาบอิเล็กโตรด. รูปที่ 9 เปรียบเทียบสนามไฟฟ้าในการณ์ดังกล่าว ที่ค่าอัตราส่วนความยาวแกน  $b/c$  ต่างๆ กัน. ค่าคงตัวไดอิเล็กตริกที่ใช้ในการคำนวณสำหรับรูปที่ 9 คือ  $\varepsilon_E = 4$ . เพื่อการเปรียบเทียบ สนามไฟฟ้าในช่องว่างรูปทรงกลม ( $b/c = 1$ ) ถูกนำมาไว้ในรูปด้วยเช่นกัน. เราสามารถเห็นได้ว่า สนามไฟฟ้าในรูปที่ 9a เป็นไปตามพฤติกรรมที่ได้อธิบายไว้แล้วในหัวข้อที่ผ่านมา. สำหรับช่องว่างรูปทรงกลม และช่องว่างรูปทรงคล้ายทรงกลมแบบนี้ที่มีอัตราส่วน  $b/c$  ต่ำ เรายังสามารถเห็น การลดลงของสนามไฟฟ้าบนแกนสมมาตรได้อย่างชัดเจน ที่ข้างบน. สำหรับช่องว่างรูปทรงคล้ายทรงกลมแบบนี้ที่มีอัตราส่วน  $b/c$  สูงขึ้น (รูปร่างแบบมากขึ้น) การกระจายของสนามไฟฟ้าค่อนข้างสม่ำเสมอบนแกนสมมาตร ถึงแม้ว่าสนามไฟฟ้าต่ำที่สุดยังคงอยู่ที่ข้างบนก็ตาม. ความเครียดสนามไฟฟ้าเพิ่มขึ้นตามอัตราส่วนความยาวแกน  $b/c$ .

ในรูปที่ 9x สนามไฟฟ้าบันผิวด้านในของช่องว่างมีค่าสูงสุดที่ข้างล่างสำหรับช่องว่างรูปทรงกลม ( $b/c = 1$ ). บนช่องว่างรูปทรงกลม สนามไฟฟ้ามีขนาดสม่ำเสมอบนพื้นผิวส่วนใหญ่. บนช่องว่างรูปทรงคล้ายทรงกลมแบบนี้ที่มี  $b/c = 2$  สนามไฟฟ้ายังคงค่อนข้างสม่ำเสมอบนผิวด้านของช่องว่าง ยกเว้นที่บริเวณขั้วด้านบน. เมื่ออัตราส่วนความยาวแกน  $b/c$  เพิ่มขึ้นเป็น 4 และ 6 เรายังสามารถเห็นได้อย่างชัดเจนว่า ค่าสูงสุดของสนามไฟฟ้าเลื่อนมาอยู่ที่ตำแหน่งระหว่างขั้วทั้งสอง.

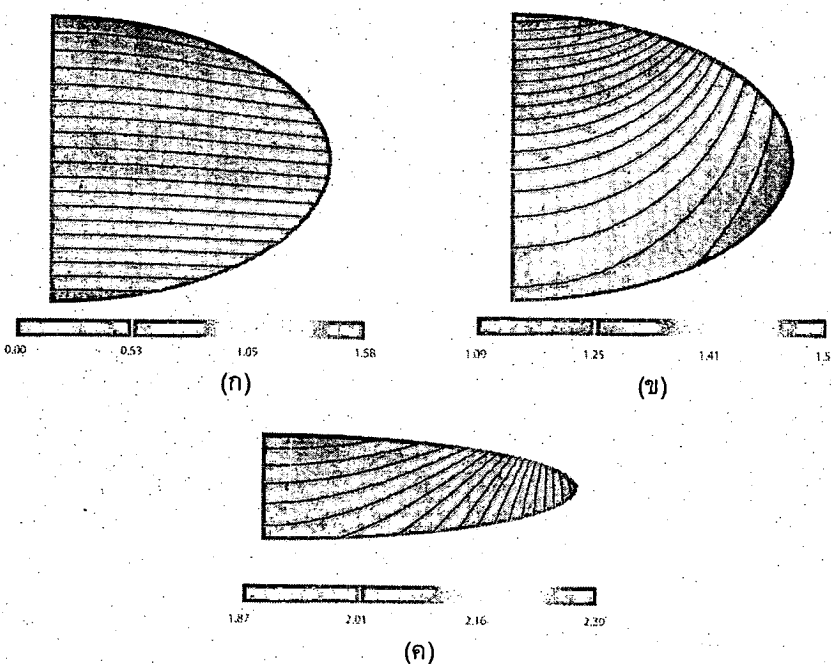


รูปที่ 9. สนามไฟฟ้าภายในช่องว่าง เมื่อ  $s \rightarrow 0$  ในจำนวนแข็งที่มี  $\epsilon_E = 4$   
(ก) บนแกนสมมาตร, (ข) บนผิวของช่องว่าง

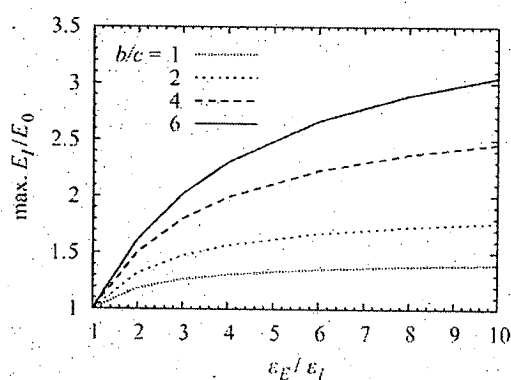
รูปที่ 10 แสดงการกระจายของศักย์ไฟฟ้าและสนามไฟฟ้าภายในช่องว่างรูปทรงกล้วยทรงกลมแบบขั้วภายในจำนวนแข็งที่มี  $\epsilon_E = 4$  เมื่อ  $s \rightarrow 0$ . รูปที่ 10 แสดงค่าศักย์ไฟฟ้าที่เทียบกับศักย์ไฟฟ้าของอิเล็กโตรด และใช้สเกลล์ที่อยู่ด้านล่างของแต่ละรูป แสดงขนาดของศักย์หรือสนามไฟฟ้า. เส้นของศักย์ไฟฟ้าเท่า(หรือสนามไฟฟ้า)ถูกแสดงอยู่ในรูปที่ 10 เช่นเดียวกัน เพื่อให้สามารถสังเกตการกระจายของค่าศักย์(หรือสนามไฟฟ้า)ได้ชัดเจนมากขึ้น. จากเส้นศักย์ไฟฟ้าเท่าในรูปที่ 10 ก สำหรับ  $b/c = 2$  เราเห็นได้ว่า สนามไฟฟ้ามีพิเศษทางสู่ออกจากแกนໂ拓(แกนสมมาตร)ของช่องว่าง ซึ่งแสดงนัยถึงการลดลงของสนามไฟฟ้า บนแนวแกนดังกล่าว. สนามไฟฟ้าในช่องว่างนี้ แสดงอยู่ในรูปที่ 10 ข. เราเห็นได้ว่า บริเวณที่สนามไฟฟ้ามีค่า สูงจะอยู่ใกล้กับผิวด้านข้างของช่องว่าง. รูปที่ 10 ค แสดงการเปลี่ยนแปลงของสนามไฟฟ้าภายในช่องว่างที่มีอัตราส่วนของความยาวแกน  $b/c$  สูงขึ้น.

เป็นที่สังเกตว่า รูปแบบการจัดเรียงในรูปที่ 1 นั้น มีการกระจายสนามไฟฟ้าสมมูลกับรูปแบบการจัดเรียงของช่องว่างทรงคล้ายทรงกลม 2 ช่องที่เรียงตัวอยู่ใกล้กันในแนวของสนามไฟฟ้า (แนวตั้ง) โดยมีระยะห่างในแนวตั้งเท่ากับ  $2s$ . ผลการคำนวณในอดีตแสดงให้เห็นว่ามีการลดลงของความเครียดสนามไฟฟ้า สูงสุด ในช่องว่างรูปทรงกระบอก เมื่อช่องว่างเรียงตัวกันในแนวขนานกับสนามไฟฟ้า [13-15]. อย่างไรก็ตาม ผลการวิเคราะห์ในโครงการวิจัยนี้ในรูปที่ 7 ถึง 10 ได้แสดงให้เห็นว่า สำหรับช่องว่างรูปทรงกลม หรือช่องว่างรูปทรงคล้ายทรงกลมแบบน้ำ ซึ่งมีค่าอัตราส่วนความยาวแกน  $b/c$  ต่ำ การลดลงของสนามไฟฟ้าจะเกิดขึ้น เฉพาะที่เท่านั้น ที่บริเวณใกล้กับช่องว่างที่อยู่ดีดกัน. บริเวณส่วนใหญ่ของช่องว่างยังคงได้รับสนามไฟฟ้า ขนาดประมาณเท่าเดิม เมื่อเทียบกับกรณีของช่องว่างเอกเทต. สำหรับช่องว่างที่มีลักษณะแบบ (ค่า  $b/c$  สูง)

สนามไฟฟ้าลดลงอย่างสม่ำเสมอมากขึ้นตามแนวแกนสมมาตร. แต่ทว่า สนามไฟฟ้าที่มีขนาดสูงกว่าค่าตามแนวแกนยังคงปรากฏอยู่ที่บริเวณด้านข้างของภายในช่องว่าง.



รูปที่ 10. ศักย์ไฟฟ้าและสนามไฟฟ้าภายในช่องว่างรูปทรงคล้ายทรงกลม ซึ่งอยู่ในจำนวนแข็งที่มี  $\epsilon_E = 4$  เมื่อ  $s \rightarrow 0$  (ก) ศักย์ไฟฟ้าเมื่อ  $b/c = 2$ , (ข) สนามไฟฟ้าเมื่อ  $b/c = 2$  และ (ค) สนามไฟฟ้าเมื่อ  $b/c = 6$



รูปที่ 11. สนามไฟฟ้าสูงสุดภายในช่องว่างเป็นพังก์ชันของ  $\epsilon_E/\epsilon_f$  เมื่อ  $r \rightarrow 0$ .

รูปที่ 11 นำเสนอการประพันธ์ของขนาดสนามไฟฟ้าสูงสุด ภายในช่องว่างรูปทรงคล้ายทรงกลมแบบขั้ว เป็นพังก์ชันของอัตราส่วนค่าคงตัวไดอิเล็กตริก  $\epsilon_E/\epsilon_f$  เมื่อ  $r \rightarrow 0$ . เมื่อเปรียบเทียบรูปที่ 11 กับรูปที่ 5 ซึ่ง เป็นกรณีของช่องว่างเอกเทศ เราจะเห็นได้ว่า การลดลงของสนามไฟฟ้าสูงสุดเพิ่มขึ้นตาม  $\epsilon_E/\epsilon_f$ . ตัวอย่างเช่น สนามไฟฟ้าสูงสุดลดลงประมาณ 1.3, 2.0 และ 2.4% ภายในช่องว่างรูปทรงกลม ( $b/c = 1$ ) เมื่อ  $\epsilon_E/\epsilon_f$  เท่ากับ 2, 4 และ 10 ตามลำดับ. การลดลงของสนามไฟฟ้าจะเด่นมากขึ้นในช่องว่างรูปทรงคล้ายทรงกลมแบบขั้ว. อย่างไรก็ตาม สนามไฟฟ้ายังคงลดลงเพียง 1.7, 5.3 และ 10.3% ภายในช่องว่างที่มี  $b/c = 6$  เมื่อ  $\epsilon_E/\epsilon_f$  เท่ากับ 2, 4 และ 10 ตามลำดับ. ดังนั้น เราสามารถคาดได้ว่า แรงดันเดลี่สชาร์จเริ่มต้นของช่องว่างดังกล่าว

ไม่ได้ลดลงต่ำมากอย่างที่ได้คาดไว้จากสมมุติไฟฟ้าตามแนวแกนสมมาตร สำหรับค่าคงตัวไดอิเล็กตริกที่พิจารณาในที่นี้

### จ.มัลติโพลสมมูลของช่องว่าง

เราสามารถใช้หลักการของประจุสมมูล เพื่อแทนอิทธิพลที่ช่องว่างกระทำต่อสนามไฟฟ้าในบริเวณภายนอก [23, 24]. ในที่นี้ ผู้วิจัยนิยามศักย์ไฟฟ้า  $\Psi_k^{ph}$  สมมาตรรอบแกนหมุนของมัลติโพล  $p_k$  อันดับที่  $k$  ในระบบพิกัดทรงกลม  $(r, \theta, \phi)$  ดังนี้

$$\Psi_k^{ph}(r, \theta) = \frac{p_k}{4\pi\varepsilon_0 r^{k+1}} P_k(\cos\theta) \quad (39)$$

สังเกตว่า ตัวประกอบ  $k!$  ถูกจะเลยออกจากการนิยามของศักย์ไฟฟ้าในที่นี้ เพื่อความง่ายในการแสดงผลน. โดยทั่วไปแล้ว โนเมนต์ไดโพลสมมูล  $p_1$  ถูกใช้แทนศักย์ไฟฟ้าหนึ่งเท่านั้นที่เกิดขึ้น โดยที่จะเลยโนเมนต์ในอันดับที่สูงขึ้นไป เป็นที่ทราบอย่างดีว่า สำหรับช่องว่างรูปทรงกลมที่อยู่อย่างเอกเทศ เราสามารถใช้เพียง  $p_1$  ในการแทนผลของศักย์ไฟฟ้าได้อย่างสมบูรณ์ [23]. สำหรับช่องว่างรูปทรงคล้ายทรงรีแบบนี้ โนเมนต์มัลติโพลสมมูล  $p_k$  สามารถคำนวณได้จากสัมประสิทธิ์ศักย์ไฟฟ้า  $B_n$  โดยพิจารณาจากเงาะประจุความหนาแน่น  $\rho_{s,n}$  และเง่าไดโพลความหนาแน่น  $\rho_{d,n}$  ดังที่ได้กล่าวไว้แล้วในหัวข้อที่ผ่านมา.

### สำหรับอาร์มอนิกศักย์ไฟฟ้าอันดับเลขคู่ $n$

$$p_k = 4\pi\varepsilon_0^{k+1} (-1)^{k/2} 2^{n/2} \frac{\left(\frac{k}{2}\right)!}{\left(\frac{k-n}{2}\right)! (k+1)!! (k+n+1)!!} B_n \quad (40)$$

เมื่อ  $k = 0, 2, 4, \dots$

### สำหรับอาร์มอนิกศักย์ไฟฟ้าอันดับเลขคี่ $n$

$$p_k = 4\pi\varepsilon_0^{k+1} (-1)^{\frac{k+1}{2}} 2^{\frac{n-1}{2}} \frac{\left(\frac{k-1}{2}\right)!}{\left(\frac{k-n}{2}\right)! (k+1)!! (k+n+1)!!} B_n \quad (41)$$

เมื่อ  $k = 1, 3, 5, \dots$

สำหรับช่องว่างรูปทรงคล้ายทรงรีแบบนี้ภายใต้สนามไฟฟ้าสมมาตร  $E_0$  ในทิศทางขวนกับแกนโทของช่องว่าง ศักย์ไฟฟ้าหนึ่งเท่านั้นคือ

$$\Psi_B = \Psi_{B,1} = B_1 Q_1(i\zeta) P_1(\zeta) \quad (42)$$

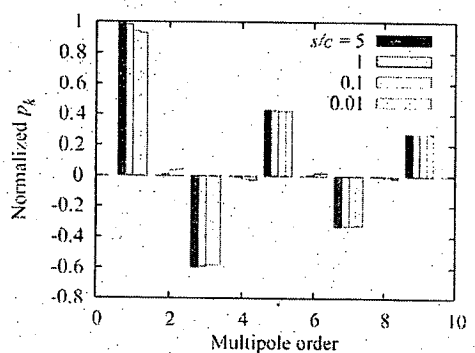
เมื่อ  $B_1$  คำนวณจาก  $M_1 = aE_0$  โดยอาศัยสมการที่ (15). จากสมการที่ (41) เราได้ว่า

$$P_k = 4\pi\varepsilon_0^{k+1} (-1)^{\frac{k+1}{2}} \frac{1}{(k+2)} B_1 \quad \text{สำหรับ } k \text{ เลขคี่} \quad (43)$$

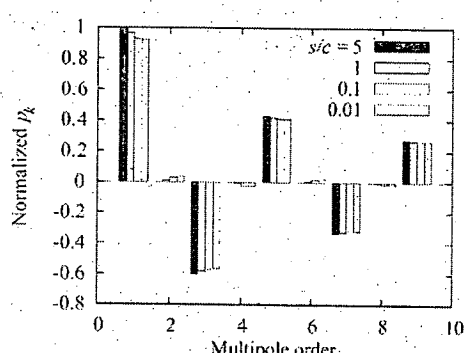
และ  $p_k = 0$  สำหรับ  $k$  เลขคู่. สมการที่ (43) ระบุว่า แม้ช่องว่างทรงคล้ายทรงรีแบบนี้จะอยู่อย่างเอกเทศภายในลักษณะเดียวกัน แต่เราต้องใช้โนเมนต์มัลติโพลที่มีอันดับสูงกว่า 1 ใน การแทนศักย์ไฟฟ้าหนึ่งเท่านั้นของช่องว่างอย่างสมบูรณ์ (ซึ่งคือ  $\Psi_{B,1}$  ในกรณีนี้). เนื่องจากขนาดของ  $p_k/p_1$  มีค่าลดลงอย่างช้าๆ ตามอันดับของมัลติโพล ด้วยตัวประกอบ  $(k+2)^{-1}$  ในสมการที่ (43) จึงสังเกตได้อย่างชัดเจนว่า เราไม่สามารถจะเลยมัลติโพลอันดับสูงได้ ถ้าต้องการคำนวณค่าศักย์ไฟฟ้าหนึ่งเท่านั้นในบริเวณด้านนอกใกล้กับผิวของช่องว่าง.

รูปที่ 12 และ 13 แสดงโนเมนต์มัลติโพลสมมูล  $p_k$  ที่ระยะห่าง  $r$  ต่างๆ. ค่าของ  $p_k$  ในรูปถูกทำให้เป็นบรรทัดฐานด้วย  $p_1$  ในกรณีที่ตรงกันของช่องว่างที่อยู่อย่างเป็นเอกเทศ. แม้ว่าผลการคำนวณในหัวข้อที่

ผ่านมาได้แสดงให้เห็นว่า มีการเปลี่ยนแปลงการกระจายของสนามไฟฟ้าภายในช่องว่างเมื่อระยะห่าง  $s$  เปลี่ยนแปลง รูปที่ 12 และ 13 มีการเปลี่ยนแปลงของโมเมนต์มัลติโพลสมมูลน้อยมาก เมื่อค่า  $s/c$  ลดลง โมเมนต์มัลติโพลสมมูลที่มีอันดับเป็นเลขคี่จะลดลงเล็กน้อย ในอีกด้านหนึ่ง โมเมนต์มัลติโพลสมมูลอันดับเลขคู่จะเริ่มมีค่าให้เห็น การเพิ่มน้ำหนักของโมเมนต์มัลติโพลเลขคู่เป็นผลมาจากการอิเล็กโตรด ซึ่งทำให้สามารถของศักย์(และสนามไฟฟ้า) เมื่อเทียบกับระนาบกลางของช่องว่างเปลี่ยนแปลงไป การเปลี่ยนแปลงของโมเมนต์มัลติโพลสมมูลเห็นได้อย่างชัดเจนมากขึ้นที่อันดับต่อๆ กัน เมื่อเปรียบเทียบระหว่างรูปที่ 11 ก ( $b/c = 2$ ) และ 11 ข ( $b/c = 4$ ) เราพบว่า มีการลดลงของมัลติโพลอันดับเลขคี่ต่ำๆ มากขึ้น เมื่อช่องว่างมีอัตราส่วนความยาวแกนเพิ่มขึ้น เมื่อฉันวนแข็งมีค่าคงตัวได้อิเล็กตริก  $\epsilon_E$  สูงขึ้นในรูปที่ 11 ค เราสามารถสังเกตการเปลี่ยนแปลงของ  $p_k$  ได้ชัดเจนมากขึ้น เนื่องจากว่า ศักย์ไฟฟ้านี้เองจากมัลติโพลที่มีอันดับสูง จะลดลงเป็นศูนย์อย่างรวดเร็วเมื่อตัวแหน่งที่พิจารณาอยู่ห่างจากมัลติโพลมากขึ้น เราจึงพิจารณาเฉพาะการเปลี่ยนแปลงของ  $p_1$  เพื่อประมาณหาผลกระทบของอิเล็กโตรดที่มีต่อศักย์ไฟฟ้าเหนือภายนอกช่องว่างได.

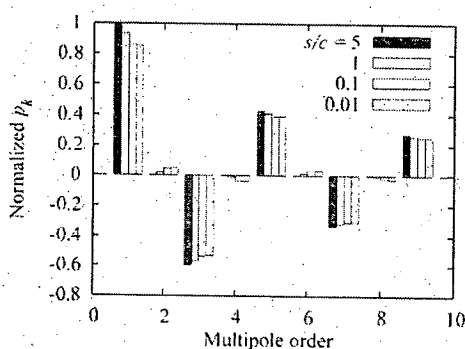


(n)  $b/c = 2$



(x)  $b/c = 4$

รูปที่ 12. การแบ่งปันของโมเมนต์มัลติโพลสมมูลเมื่อเปลี่ยนแปลงระยะห่าง  $s$  เมื่อ  $\epsilon_E = 2$



รูปที่ 13. การแบ่งปันของโมเมนต์มัลติโพลสมมูลเมื่อเปลี่ยนแปลงระยะห่าง  $s$  เมื่อ  $\epsilon_E = 4$  และ  $b/c = 4$

### 3.2 การศึกษาแรงดันเมมเบรนของเซลล์แบบทรงคล้ายทรงกลม

ผลของสนามไฟฟ้าสถิตถูกใช้ประโยชน์ในการใช้งานด้านต่างๆ รวมถึงกับเซลล์สิ่งมีชีวิต [25]. เมื่อตัวกลางที่มีเซลล์อยู่ได้รับสนามไฟฟ้า กระแสไฟฟ้าจะพาประจุที่มีข้าวค้างกันสะแมอยู่ที่หั้งสองด้านของเมมเบรน(เยื่อหุ้มเซลล์) ซึ่งเป็นโมเลกุลไขมัน (liquid molecule). การสะแมของประจุทำให้เกิดแรงดันเมมเบรนขึ้น โดยขนาดของแรงดันขึ้นอยู่กับขนาดของเซลล์ ความเข้มสนามไฟฟ้า และการเรียงตัวของเซลล์สัมผัททั้งทั้งทิศทางของสนามไฟฟ้า และลักษณะสมบัติทางไฟฟ้าของตัวกลางที่เกี่ยวข้อง. แรงดันเมมเบรนเป็นพารามิเตอร์ที่สำคัญอย่างหนึ่งของเซลล์สิ่งมีชีวิตในกระบวนการไลโซซิส (lysis) กระบวนการอิเล็กโทรโพเวรชัน (electroporation) และการเชื่อมเซลล์ด้วยไฟฟ้า (electrofusion) [26]. เมื่อแรงดันเมมเบรนมีค่าสูงถึงค่าวิกฤต ค่านี้ เมมเบรนจะเกิดเบรกดาวน์ขึ้น. การเกิดเบรกดาวน์จะเป็นแบบคืนสภาพได้ นั่นคือ คืนสู่สภาพเดิม ได้หลังจากที่สนามไฟฟ้าที่ป้อนถูกตัดออก หรือเป็นแบบถาวร ซึ่งทำให้เซลล์ตาย. เราสามารถหาสมการค่าตอบเชิงวิเคราะห์ของแรงดันเมมเบรนได้ ในกรณีของเซลล์เดียวภายในสนามไฟฟ้าสามมุม  $E_0$  ค่าตอบเชิงวิเคราะห์ของแรงดันเมมเบรน  $V_m$  ในสภาวะคงตัว คือ

$$V_m = \frac{3}{2} E_0 R \sin \theta \quad (44)$$

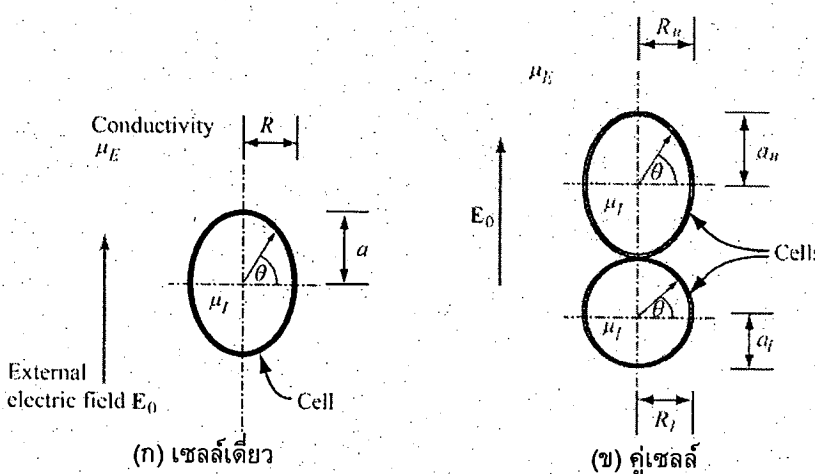
โดยที่  $R$  เป็นรัศมีของเซลล์ และ  $\theta$  เป็นมุมของดำเนินเมื่อเทียบกับทิศทางของสนามไฟฟ้า. ค่าคงตัวเวลาของการสร้างแรงดันขึ้นอยู่กับขนาดของเซลล์ ความจุไฟฟ้าของเมมเบรน และสภาพนำไฟฟ้าภายในและภายนอกเซลล์.

ในความเป็นจริงแล้ว เซลล์สิ่งมีชีวิตหลายชนิด เช่น เซลล์จำพวกที่ยึดติดกับพื้นผิว อาจมีรูปร่างที่ไม่เป็นทรงกลม. รูปร่างของเซลล์ยังสามารถเปลี่ยนแปลงได้ ภายใต้ความเครียดสนามไฟฟ้าหรือความดัน อย่างไรก็ตาม ยังไม่มีการวิเคราะห์อย่างจริงจังถึง แรงดันเมมเบรนของเซลล์ที่มีรูปร่างไม่เป็นทรงกลม. สำหรับเซลล์ที่มีรูปร่างเรขาคณิตที่ซับซ้อน เราต้องใช้วิธีเชิงตัวเลขในการหาค่าแรงดันเมมเบรน. นอกจากนี้ การคำนวณยังมีความซับซ้อนมากขึ้น เมื่อเซลล์อยู่ใกล้หรือสัมผัสดกับเซลล์อื่น. แม้ว่าวิธีการจำพวก re-expansion สามารถใช้ได้ในการวิเคราะห์แรงดันเมมเบรน แต่ก็เฉพาะกับเซลล์ทรงกลมเท่านั้น [32].

งานวิจัยนี้เป็นการวิเคราะห์เชิงตัวเลข ที่ศึกษาแรงดันเมมเบรนกระแสตรงในสภาวะคงตัว ของเซลล์สิ่งมีชีวิตภายในและภายนอก. วัตถุประสงค์หลักของการวิเคราะห์นี้ เป็นการศึกษาผลที่มีต่อแรงดันเมมเบรนของ 1. รูปร่างเรขาคณิตของเซลล์ 2. สภาพนำไฟฟ้าภายนอกเซลล์ และ 3. การสัมผัสดกห่วงเซลล์สิ่งมีชีวิต. สำหรับรูปร่างของเซลล์ เซลล์ถูกจำลองด้วยรูปทรงคล้ายทรงกลมแบบน้ำ หรือทรงกลมแบบข้าง และผู้วิจัยปรับปรุงเพื่อเทียบกับผลที่ได้ในกรณีของเซลล์รูปทรงกลม. แม้ว่าโดยทั่วไปแล้ว เซลล์จะอยู่ในตัวกลางที่มีสภาพนำไฟฟ้าสูง บางครั้งสภาพนำไฟฟ้าของเซลล์ลดให้ต่ำลงในกระบวนการต่างๆ เพื่อจำกัดความร้อนที่เกิดจากการนำไฟฟ้า. ตัวกลางที่มีสภาพนำไฟฟ้าต่ำยังถูกใช้ในกระบวนการเชื่อมเซลล์ด้วยไฟฟ้า เพื่อนำให้เซลล์สัมผัสดกโดยใช้แรงไฟอิเล็กโตรเฟटิก. งานวิจัยนี้ใช้วิธีขั้นประกอบขอบเขตสำหรับการคำนวณแรงดันเมมเบรน โดยจำลองเยื่อหุ้มเซลล์เป็นลวดไฟฟ้าสามมุม หรือเป็นตัวกลางที่มีสภาพนำไฟฟ้า เพื่อแสดงผลของสภาพนำของเซลล์เมมเบรน ที่มีต่อผลการคำนวณที่ได้.

#### 3.2.1 รูปแบบการจัดเรียง

รูปที่ 14 แสดงการจัดเรียงของเซลล์ที่ใช้ในการวิเคราะห์. งานวิจัยนี้จำกัดการพิจารณา เฉพาะการจัดเรียงที่มีลักษณะสมมาตรรอบแกน. รูปที่ 14ก เป็น การจัดเรียงของเซลล์เดียวภายในไฟฟ้าภายนอก  $E_0$ . รูปที่ 14ข เป็น การจัดเรียงของเซลล์เดียวภายในไฟฟ้าภายนอก  $E_0$  และรัศมี  $R$  ที่ดังจากกัน สนานไฟฟ้า ดังแสดงในรูปที่ 14. สำหรับเซลล์รูปทรงกลม  $a = R$ . ในรูปที่ 14ข เซลล์จำนวน 2 เซลล์สัมผัสติดกัน และเรียงตัวในทิศทางของสนานไฟฟ้าภายนอก. ด้านนี้ล่าง 'l' และ 'n' ใช้แสดงความสัมพันธ์ของพารามิเตอร์ต่างๆ กับเซลล์ด้านบนและเซลล์ด้านล่างในคู่เซลล์ ตามลำดับ. การจัดเรียงนี้มีความสำคัญในทางปฏิบัติต่อกระบวนการเชื่อมเซลล์ด้วยไฟฟ้า ซึ่งเซลล์นักถูกนำให้สัมผัสด้วยกันก่อนที่จะป้อนพลังไฟฟ้าเพื่อกระตุ้นให้เกิดการเบรกรด้านของเมมเบรน [26, 33]. เซลล์ที่อยู่ด้วยกันอาจมีขนาดเหมือนกันหรือแตกต่างกันก็ได้. สภาพนำไฟฟ้าของไซโทพลาซึม (Cytoplasm) แสดงด้วยสัญลักษณ์  $\mu_c$  และสภาพนำของตัวกลางภายนอกแสดงด้วย  $\mu_E$ .



รูปที่ 14. รูปแบบการจัดเรียงของเซลล์ภายใต้สนานไฟฟ้าที่ใช้ในการวิเคราะห์

### 3.2.2 วิธีคำนวณ

ผู้วิจัยได้ใช้วิธีชิ้นประภอนขอบเขต (Boundary element method, BEM) เป็นวิธีเชิงตัวเลขทางปริพันธ์ ในการคำนวณแรงดันเมมเบรนในสภาวะคงตัว. ให้  $\phi^E$  และ  $E_n^E$  เป็นค่าทางด้านนอกเซลล์ของศักยไฟฟ้าบนเมมเบรน และสนานไฟฟ้าในแนวตั้งจากกับเมมเบรน  $\Gamma$  ตามลำดับ. เนื่องจากเมมเบรนมีความหนาอยู่มาก เมื่อเทียบกับขนาดของเซลล์ ผู้วิจัยจึงพิจารณาให้เมมเบรนเป็นพื้นผิวที่มีความหนาเป็นศูนย์. เราสามารถเขียนศักยไฟฟ้า  $\phi$  ในบริเวณนอกเซลล์ ในรูปของปริพันธ์ของ  $\phi^E$  และ  $E_n^E$  ดังนี้ [34].

$$c^E \phi(\mathbf{r}) = \int_{\Gamma} \psi(\mathbf{r}, \mathbf{r}_s) E_n^E dS + \int_{\Gamma} \frac{\partial \psi(\mathbf{r}, \mathbf{r}_s)}{\partial n} \phi^E dS - \mathbf{E}_0 \cdot (\mathbf{r} - \mathbf{r}_0) \quad (45)$$

โดยที่  $\mathbf{r}$  เป็นตำแหน่งที่ต้องการคำนวณค่าศักยไฟฟ้า  $\mathbf{r}_s$  เป็นตำแหน่งบนผิวของเมมเบรน และ  $\mathbf{r}_0$  เป็นตำแหน่งอ้างอิงศักยไฟฟ้าค่าศูนย์.  $\psi(\mathbf{r}, \mathbf{r}_s)$  เป็นค่าตอบพื้นฐาน. ทั้งนี้ เวกเตอร์ตั้งจาก  $n$  ในสมการที่ (45) พิจารณาในทิศทางจากด้านในของเซลล์ไปยังด้านนอก. ค่าคงที่  $c^E$  ในสมการที่ (45) ขึ้นอยู่กับมุมด้าน ณ ตำแหน่ง  $\mathbf{r}$ . ถ้า  $\mathbf{r}$  ไม่อยู่บนขอบเขต  $\Gamma$  ค่าคงตัว  $c^E = 1$ . ถ้า  $\mathbf{r}$  อยู่บนขอบเขตที่เรียบ  $c^E = 1/2$ . สำหรับการจัดเรียงแบบสมมาตรรอบแกนหมุน ซึ่งพิกัดของ  $\mathbf{r}$  กำหนดด้วย  $(\rho, z)$  ค่าตอบพื้นฐานอยู่ในรูปของ

$$\psi(\mathbf{r}, \mathbf{r}_s) = \frac{K(\sqrt{2n/(m+n)})}{\sqrt{m+n}} \quad (46)$$

โดยที่  $K$  เป็นอินทิกรัลของรูปแบบที่ 1 และ

$$m = \rho^2 + \rho_s^2 + (z - z_s)^2 \quad (47)$$

$$n = 2\rho\rho_s \quad (48)$$

ในการคำนวณด้วยวิธีขั้นประกอบของขอบเขต เราแบ่งเซลล์เมมเบรน  $\Gamma$  ออกเป็นเซลล์เมมเบรน และแสดงค่า  $\phi^E$  และ  $E_n^E$  ด้วยค่าที่หนด  $\phi_i^E = \phi(\mathbf{r}_i)$  และ  $E_{n,i}^E = E_n^E(\mathbf{r}_i)$  เป็น

$$\phi^E(\mathbf{r}_s) = \sum N_i(\mathbf{r}_s) \phi_i^E \quad (49)$$

$$E_n^E(\mathbf{r}_s) = \sum N_i(\mathbf{r}_s) E_{n,i}^E \quad (50)$$

เมื่อ  $N_i$  เป็นพังก์ชันประมาณที่อยู่กับหนดที่  $i$  โดย  $i = 1, 2, \dots, n_N$ . เมื่อใช้สมการที่ (45) กับค่าหนด  $\mathbf{r} = \mathbf{r}_i$  จากสมการที่ (46) ถึง (50) เราได้สมการเชิงเส้นจำนวน  $n_N$  สมการ ซึ่งเขียนในรูปเมตริกซ์ได้เป็น

$$[H_E] [\phi^E] = [G_E] [E_n^E] + [\phi_{E0}] \quad (51)$$

ในสมการด้านบน  $[\phi^E]$  และ  $[E_n^E]$  เป็นเมตริกซ์ขนาด  $n_N \times 1$  ของค่าที่หนด,  $[H_E]$  และ  $[G_E]$  เป็นเมตริกซ์ขนาด  $n_N \times n_N$  ซึ่งหาได้จากอินทิกรัลของขอบเขต และ  $[\phi_{E0}]$  เป็นเมตริกซ์ที่ได้จากการพจน์สุดท้ายทางด้านความมือของสมการที่ (45).

สำหรับบริเวณภายในของแต่ละเซลล์ ความสัมพันธ์ระหว่างศักย์ไฟฟ้า  $\phi'$  และสนามไฟฟ้าในแนวตั้งจากกับเมมเบรน  $E_n'$  เป็นไปตามสมการ

$$c' \phi'(\mathbf{r}) = - \int_{\Gamma} \psi(\mathbf{r}, \mathbf{r}_s) E_n' dS - \int_{\Gamma} \frac{\partial \psi(\mathbf{r}, \mathbf{r}_s)}{\partial n} \phi' dS \quad (52)$$

โดยที่  $c' + c^E = 1$  ณ ตำแหน่ง  $\mathbf{r}$  ใดๆ บนเมมเบรน. ในลักษณะเดียวกับการสร้างสมการที่ (51) เราสามารถสร้างสมการเชิงเส้น

$$[H_I] [\phi'] = [G_I] [E_n'] \quad (53)$$

โดยมีเงื่อนไขขอบเขตที่ต้องเป็นจริงในสภาวะคงตัวคือ

$$\mu_I [E_n'] = \mu_E [E_n^E] \quad (54)$$

สำหรับเซลล์ของสิ่งมีชีวิต เงื่อนไขขอบเขตของกระแสไฟฟ้าอิเล็กทรอนิกส์ ที่จะต้องใช้ในการเชื่อมโยงค่าศักย์ไฟฟ้าและสนามไฟฟ้าระหว่างด้านในและด้านนอกของเซลล์คือ

$$\frac{\mu_m}{t_m} (\phi') - \phi^E = \mu_I [E_n'] = \mu_E [E_n^E] \quad (55)$$

โดยที่  $\mu_m$  เป็นสภาพนำไฟฟ้าของเมมเบรน และ  $t_m$  เป็นความหนาของเมมเบรน. แรงดันเมมเบรน  $V_m$  นิยามเป็น

$$V_m = \phi' - \phi^E \quad (56)$$

ในการถือที่เราพิจารณาเมมเบรนของเซลล์ว่าเป็นวนวนไฟฟ้าสมบูรณ์ ( $\mu_m = 0$ ) เราสามารถลดความซับซ้อนของการคำนวณได้. สมการที่ (54) และ (55) ไม่มีความหมาย เนื่องจากกระแสไฟฟ้าในแนวตั้งจากกับเมมเบรนต้องมีค่าเป็นศูนย์ในกรณีนี้. นั่นคือ เราสามารถใช้เงื่อนไขว่า สนามไฟฟ้าในแนวตั้งจากกับเมมเบรน มีค่าเท่ากับศูนย์ได้ และทำให้เราสามารถแก้ระบบสมการเชิงเส้น (51) หาค่าของศักย์ไฟฟ้า  $\phi_i'$  ได้โดยไม่ต้องพิจารณาสมการที่ (53) ถึง (55). ในแต่ละเซลล์ ศักย์ไฟฟ้า  $\phi_i'$  บนเมมเบรนมีค่าเดียวกันตลอดทั้งเซลล์ เนื่องจากสนามไฟฟ้ามีค่าเท่ากับศูนย์ทุกที่ภายในเซลล์ เมื่อเมมเบรนเป็นวนวนไฟฟ้าสมบูรณ์. จากข้อเท็จจริงที่ว่า แรงดันเมมเบรน  $V_m$  เกิดขึ้นจากประจุที่สะสมอยู่ทั้งสองด้านของเมมเบรน ถ้าเราให้ว่าประจุรวมทั้งด้านในและด้านนอกเซลล์บนเมมเบรนมีค่าเท่ากับศูนย์ เราจะสรุปได้ว่า

$$\int (\phi^E - \phi') dS = 0 \quad (57)$$

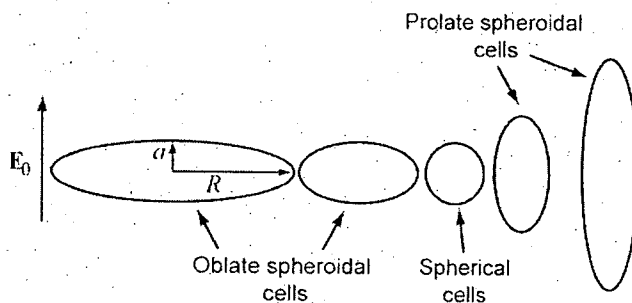
อินทิกอร์ในสมการที่ (57) ทำบนแนวเบรนของแต่ละเซลล์. จากสมการนี้ เราสามารถถกถ่วงได้ว่า  $\phi'$  เป็นค่าเฉลี่ยของแรงดันไฟฟ้าต่อต้านที่ผิวเมมเบรน. ทั้งนี้ มีข้อสังเกตว่า โดยการใช้คำตอบพื้นฐานที่เหมาะสม เทคนิกการคำนวนที่อธิบายในหัวข้อนี้ สามารถใช้คำนวนแรงดันเมมเบรนในการณ์ที่ว่าไป ไม่จำกัดอยู่เฉพาะ การจัดเรียงที่สมมาตรรอบแกนเท่านั้น.

### 3.2.3 ผลการคำนวน

#### ก. ลักษณะสมบัติและแบบจำลองของเซลล์

การคำนวนให้สภาพนำไฟฟ้า  $\mu_E$  ภายในเซลล์มีค่าเท่ากับ  $0.2 \text{ S/m}$  ซึ่งเป็นค่าปกติสำหรับไขโทพลาซึม. สภาพนำไฟฟ้า  $\mu_E$  ภายนอกเซลล์ถูกแบร์ค่าอยู่ระหว่าง  $0.1 \text{ mS/m}$  ถึง  $1 \text{ S/m}$ . สภาพนำไฟฟ้า  $\mu_m$  ของเมมเบรนที่ใช้ในการคำนวนเท่ากับ  $0.5 \mu\text{S/m}$  โดยมีความหนา  $t_m$  ของเมมเบรนเท่ากับ  $5 \text{ nm}$  [35]. สังเกตว่า ความจุไฟฟ้าของเมมเบรน ซึ่งมีค่าประมาณ  $1 \mu\text{F/cm}^2$  ไม่ได้ถูกนำมาใช้ในการคำนวนแรงดันไฟฟ้าของเซลล์. รูปร่างของเซลล์ในการวิเคราะห์มีลักษณะแบร์เปลี่ยนตามที่แสดงในรูปที่ 15. สำหรับเซลล์รูปทรงคล้ายทรงกลมแบบขั้ว ความยาวแกน  $a$  เท่ากับ  $10 \mu\text{m}$  และรัศมี  $R$  ของเซลล์แตกต่างกัน ตามอัตราส่วน  $a/R = 1/4$  และ  $1/2$ . เซลล์รูปทรงกลมมี  $a = R = 10 \mu\text{m}$ . สำหรับเซลล์รูปทรงคล้ายทรงกลมแบบขั้ว รัศมี  $R = 10 \mu\text{m}$  และความยาวแกนมีค่ามากขึ้นเพื่อให้ได้  $a/R = 2$  และ  $4$ . ดังนั้น ขนาดมิติเล็กสุดของเซลล์ที่วิเคราะห์ ซึ่งอาจเป็นความยาวแกน  $a$  หรือรัศมี  $R$  มีค่าเท่ากัน เท่ากับ  $10 \mu\text{m}$ .

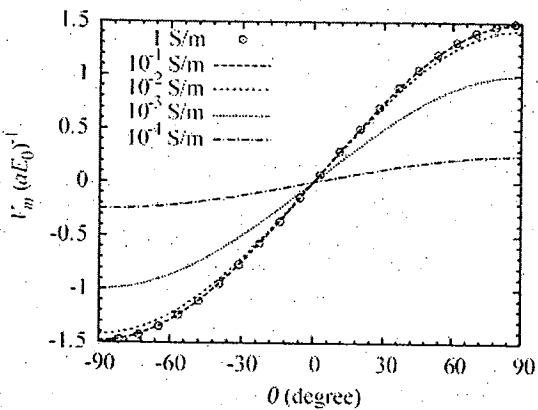
ในการคำนวนสนามไฟฟ้าด้วยวิธีชั้นประกอบขอบเขต เซลล์เมมเบรนถูกแบ่งออกเป็นเอลิเมนต์จำนวนอย่างน้อย  $128$  เอลิเมนต์ ขึ้นกับลักษณะเรขาคณิตของเซลล์. เอลิเมนต์เส้นโคนองคันดับที่  $2$  ถูกใช้ในการคำนวน เพื่อให้ได้ผลลัพธ์ที่มีความแม่นยำเพียงพอ.



รูปที่ 15. รูปร่างเรขาคณิตของเซลล์ที่ใช้ในการวิเคราะห์. ความยาวแกน  $a$  เท่ากับ  $10 \mu\text{m}$  สำหรับทรงคล้ายทรงกลมแบบขั้ว และรัศมี  $R$  ของเซลล์เท่ากับ  $10 \mu\text{m}$  สำหรับทรงคล้ายทรงกลมแบบขั้ว

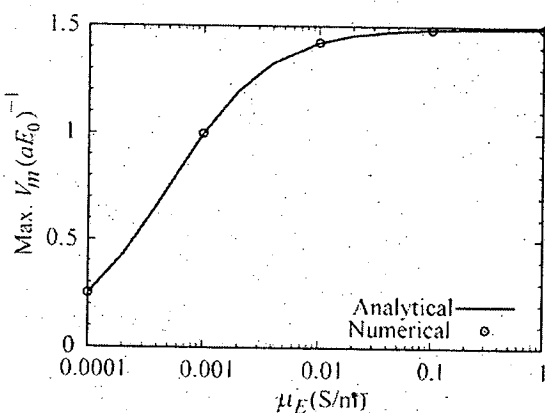
#### ก. เซลล์เดี่ยว

รูปที่ 16 แสดงแรงดันเมมเบรน  $V_m$  ซึ่งถูกทำให้เป็นบรรทัดฐานด้วย  $aE_0$  ของเซลล์เดี่ยวรูปทรงกลม เป็นพังก์ชันของมุมเซนิต  $\theta$  (ดูรูปที่ 14) ที่สภาพนำไฟฟ้า  $\mu_E$  ภายนอกเซลล์ค่าต่างๆ. จากรูปที่ 16 เราสามารถเห็นได้ว่า เมื่อ  $\mu_E \geq 0.1 \text{ S/m}$  แรงดันเมมเบรนมีค่าสูงเข้าถึงค่าขีดจำกัดของเซลล์ทรงกลมในกรณีของเมมเบรนแบบฉนวนไฟฟ้าสมบูรณ์ ซึ่งมีค่าเท่ากับ  $1.5aE_0$  ที่ขั้วทั้งสองของเซลล์ [36]. เมื่อ  $\mu_E$  มีค่าเท่ากับ  $0.01 \text{ S/m}$  ศักยไฟฟ้ายังคงใกล้กับค่าขีดจำกัดดังกล่าว. เมื่อลดค่าสภาพนำไฟฟ้า  $\mu_E$  นอกเซลล์ลงไปอีก จะทำให้แรงดันเมมเบรนมีขนาดต่ำลง. ตัวอย่างเช่น แรงดันเมมเบรนค่าสูงสุดของเซลล์ทรงกลมมีขนาดลดลง  $33\%$  เมื่อ  $\mu_E = 0.001 \text{ S/m}$ .



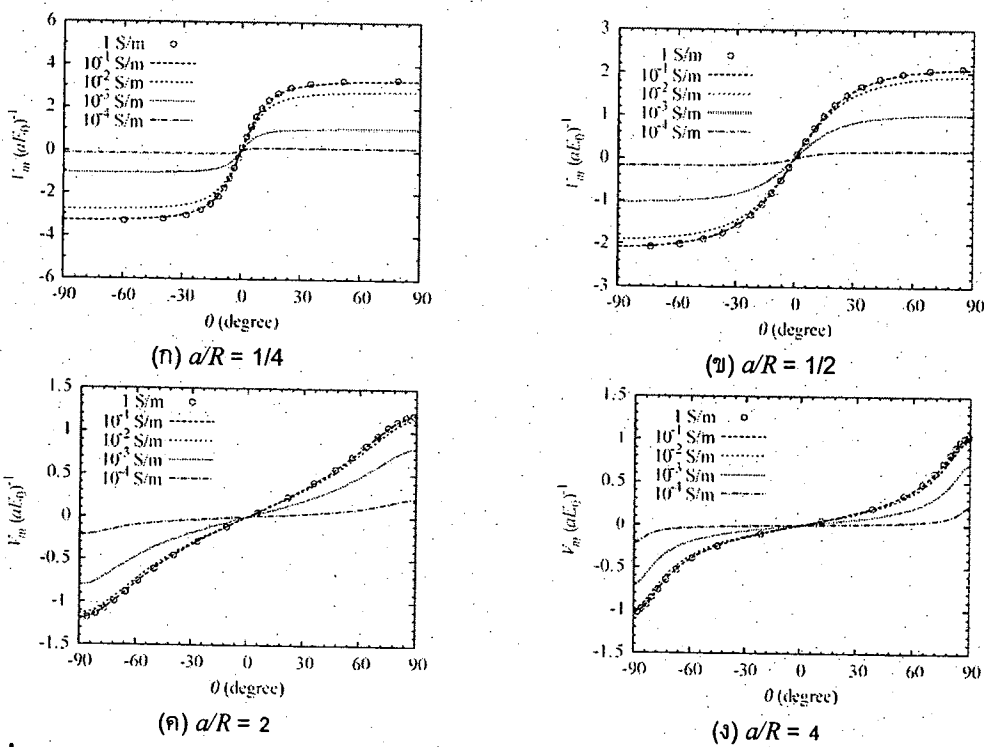
รูปที่ 16. แรงดันเมมเบรนของเซลล์เดียวยูปั่งทรงกลม ที่ค่าสภาพนำไฟฟ้า  $\mu_E$  ต่างๆ

เราสามารถหาผลเฉลยเชิงวิเคราะห์ของแรงดันเมมเบรนของเซลล์เดียวยูปั่งทรงกลม และเซลล์เดียวยูปั่งคล้ายทรงกลม ภายใต้สename ไฟฟ้าสามาเสมอภายนอกได้ [28, 31]. รูปที่ 17 เปรียบเทียบขนาดสูงสุดของแรงดันเมมเบรน (ที่ขั้วนและขั้วล่างของเซลล์ทรงกลม) ซึ่งคำนวณได้จากวิธีชั้นประกอบขอบเขต กับ ค่าที่ได้จากการเชิงวิเคราะห์ [28]. รูปที่ 17 แสดงอย่างชัดเจนว่า ผลการคำนวณเชิงเลขสอดคล้องกับ คำตองเชิงวิเคราะห์อย่างดี สำหรับทุกๆ ค่าของ  $\mu_E$  ที่พิจารณาในนี้.



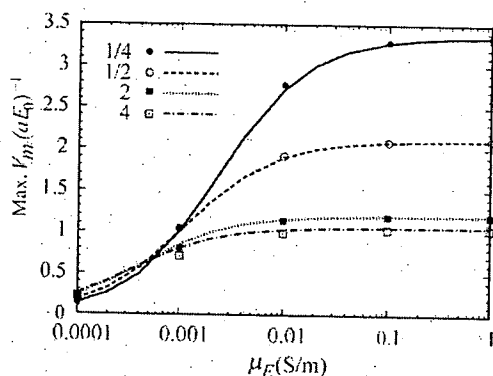
รูปที่ 17. ค่าสูงสุดที่คำนวณได้ของแรงดันเมมเบรนของเซลล์เดียวยูปั่งทรงกลม เปรียบเทียบกับสมการเชิงวิเคราะห์

ผู้อ่านได้คำนวณการกระจายของแรงดันเมมเบรนบนเซลล์เดียวยูปั่งไม่เป็นทรงกลม ที่อยู่ในสภาพนำไฟฟ้าของตัวกลางภายนอกเซลล์ค่าต่างๆ. ผลการคำนวณแสดงในรูปที่ 18ก และ 18ข สำหรับเซลล์รูปทรงคล้ายทรงกลมแบบขั้ว. จากรูปที่ 18 เราสามารถเห็นได้ว่า การแบ่งพื้นที่ของแรงดันเมมเบรนบนเซลล์รูปทรงคล้ายทรงกลม มีลักษณะคล้ายคลึงกับของ เซลล์รูปทรงกลม. นั่นคือ ขนาดของแรงดันเมมเบรนลดลงอย่างมาก เมื่อสภาพนำไฟฟ้าของตัวกลางภายนอก เซลล์ต่ำกว่า  $10^2$  S/m. อย่างไรก็ตาม เราสังเกตว่า การลดลงของแรงดันเมมเบรนจากสภาพนำไฟฟ้าที่ต่ำลง จะชัดเจนบนเซลล์รูปทรงคล้ายทรงกลมแบบขั้ว มากกว่าบนเซลล์รูปทรงคล้ายทรงกลมแบบขั้ว. จากรูปที่ 18 ก และ 18x เราเห็นได้ว่า แรงดันเมมเบรนมีค่าสูงบนบริเวณที่ก่อตั้งกว่า สำหรับเซลล์รูปทรงคล้ายทรงกลม แบบขั้ว เมื่อเทียบกับเซลล์รูปทรงกลม(รูปที่ 16). ทั้งนี้ สำหรับเซลล์รูปทรงคล้ายทรงกลมแบบขั้ว ลักษณะ แนวโน้มเป็นไปในทางตรงกันข้าม ดังรูปที่ 18ค และ 18g.

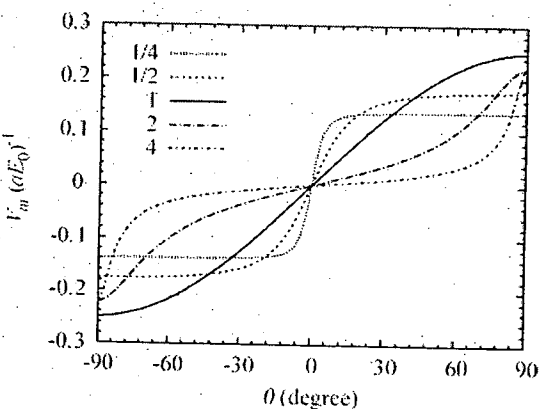
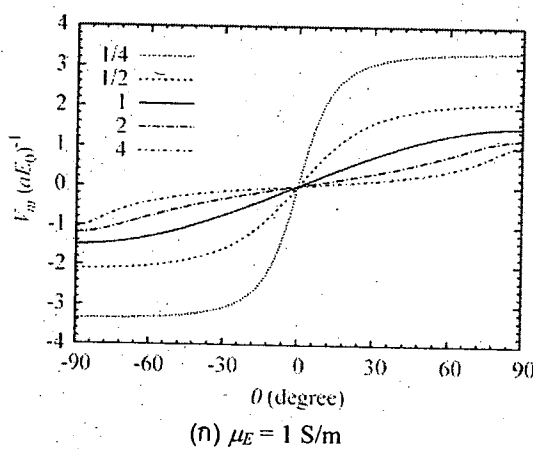


รูปที่ 18. การกระจายของแรงดันเมมเบรน(ที่ทำให้เป็นบรรหัตฐาน) ของเซลล์เดียวรูปร่างทรงกลมลักษณะไฟฟ้า  $\mu_E$  ต่างๆ

รูปที่ 19 เปรียบเทียบค่าสูงสุดของแรงดันเมมเบรน(ที่ข้า)ของเซลล์รูปทรงกลมลักษณะไฟฟ้า  $\mu_E$  กับค่าตอบเชิงวิเคราะห์ [28] ที่อัตราส่วน  $a/R$  ต่างๆ. ลักษณะรูปร่างของเซลล์อ้างอิงตามรูปที่ 15. จากรูปที่ 19 เราสามารถเห็นได้ว่า ผลลัพธ์ที่ได้จากการคำนวณเชิงเลข(สัญลักษณ์) สอดคล้องกับค่าตอบเชิงวิเคราะห์(เส้น) เป็นอย่างดี. อ่าย่างไรก็ตาม แม้ว่าเราไม่สามารถสังเกตความแตกต่างระหว่างผลการคำนวณเชิงเลขกับค่าตอบเชิงวิเคราะห์ในกรณีของเซลล์รูปทรงกลมในรูปที่ 17 ผลการคำนวณเชิงเลขในรูปที่ 19 แตกต่างจากค่าตอบเชิงวิเคราะห์อยู่เล็กน้อย. ค่าสูงสุดของแรงดันเมมเบรน  $V_m$  ที่คำนวณได้ สูงกว่าค่าตอบเชิงวิเคราะห์ในการนี้ของทรงกลมแบบน้ำข้า และต่ำกว่าในกรณีของทรงกลมแบบน้ำขาง. ความแตกต่างนี้เพิ่มขึ้น เมื่ออัตราส่วนความยาวแกนต่อรัศมีเปลี่ยนเป็นจากค่า 1 (ทรงกลม) มากรขึ้น. นอกจากนี้จากความคลาดเคลื่อนเนื่องจากการคำนวณเชิงตัวเลขแล้ว สาเหตุที่เป็นไปได้อีกประการหนึ่งของความแตกต่างที่เห็นนี้คือ การที่เราสมมติให้เมมเบรนมีลักษณะของ confocal เพื่อที่จะหาค่าตอบเชิงวิเคราะห์ ซึ่งมีพื้นฐานบนระบบพิกัดทรงกลมลักษณะ confocal. เนื่องจากความหนาของเมมเบรนในลักษณะ confocal จะเปลี่ยนตามตำแหน่ง(ไม่คงที่) จึงแสดงเป็นนัยว่า สภาพนำไฟฟ้าของเมมเบรนจะไม่คงที่ด้วย เมื่อเรากำหนดให้สภาพนำไฟฟ้า  $\mu_m/i_m$  มีค่าคงที่.



รูปที่ 19. ค่าแรงดันแม่เบرنสูงสุดที่คำนวณได้(สัญลักษณ์)ของเซลล์เดียวที่บูรณาการคล้ายทรงกลม  
เปรียบเทียบกับสมการเชิงวิเคราะห์ (เส้น)



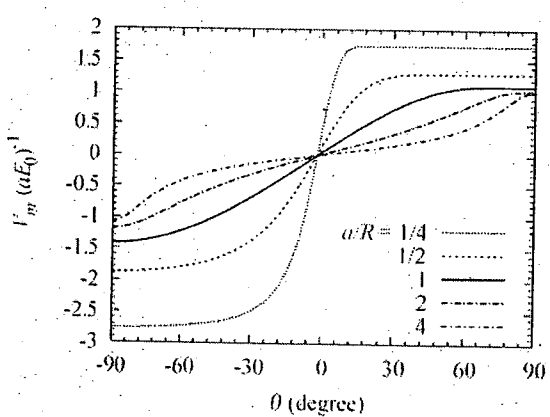
รูปที่ 20. เปรียบเทียบแรงดันแม่เบرن(ที่ทำให้เป็นบรรหัตฐาน)ระหว่างเซลล์ที่มีอัตราส่วนความยาวแกนต่อ  
รัศมีแตกต่างกัน

รูปที่ 20 เปรียบเทียบแรงดันแม่เบرن(ที่ทำให้เป็นบรรหัตฐาน) ของเซลล์ที่มีอัตราส่วน  $a/R$  แตกต่าง กัน เมื่อเซลล์อยู่ในตัวกลางที่มีสภาพนำสูง ( $\mu_E = 1 \text{ S/m}$ ) และสภาพนำต่ำ ( $10^{-4} \text{ S/m}$ ). ในตัวกลางภายนอก เซลล์มีสภาพนำที่สูงเพียงพอ แรงดันแม่เบرنที่ทำให้เป็นบรรหัตฐานจะเพิ่มขึ้นอย่างสม่ำเสมอ สำหรับเซลล์ที่ มีอัตราส่วนของความยาวแกนต่อรัศมีลดลง ดังแสดงในรูปที่ 20g. อีกทางหนึ่ง ภายในตัวกลางที่มีสภาพนำต่ำ

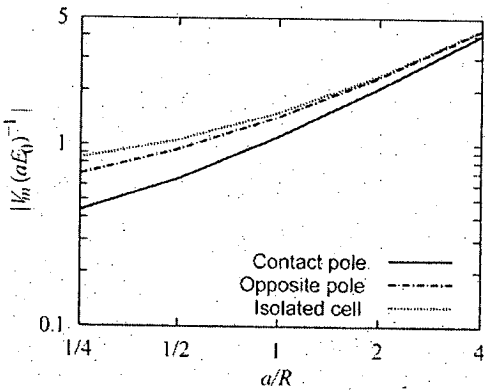
(รูปที่ 20x) แรงดันเมมเบรนที่ทำให้เป็นบริหัตฐานจะมีค่าสูงสุดบนเซลล์รูปทรงกลม และลดลงเมื่อมีการเปลี่ยนแปลงความยาวแกนต่อรัศมี. สังเกตว่า พฤติกรรมของแรงดันเมมเบรนในลักษณะนี้ ขึ้นอยู่กับเรขาคณิตของเซลล์ที่พิจารณาตามรูปที่ 15. ถ้าหากเรากำหนดให้ความยาวแกน  $a$  มีค่าคงที่ และแปรค่ารัศมี  $R$  เราจะได้ว่า แรงดันเมมเบรนเพิ่มขึ้นอย่างสม่ำเสมอเมื่ออัตราส่วน  $a/R$  เพิ่มขึ้น. พฤติกรรมดังกล่าว สามารถอธิบายได้โดยใช้หลักการของรัศมีที่มีผล (Influential radius) [28].

### ค. คู่เซลล์ที่เยื่อหุ้มเซลล์จำลองด้วยจำนวนสมบูรณ์

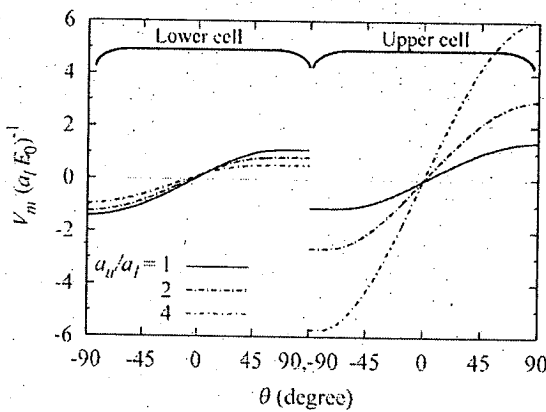
หัวข้อนี้นำเสนอผลการวิเคราะห์แรงดันเมมเบรนของคู่เซลล์ในการจัดเรียงตามรูปที่ 14x เมื่อเซลล์มีเมมเบรนเซลล์เป็นตัวกลางจำนวนสมบูรณ์. เราเริ่มการวิเคราะห์จากกรณีที่เซลล์ในคู่มีลักษณะเหมือนกัน นั่นคือ  $a_l = a_u = a$  และ  $R_l = R_u = R$ . สังเกตว่า สำหรับเมมเบรนที่เป็นจำนวนไฟฟ้าสมบูรณ์ สภาพนำไฟฟ้า  $\mu_E$  ภายนอกเซลล์ มีผลต่อเวลาในการอัดประจุให้กับเมมเบรน แต่ไม่ส่งผลต่อค่าในสภาวะคงตัวของแรงดันเมมเบรน. รูปที่ 21 แสดงแรงดันเมมเบรนบนเซลล์ด้านล่างของคู่เซลล์ สำหรับรูปร่างของเซลล์ที่แตกต่างกัน โดยอัตราส่วน  $a/R$  แปรค่าดังต่อไปนี้ 1/4, 1/2, 1, 2 และ 4. เราสามารถเห็นได้จากรูปว่า แรงดันเมมเบรนของเซลล์มีค่าต่ำลง เมื่อเปรียบเทียบกับค่าในรูปที่ 20x ของเซลล์เดียว. แรงดันเมมเบรนที่ทำให้เป็นบริหัตฐานมีค่าลดลงที่ข้ามสัมผัส ( $\theta = 90^\circ$ ) มากกว่าที่ข้ามตรงข้าม ( $\theta = -90^\circ$ ). ผลการคำนวณเชิงเลขในที่นี้สอดคล้องกับผลที่รายงานในกรณีของคู่เซลล์ทรงกลม [30]. รูปที่ 22 แสดงการแปรผันของแรงดันเมมเบรนที่ทำให้เป็นบริหัตฐานที่ข้ามทั้งสอง เมื่อเปลี่ยนแปลงรูปร่างเซลล์. แรงดันเมมเบรนในกรณีของเซลล์เดียวที่ได้จากสมการเชิงวิเคราะห์ [31] และ ด้วยเส้นจุดในรูปที่ 22 เพื่อให้เห็นการลดลงของแรงดันเมมเบรนอย่างชัดเจน. จากรูปที่ 21 และ 22 เรายังได้รู้ว่า การลดลงของแรงดันเมมเบรนเด่นชัดขึ้นเมื่ออัตราส่วน  $a/R$  ลดลง. นั่นคือ เห็นเด่นชัดกว่าในกรณีของเซลล์รูปทรงคล้ายทรงกลมแบบข้าม เมื่อเทียบกับเซลล์รูปทรงคล้ายทรงกลมแบบข้าง.



รูปที่ 21. แรงดันเมมเบรนบนเซลล์ด้านล่างของคู่เซลล์ที่มีลักษณะเหมือนกัน โดยมีอัตราส่วน  $a/R$  ต่างๆ

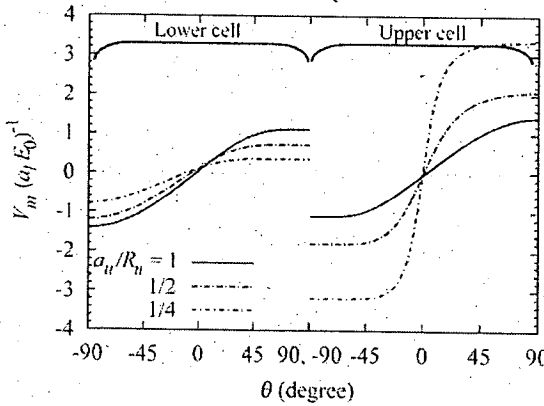


รูปที่ 22. การแปรผันของแรงดันเมมเบรนที่ขั้วของเซลล์ เนื่องจากการเปลี่ยนแปลงอัตราส่วน  $a/R$

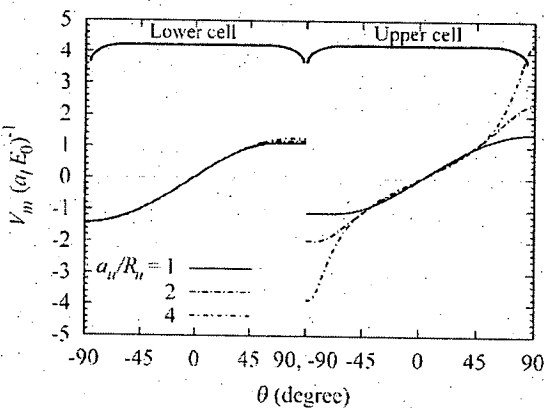


รูปที่ 23. แรงดันเมมเบรนของคู่เซลล์รูปทรงกลมที่มีขนาดแตกต่างกัน

รูปที่ 23 นำเสนอผลของขนาดของเซลล์ที่ต่อแรงดันเมมเบรน เมื่อเซลล์ในคู่มีรูปร่างทรงกลม ( $a_l = R_l$  และ  $a_u = R_u$ ) แต่มีขนาด(รัศมี)แตกต่างกัน. ในที่นี่เราให้เซลล์ด้านบนเป็นเซลล์ที่มีขนาดใหญ่กว่า. ผลการคำนวณในที่นี่คล้ายคลึงกับในเอกสารอ้างอิง [30]. อย่างไรก็ตาม ผู้วิจัยนำมาแสดงในที่นี้ เพื่อเปรียบเทียบกับผลการคำนวณในกรณีของเซลล์รูปร่างไม่เป็นทรงกลมด้วย. รูปที่ 23 แสดงศักยภาพไฟฟ้าที่ทำให้เป็นบรรหัดฐานด้วย  $a_l E_0$  ของเซลล์ด้านบนและเซลล์ด้านล่างของคู่. จุดสัมผัสระหว่างเซลล์ทั้งสองอยู่ที่  $\theta = 90^\circ$  บนเซลล์ด้านล่าง และ  $\theta = -90^\circ$  บนเซลล์ด้านบน. เราสามารถเห็นได้อย่างชัดเจนจากรูปว่า เซลล์ที่มีขนาดใหญ่กว่า (เซลล์ด้านบน) มีแรงดันเมมเบรนสูงกว่า. แรงดันของเซลล์ที่มีขนาดเล็กกว่า(ด้านล่าง)ลดลง เมื่อเซลล์ด้านบนมีขนาดใหญ่มากขึ้น. ผู้วิจัยอ้างอิงลักษณะการลดลงของแรงดันเมมเบรน  $V_m$  ว่าเป็นผลจาก “ปราภูมิการณ์คุณ (Shielding effect)”. สำหรับกระบวนการเชื่อมเซลล์ด้วยไฟฟ้า ค่าแรงดันเมมเบรนที่เหมาะสม (ประมาณ 1 V) มีความสำคัญอย่างยิ่งยวดต่อความสำเร็จหรือประสิทธิภาพของกระบวนการเชื่อม [26, 36]. รูปที่ 23 ทำให้เราทราบชัดเจนถึง ความยากของกระบวนการเชื่อมเซลล์ด้วยไฟฟ้าระหว่างเซลล์ที่มีขนาดแตกต่างกัน.



(ก) เชลล์ด้านบนเป็นทรงกลมแบนขั้ว มี  $a_u = 10 \mu\text{m}$

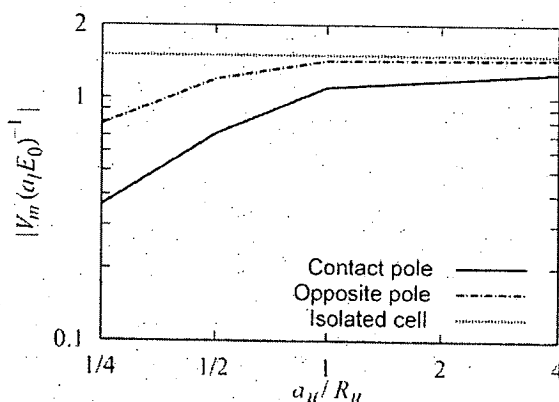


(ข) เชลล์ด้านบนเป็นทรงกลมแบนขั้ว มี  $R_u = 10 \mu\text{m}$

รูปที่ 24. แรงดันเมมเบรนของเชลล์ทรงกลมด้านล่าง ( $a_l = R_l = 10 \mu\text{m}$ ) และเชลล์รูปทรงกลมแบนขั้ว  
ด้านบน

ผู้วิจัยตรวจสอบเพิ่มเติมถึง ผลของปรากฏการณ์คลุม (Shielding effect) สำหรับคู่เชลล์ที่มีลักษณะรูปร่าง (อัตราส่วนความยาวแกนต่อรัศมี)แตกต่างกัน. ในกรณีนี้ ผู้วิจัยให้เชลล์ด้านล่างมีรูปร่างทรงกลม และแบรค่าอัตราส่วน  $a_u/R_u$  ของเชลล์ด้านบนตั้งแต่รูปทรงกลมแบนขั้ว จนถึงทรงกลมแบนขั้ว. ใน การสังเกตผลของปรากฏการณ์คลุม ที่มีต่อเชลล์ด้านล่าง ผู้วิจัยกำหนดให้เชลล์ด้านล่างมีขนาดเล็กกว่า. นี่คือ ให้  $a_u = a_l = R_l = a_l$  และเพิ่มรัศมี  $R_u$  เมื่อเชลล์ด้านบนเป็นทรงกลมแบนขั้ว. เมื่อเชลล์ด้านบนเป็นทรงกลมแบนขั้ว ผู้วิจัยให้  $R_u = R_l = a_l$  และเพิ่มความยาวแกน  $a_u$ . รูปที่ 24ก และ 24ข แสดงการกระจายของแรงดันเมมเบรนที่ทำให้เป็นบรรหัตฐานของคู่เชลล์ เมื่อเชลล์ด้านบนเป็นทรงกลมแบนขั้ว และทรงกลมแบนขั้ว ตามลำดับ. สังเกตว่า ค่าที่ใช้ทำให้เป็นบรรหัตฐานของศักยภาพในรูปทั้งสอง อ้างอิงจากความยาวแกนของเชลล์ด้านล่าง ซึ่งมีค่าเท่ากันทั้งสองกราฟ. จากรูปที่ 24 ก เราเห็นได้ชัดเจนว่า ผลของปรากฏการณ์คลุมขึ้นอยู่กับรัศมีของเชลล์เป็นหลัก เนื่องจากแรงดันเมมเบรนของเชลล์ที่มีขนาดเล็กกว่า (ด้านล่าง) ลดลงอย่างชัดเจนเมื่อเชลล์ด้านบนเป็นทรงกลมแบนขั้ว. อีกทางหนึ่ง ในรูปที่ 24x เมื่อความยาวแกนของเชลล์ด้านบนเพิ่มขึ้น แรงดันเมมเบรนของเชลล์ด้านบน บริเวณจุดสมดุลจะมีขนาดเพิ่มขึ้นเล็กน้อย โดยแทนจะไม่เห็นความเปลี่ยนแปลงเกิดขึ้นบนบริเวณอื่นของเชลล์ด้านล่าง. เป็นที่สังเกตว่า ขนาดของแรงดันเมมเบรน ณ จุดสมดุล ( $\theta = -90^\circ$ ) ของเชลล์ด้านบนในรูปที่ 24ก นั้นสูงกว่าค่าในกรณีของคู่เชลล์ทรงกลมแบนขั้ว (ที่  $\theta = 90^\circ$  ในรูปที่ 21). ผลดังกล่าวแสดงให้เห็น เช่นกันถึง การลดระดับของปรากฏการณ์คลุม เมื่อเชลล์อีกเชลล์หนึ่งในคู่มีขนาดลดลง. รูปที่ 25. แสดงค่า

สมบูรณ์ของแรงดันเมมเบรนที่ทำให้เป็นบรรทัดฐาน ณ ขั้นของเซลล์ทรงกลมด้านล่างของคู่เซลล์ โดยแสดงเป็นพังก์ชันของอัตราส่วน  $a/R$  ของเซลล์ทรงกลัยทรงกลมด้านบน. รูปนี้แสดงให้เห็นว่า เมื่อ  $a/R$  ลดลง ขนาดของแรงดันเมมเบรนมีค่าลดลงทั้ง 2 ขั้ว.

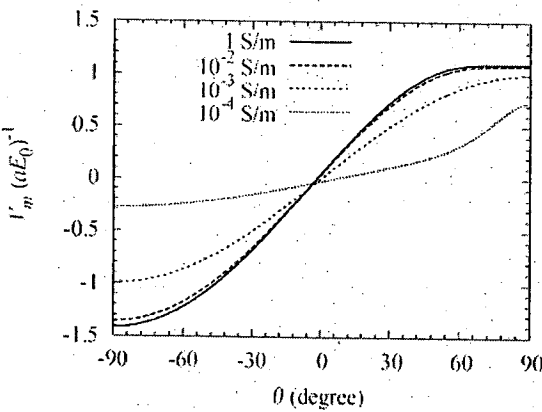


รูปที่ 25. ค่าสมบูรณ์ของแรงดันเมมเบรนที่ทำให้เป็นบรรทัดฐาน บนเซลล์รูปทรงกลมด้านล่างของคู่เซลล์ เป็นพังก์ชันของอัตราส่วน  $a/R$  ของเซลล์รูปทรงกลัยทรงกลมด้านบน

รูปที่ 24 ได้แสดงให้เห็นชัดเจนว่า ความแตกต่างของแรงดันเมมเบรน ณ จุดสัมผัสระหว่างเซลล์ด้านบนและเซลล์ด้านล่างมีขนาดมากขึ้น เมื่อรัศมีหรือความยาวแกนของเซลล์เพิ่มขึ้น. เซลล์รูปทรงกลัยทรงกลมแบบนี้มีแรงดันเมมเบรนที่สูงกว่า และทำให้แรงดันเมมเบรนของคู่เซลล์มีขนาดลดลง. เซลล์รูปทรงกลัยทรงกลมแบบนี้มีแรงดันเมมเบรนที่สูงกว่าเซลล์รูปทรงกลัยทรงกลมแบบข้าม แม้ว่าจะไม่แสดงผลของปรากฏการณ์คลุมต่อเซลล์ด้านล่างมากนักก็ตาม.

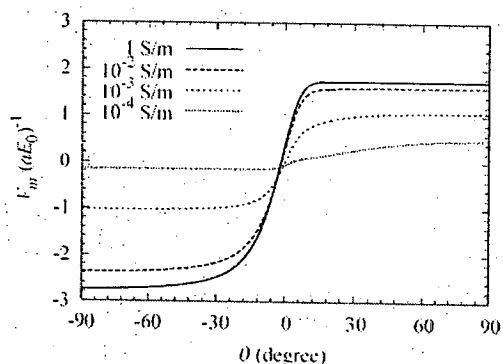
#### ก. คู่เซลล์เมื่อพิจารณาสภาพนำของเยื่อหุ้มเซลล์

หัวข้อ 3.2.3x ที่ผ่านมาได้กล่าวถึง ผลของสภาพนำของตัวกลางภายนอกเซลล์ ที่มีต่อแรงดันเมมเบรน. ในหัวข้อนี้ ผลของสภาพนำถูกตรวจสอบเพิ่มเติม สำหรับการจัดเรียงของเซลล์ในรูปที่ 14x. รูปที่ 26 แสดงการกระจายของแรงดันเมมเบรนบนเซลล์ด้านล่างของคู่เซลล์รูปทรงกลม ที่มีขนาดของเซลล์ในคู่เท่ากัน ภายในตัวกลางที่มีสภาพนำ  $\mu_E$  ต่างกัน. เราสามารถเห็นได้จากรูปว่า สภาพนำไฟฟ้าของตัวกลางภายนอกเซลล์ที่ทำลง ทำให้แรงดันเมมเบรนมีขนาดลดลง. แรงดันเมมเบรนลดค่าลง ณ บริเวณขั้วด้านล่าง มากกว่า ณ บริเวณขั้วด้านบน ซึ่งเป็นจุดสัมผัสระหว่างคู่เซลล์. เมื่อสภาพนำไฟฟ้าลดค่าลงเพียงพอ ขนาดของแรงดันเมมเบรน ณ ขั้วล้มพัสด มีค่าสูงกว่าแรงดันเมมเบรนที่ขั้วตรงข้าม ดังแสดงในรูปที่ 26. บริเวณที่มีแรงดันเมมเบรน ค่าสูงยังมีพื้นที่ลดลง เมื่อลดค่าสภาพนำไฟฟ้าภายนอกเซลล์. ภายใต้เงื่อนไขดังกล่าว เราสามารถทำให้เมมเบรนเบรกดาวน์เฉพาะบริเวณจุดสัมผัสเท่านั้น.

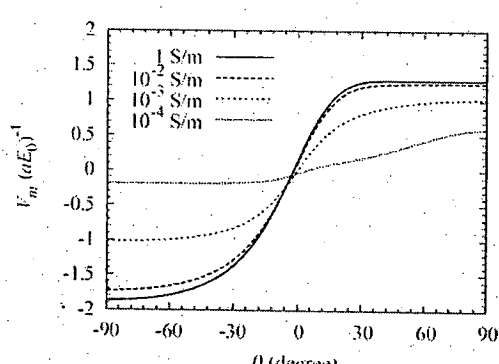


รูปที่ 26. การแปรผันของการกระจายแรงดันแม่เมرن บนเซลล์ด้านล่างของคู่เซลล์ทรงกลมที่มีรูปร่างเหมือนกัน ภายใต้ตัวกลางนอกเซลล์ที่มีค่าสภาพน้ำต่างๆ

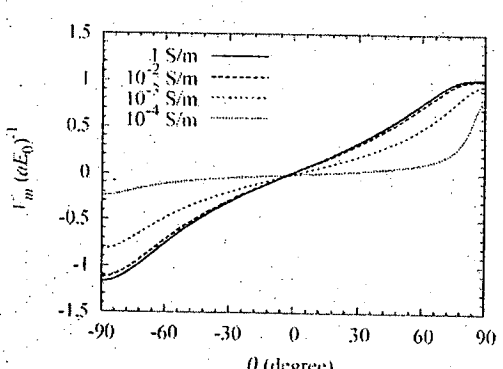
การแปรผันของแรงดันแม่เมرنเนื่องจาก  $\mu_E$  สำหรับคู่เซลล์ที่มีรูปร่างไม่เป็นทรงกลม แสดงในรูปที่ 27 เมื่อเซลล์ในคู่มีรูปร่างเหมือนกัน. จากรูปที่ 24 เราสามารถสังเกตได้ว่า แรงดันแม่เมرنมีระดับการลดลงที่สูงขึ้นที่ขั้วด้านล่าง มากกว่าที่ขั้วด้านบน ซึ่งเป็นไปในทางเดียวกับรูปที่ 26 สำหรับเซลล์รูปทรงกลม.



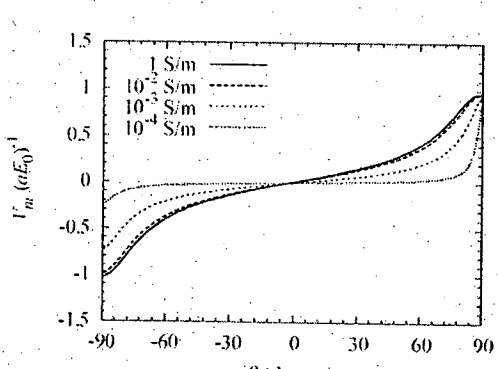
(n)  $a/R = 1/4$



(u)  $a/R = 1/2$



(k)  $a/R = 2$



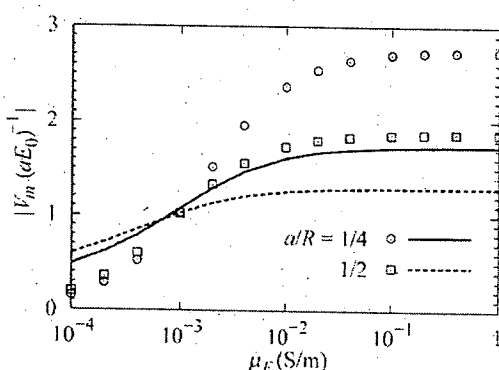
(g)  $a/R = 4$

รูปที่ 27. การแปรผันของการกระจายแรงดันแม่เมرن บนเซลล์ด้านล่างของคู่เซลล์ที่มีรูปร่างเหมือนกัน

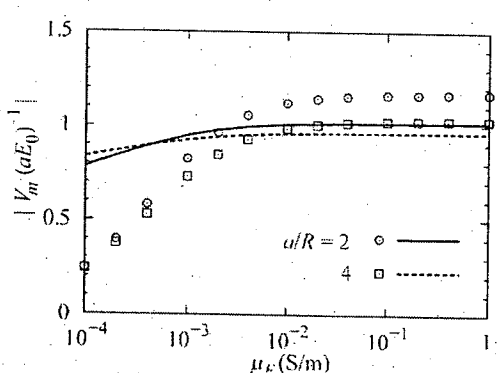
เมื่อเปรียบเทียบรูปที่ 26 และรูปที่ 27 ในกรณีของเซลล์รูปทรงคล้ายทรงกลมแบบนี้ พื้นที่ที่มีแรงดันแม่เมرنสูงในรูปที่ 27 ก และ 27 ข ยังคงมีขนาดกว้างแม้เวลาสภาพนำไฟฟ้าภายนอกเซลล์มีค่าต่ำมาก. โดยเฉพาะอย่างยิ่ง เมื่ออัตราส่วน  $a/R$  มีค่าต่ำ(รูปที่ 27 ก) การจำกัดบริเวณที่มีแรงดันแม่เมرنสูงเป็นไปได้

มากมาก. สำหรับเซลล์รูปทรงคล้ายทรงกลมแบบข้าง ผลของสภาพนำไฟฟ้าที่มีต่อแรงดันเมมเบรนที่ข้ามผิว (ข้าวน) มีค่อนข้างน้อย ดังแสดงในรูปที่ 14c และ 14g. อย่างไรก็ตาม บริเวณที่มีแรงดันเมมเบรนสูงใกล้กับจุดสัมผัส มีพื้นที่ลดลง เมื่อลดค่า  $\mu_E$  ที่ข้าด้านตรงข้าม การลดลงของ  $\mu_E$  ลดขนาดแรงดันเมมเบรนที่เกิดขึ้น แต่การกระจายของแรงดันยังคงมีลักษณะเหมือนเดิมโดยประมาณ.

ขนาดของแรงดันเมมเบรนที่ข้าทั้งสองของเซลล์ ถูกแสดงเป็นฟังก์ชันของสภาพนำภายนอกเซลล์ในรูปที่ 28g สำหรับค่าเซลล์รูปทรงคล้ายทรงกลมแบบข้าง และรูปที่ 28h สำหรับเซลล์รูปทรงคล้ายทรงกลมแบบข้าง. เส้นและสัญลักษณ์ในรูปแสดงค่าของแรงดันเมมเบรน ณ ข้าสัมผัส และข้าตรงข้าม ตามลำดับ. จากรูป เราสามารถเห็นได้ว่า ขนาดของแรงดันเมมเบรนมีค่าต่างๆ ที่จุดสัมผัส มากกว่าที่ข้าตรงข้าม. อย่างไรก็ตาม เราสามารถถอดความแตกต่างระหว่างแรงดันที่ทั้งสองข้างได้ โดยการลดสภาพนำ  $\mu_E$ . เมื่อสภาพนำ  $\mu_E$  มีค่าต่ำมาก ศักยไฟฟ้าจะมีค่าสูงกว่า ณ ข้าสัมผัส.



(g) ทรงคล้ายทรงกลมแบบข้าง



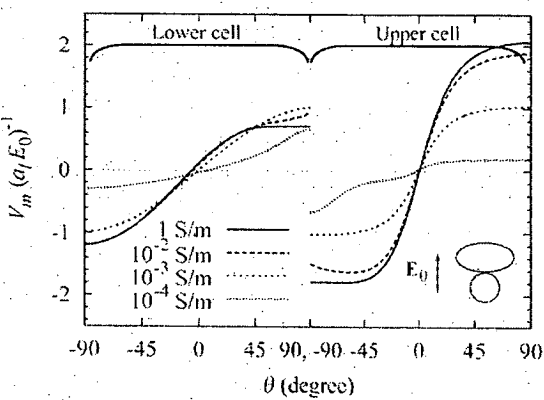
(h) ทรงคล้ายทรงกลมแบบข้าง

รูปที่ 28. ค่าสัมบูรณ์ของแรงดันเมมเบรนที่ทำให้เป็นบรรทัดฐาน ที่ข้าสัมผัส(เส้น) และที่ข้าตรงข้าม (สัญลักษณ์) สำหรับค่าเซลล์รูปทรงคล้ายทรงกลมที่มีลักษณะเหมือนกัน

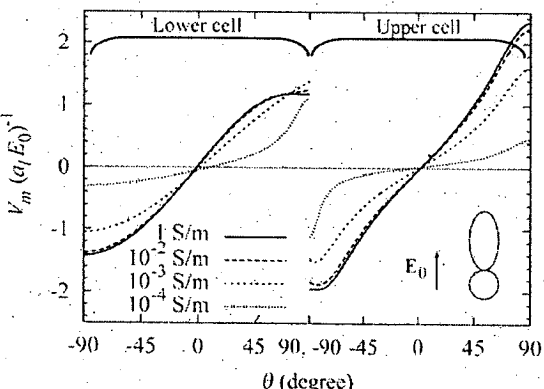
ตารางที่ 1 เปรียบเทียบค่าอิมตัว (เมื่อ  $\mu_E$  เท่ากับ 1 S/m) ของแรงดันเมมเบรนที่ทำให้เป็นบรรทัดฐาน ที่จุดสัมผัสของเซลล์ เมื่อพิจารณาเมมเบรนเป็นตัวกลางที่มีสภาพนำ (รูปที่ 28) และเมื่อเมมเบรนเป็นชนวนไฟฟ้าสมบูรณ์. ตารางนี้แสดงให้เห็นว่า ความแตกต่างระหว่างค่าแรงดันเมมเบรนมีน้อยมากสำหรับเซลล์รูปทรงคล้ายทรงกลมแบบข้าง และความแตกต่างมีค่าเพิ่มขึ้นตามอัตราส่วน  $a/R$ . เนื่องจากความแตกต่าง มีค่าเพียง 5.83% สำหรับ  $a/R = 4$  เรายังอาจใช้โมเดลของเมมเบรนแบบชนวนไฟฟ้าสมบูรณ์สำหรับประมาณ แรงดันเมมเบรนได้ สำหรับเซลล์ที่ได้พิจารณาในงานวิจัยนี้.

ตารางที่ 1 เปรียบเทียบแรงดันเมมเบรนในการณีของอนุวัติไฟฟ้าสมบูรณ์ และด้วยกลางนำไฟฟ้า

$a/R$	$V_m(aE_0)^{-1}$ ที่จุดสัมผัส		ความแตกต่าง (%)
	เมมเบรน อนุวัติไฟฟ้าสมบูรณ์	เมมเบรนมีสภาพ นำไฟฟ้า	
1/4	1.740	1.733	0.40
1/2	1.299	1.292	0.54
1	1.105	1.098	0.64
2	2.065	2.034	1.52
4	4.036	3.850	5.83



(ก) เชลล์ด้านบนเป็นรูปทรงคล้ายทรงกลมแบบขวาง มี  $a_u = 10 \mu\text{m}$  และ  $a_u/R_u = 1/2$



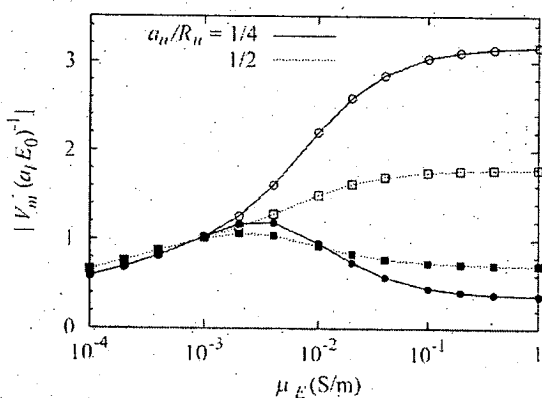
(ข) เชลล์ด้านบนเป็นรูปทรงคล้ายทรงกลมแบบขวาง มี  $R_u = 10 \mu\text{m}$  และ  $a_u/R_u = 2$

รูปที่ 29. แรงดันเมมเบรนบนเชลล์รูปทรงกลม ( $a_l = R_l = 10 \mu\text{m}$ ) ด้านล่างของคู่เชลล์ และบนเชลล์รูปทรงรีด้านบนของคู่เชลล์

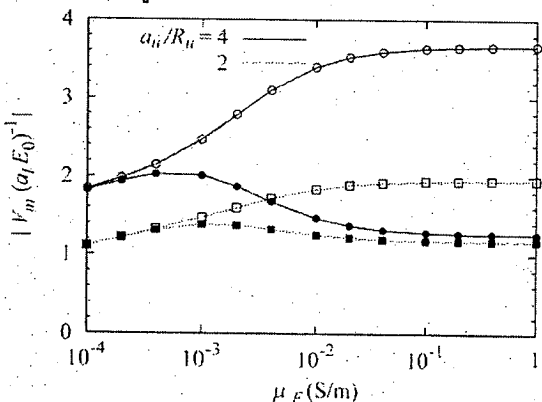
เมื่อเชลล์ที่ประกอบขึ้นเป็นคู่เชลล์มีลักษณะรูปร่างที่แตกต่างกัน พฤติกรรมของแรงดันเมมเบรนจะมีความซับซ้อนมากขึ้น การกระจายของแรงดันเมมเบรนแสดงในรูปที่ 29 สำหรับคู่ของเชลล์รูปทรงกลมด้านล่าง และเชลล์รูปทรงคล้ายทรงกลมด้านบน ในลักษณะเดียวกันกับการณีของเมมเบรนที่เป็นอนุวัติไฟฟ้าสมบูรณ์ก่อนหน้านี้ ผู้วิจัยให้  $a_u = a_l$  ในกรณีของเชลล์รูปทรงคล้ายทรงกลมแบบขวาง และ  $R_u = R_l$  สำหรับทรงคล้ายทรงกลมแบบขวาง เพื่อให้เชลล์ด้านล่างเป็นเชลล์ที่มีขนาดเล็กกว่า ดังแสดงในรูป แรงดันเมมเบรนในด้านล่างที่มีสภาพนำต่ำ มีค่าลดลงบนเชลล์ทั้งคู่ ยกเว้นบริเวณใกล้กับจุดสัมผัส (ขั้วน) ของเชลล์รูปทรงกลม

ด้านล่าง. ในบริเวณนี้ แรงดันแม่เปรนอาจลดลง หรือเพิ่มขึ้น เมื่อลดสภาพนำไฟฟ้าของตัวกลางภายนอก. บนเซลล์รูปทรงคล้ายทรงกลมด้านบน ศักย์ไฟฟ้าลดลงอย่างมากที่ขั้วน เมื่อเทียบกับที่ขั้วล่าง.

รูปที่ 30ก และ 30ข แสดงค่าสัมบูรณ์ของแรงดันแม่เปรนที่จุดสัมผัสระหว่างเซลล์รูปทรงคล้ายทรงกลมด้านบน และเซลล์รูปทรงกลมด้านล่าง เป็นฟังก์ชันของสภาพนำไฟฟ้าภายนอกเซลล์ สำหรับกรณีทรงคล้ายทรงกลมแบบขั้ว และทรงคล้ายทรงกลมแบบข้าง ตามลำดับ. ในรูปดังกล่าว สัญลักษณ์เปิด และสัญลักษณ์ทึบ แสดงค่าแรงดันแม่เปรนของเซลล์ด้านบนและเซลล์ด้านล่าง ตามลำดับ. เราเห็นได้ชัดเจนจากรูปว่า เมื่อลดสภาพนำไฟฟ้าของตัวกลางภายนอกเซลล์ลง แรงดันแม่เปรนที่จุดสัมผัสของหัวสองเซลล์มีค่าลู่เข้าสู่ค่าเดียวกัน. ที่สภาพนำไฟฟ้าภายนอกเซลล์ที่ต่ำ แรงดันแม่เปรนที่จุดสัมผัสแตกต่างกันเพียงเล็กน้อย ในกรณี  $a_t/R_u = 2$  และ  $4$  (รูปที่ 20ข). ดังนั้น โดยการใช้ตัวกลางภายนอกเซลล์ที่มีสภาพนำไฟฟ้าต่ำเพียงพอ แรงดันแม่เปรนที่สภาวะคงตัวของคู่เซลล์ จะจุดสัมผัส ถูกกำหนดด้วยความยาวแกนของเซลล์เป็นหลัก.



(ก) เซลล์ด้านบนมีรูปทรงคล้ายทรงกลมแบบขั้ว โดย  $a_t = 10 \mu\text{m}$



(ข) เซลล์ด้านบนมีรูปทรงคล้ายทรงกลมแบบข้าง โดย  $R_u = 10 \mu\text{m}$

รูปที่ 30. ค่าสัมบูรณ์ของแรงดันแม่เปรน ณ ขั้วสัมผัส เป็นฟังก์ชันของสภาพนำ สำหรับกรณีที่เซลล์ด้านล่าง ของคู่เซลล์มีรูปร่างทรงกลม ( $a_t = R_u = 10 \mu\text{m}$ )

### 3.3 สนามไฟฟ้าและระบบอนุภาคทรงคล้ายทรงกลมแบบข้างในระบบฉนวน

สวิตช์เกียร์แบบฉนวนกําช (Gas insulated switchgears, GIS) และสายส่งแบบฉนวนกําช (Gas-insulated transmission lines) ถูกใช้อวย่างกว้างขวางในระบบไฟฟ้ากำลัง เพื่อเพิ่มความเชื่อถือในการทำงานและความปลอดภัย รวมถึงเพื่อลดขนาดของอุปกรณ์ ฉนวนของ GIS และ GITL สามารถได้รับผลกระทบอย่างมากจากการมีอุบัติเหตุทางอากาศภายในระบบ โดยเฉพาะอย่างยิ่ง อนุภาคด้านนำสามารถรับประจุจากอิเล็กโตรด เมื่อสัมผัสกับอิเล็กโตรดภายในได้สนามไฟฟ้า ผลของอนุภาคทำให้เกิดสิษาร์จหรือเบรกดาวน์ ในฉนวนกําชได้ง่ายขึ้น [37, 38].

การเคลื่อนที่ของอนุภาคด้านนำภายในได้สนามไฟฟ้าไม่สม่ำเสมอในอากาศหรือกําช SF<sub>6</sub> ได้ถูกศึกษาโดยคณะนักวิจัยต่างๆ [38-42] อนุภาคมักถูกพิจารณาว่ามีรูปร่างเป็นทรงกลมหรือทรงกระบอก การวิเคราะห์ประจุเหนี่ยวนำ และแรงไฟฟ้าสถิตบนอนุภาคที่สัมผัสกับอิเล็กโตรด เป็นปัจจัยสำคัญในการทำความเข้าใจการเคลื่อนที่ของอนุภาค ด้วยการวิเคราะห์ประจุและแรงบนอนุภาคทรงกลมถูกวิเคราะห์โดย Felici [43] และโดย Hara และ Akazaki [44] สำหรับอนุภาคครูปร่างเส้นลวด เราแมกใช้รูปร่างทรงกระบอกสัมผัสกับอิเล็กโตรดในการประมาณขนาดของสนามไฟฟ้าและแรง [40, 45] ทั้งนี้ เพราะว่า ประจุและแรงบนอนุภาคมีขนาดเพิ่มขึ้น เมื่ออนุภาคยืนอยู่บนอิเล็กโตรด โดยเปรียบเทียบกับกรณีที่อนุภาควางด้านบนอยู่บนอิเล็กโตรด ภายใต้สนามไฟฟ้าแบบไม่สม่ำเสมอ อนุภาคอาจเคลื่อนที่ตามแนวผิวของอิเล็กโตรด ไปยังบริเวณที่มีสนามไฟฟ้าสูงกว่าตำแหน่งปัจจุบัน และยกตัวขึ้นจากอิเล็กโตรดได้ในที่สุด [40, 45] การเคลื่อนที่ของอนุภาคครูปร่างเส้นลวดมีความซับซ้อนมากกว่า และขึ้นอย่างมากกับปรากฏการณ์โคโรนาดิสชาร์จที่ปลายของอนุภาค [38, 40].

ในทางปฏิบัติ อนุภาคอิสระภายในระบบฉนวนกําชนี้รูปร่างที่หลอกหลอน ไม่จำกัดอยู่ที่ทรงกลมหรือเส้นลวดเท่านั้น ประจุเหนี่ยวนำและแรงลากหรับอนุภาคที่มีรูปร่างไม่เป็นทรงกลมยังไม่ได้รับการวิเคราะห์อย่างสมบูรณ์ในงานวิจัยที่ผ่านมาในอดีต ทั้งนี้ ไม่มีผลเฉลยเชิงวิเคราะห์ในรูปปิด (Closed form) สำหรับอนุภาคครูปร่างไม่เป็นทรงกลมที่อยู่ใกล้กันหรือสัมผัสกับอิเล็กโตรด แม้ว่า เรายสามารถนำวิธีเชิงเลขมาใช้คำนวณสนามไฟฟ้าบนอนุภาคที่มีรูปร่างใดๆ ได้ การคำนวณสนามไฟฟ้าให้ได้ความแม่นยำสูงยังคงทำได้ยาก โดยเฉพาะอย่างยิ่งเมื่อสนามไฟฟ้าในระบบที่พิจารณาเป็นแบบสามมิติโดยสมบูรณ์.

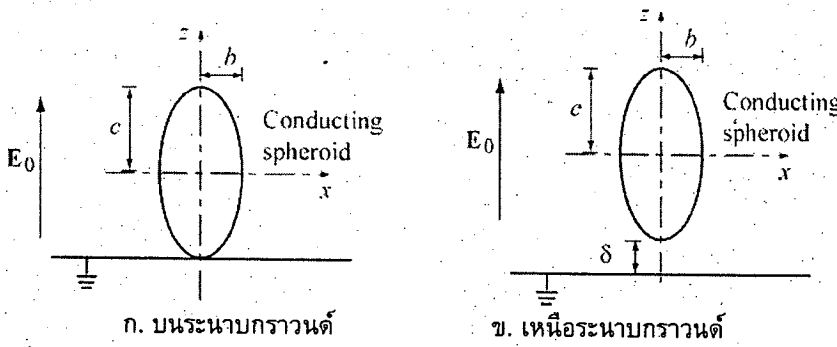
งานวิจัยในส่วนนี้ของโครงการได้วิเคราะห์ประจุเหนี่ยวนำ สนามไฟฟ้า และไฟฟ้าสถิต และระบบไฟฟ้าสถิต ในรูปแบบการจัดเรียงของอนุภาคทรงคล้ายทรงกลมแบบข้าง เพื่อประมาณอนุภาคที่มีลักษณะไม่เป็นทรงกลม การใช้รูปลักษณะแบบทรงคล้ายทรงกลมแบบข้างทำให้เราสามารถประยุกต์ใช้ใน การวิเคราะห์ ดังแต่กรณีที่อนุภาคมีรูปร่างคล้ายทรงกลม จนถึงกรณีที่อนุภาคมีรูปร่างคล้ายเส้นลวด โดยที่ยังคงสามารถประยุกต์ใช้วิธีเชิงวิเคราะห์ในการคำนวณสนามไฟฟ้าได้อย่างแม่นยำสูง วิธีเชิงวิเคราะห์ที่ใช้ในการคำนวณสนามไฟฟ้าในงานวิจัยนี้ได้แก่ วิธีเงามัลติโพล.

หัวขอต่อไปนี้จะนำเสนอรายละเอียดของรูปแบบการจัดเรียง วิธีวิเคราะห์ และผลการวิเคราะห์ที่ได้โดยแยกเนื้อหาออกเป็น กรณีของการจัดเรียงแบบสมมาตรรอบแกนหมุน และกรณีที่เป็นแบบสามมิติโดยสมบูรณ์ซึ่งไม่สามารถลดรูปเป็นแบบสมมาตรรอบแกนหมุนได้.

#### 3.3.1 รูปแบบการจัดเรียงในการวิเคราะห์

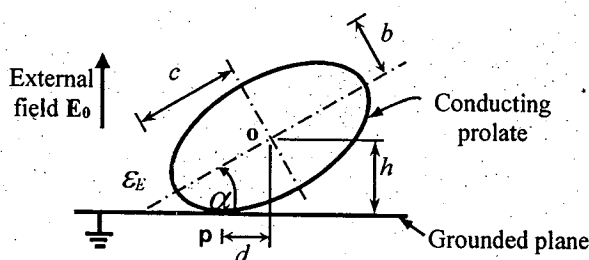
รูปที่ 31 แสดงรูปแบบการจัดเรียงที่ใช้ในการวิเคราะห์ สำหรับกรณีของการจัดเรียงแบบสนามไฟฟ้า สามารถรอบแกนหมุน ในรูปที่ 31(a) ด้านหลังคล้ายทรงกลมยืนตั้งอยู่บนระหว่างกราวน์ ในขณะที่ด้านหน้าทรง

คล้ายทรงกลมอยู่สูงจากระนาบกราวน์ดเป็นระยะ  $\delta$  ในรูปที่ 31x. สภาพยอมของตัวกลางภายนอกมีค่าเท่ากับ  $\infty$  ซึ่งเท่ากับ  $\infty$  ในกรณีที่เป็นก้าชหรือสูญญากาศ. ทรงคล้ายทรงกลมในรูปที่ 31g มีศักย์ไฟฟ้าเท่ากับศูนย์ และอยู่ภายใต้สنانามไฟฟ้าภายนอกสม่ำเสมอ  $E_0$  ในทิศทางแนวตั้ง ( $z$ ). สำหรับรูปที่ 31x ทรงคล้ายทรงกล้มมีศักย์ไฟฟ้าเป็นไปตามเงื่อนไขของการอัดประจุ ซึ่งจะพิจารณาทั้งในกรณีที่ได้รับการอัดประจุและไม่ได้รับการอัดการประจุ.



รูปที่ 31. รูปแบบการจัดเรียงแบบสมมาตรรอบแกนหมุนที่ใช้ในการวิเคราะห์.

รูปที่ 32 แสดงการจัดเรียงของทรงคล้ายทรงกลมด้านนำบนระนาบกราวน์ด ซึ่งมีสنانามไฟฟ้ากระจายแบบสามมิติทั่วไป ไม่สามารถรอบแกนหมุน. ในรูปที่ 32 ทรงคล้ายทรงกลมมีจุดศูนย์กลางอยู่ที่จุด  $O$  และสัมผักระนาบกราวน์ดด้านล่าง โดยแกนเอกของทรงคล้ายทรงกลมทำมุมเอียง  $\alpha$  กับระนาบกราวน์ด.



รูปที่ 32. รูปแบบการจัดเรียงของทรงคล้ายทรงกลมด้านนำที่ทำมุม  $\alpha$  กับระนาบกราวน์ด ภายใต้สنانามไฟฟ้าภายนอก.

เมื่อให้รัศมีของทรงคล้ายทรงกลมในแนวแกนเอกและแกนโทเท่ากับ  $b$  และ  $c$  ตามลำดับ พื้นที่ผิวของทรงคล้ายทรงกลมแนวข้างแสดงได้ตามสมการ

$$S = 2\pi b^2 \left[ 1 + \frac{c}{b} \frac{\arccos(b/c)}{\sqrt{1-(b/c)^2}} \right] \quad (58)$$

และปริมาตรของทรงคล้ายทรงกลมเป็นไปตามสมการ

$$V = \frac{4}{3} \pi b^2 c \quad (59)$$

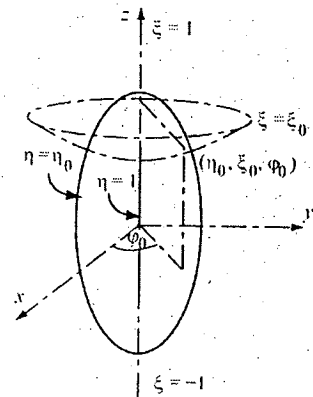
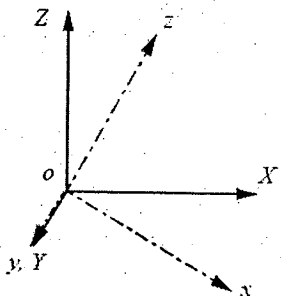
สำหรับการจัดเรียงในรูปที่ 32 ระยะห่าง  $d$  ตามแนวอน และระยะ  $h$  ตามแนวตั้ง ระหว่างจุดสัมผัส  $p$  และจุดศูนย์กลาง  $O$  ของทรงคล้ายทรงกลม เป็นฟังก์ชันของ  $b$ ,  $c$  และ  $\alpha$  ดังต่อไปนี้

$$d = \frac{(c^2 - b^2) \sin \alpha}{\sqrt{b^2 + c^2 \tan^2 \alpha}} \quad (60)$$

$$h = \sqrt{b^2 + c^2 \tan^2 \alpha} \cos \alpha. \quad (61)$$

การจัดเรียงแบบที่ทรงคล้ายทรงกลมทำมุ่งเมื่องกับระนาบกราฟน์ จะใช้ระบบพิกัดคาร์ทีเซียนสองระบบ ในการคำนวณหาสามาไฟฟ้า ดังแสดงในรูปที่ 33a. พิกัดชุดแรก ( $X, Y, Z$ ) เป็นพิกัดที่อ้างอิงตามทิศทางของสามาไฟฟ้าภายในแนวแกน  $Z$  และกราฟน์ต์อยู่บนระนาบ  $XY$ . พิกัดที่สอง ( $x, y, z$ ) เป็นพิกัดเฉพาะที่อ้างอิงตามแนวแกนของทรงคล้ายทรงกลม โดยแกนเอกของทรงคล้ายทรงกลมอยู่ในแนวแกน  $z$ . พิกัดที่สองได้จากการหมุนพิกัดแรกรอบแกน  $Y$  ไปเป็นมุม  $90^\circ - \alpha$ . นั่นคือ

$$\begin{bmatrix} X \\ Y \\ Z \end{bmatrix} = \begin{bmatrix} \sin \alpha & 0 & \cos \alpha \\ 0 & 1 & 0 \\ -\cos \alpha & 0 & \sin \alpha \end{bmatrix} \begin{bmatrix} x \\ y \\ z \end{bmatrix}. \quad (62)$$



ก. พิกัดคาร์ทีเซียน

ข. พิกัดทรงคล้ายทรงกลม

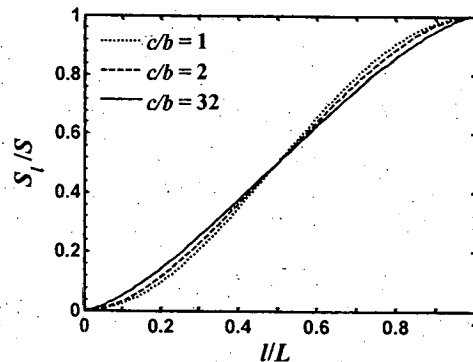
รูปที่ 33. พิกัดคาร์ทีเซียนสองชุดที่ใช้สำหรับการวิเคราะห์สามาไฟฟ้า และพิกัดทรงคล้ายทรงกลม

ความสัมพันธ์ระหว่างพิกัดทรงคล้ายทรงกลมแบบข้าง ( $\eta, \xi, \phi$ ) ที่มีจุดโพกสอยู่ที่  $\pm a$  บนแกน  $z$  กับพิกัดคาร์ทีเซียนแสดงอยู่ในรูปที่ 33x โดย

$$\begin{aligned} x &= a\sqrt{\eta^2 - 1}\sqrt{1 - \xi^2} \cos \phi \\ y &= a\sqrt{\eta^2 - 1}\sqrt{1 - \xi^2} \sin \phi \\ z &= a\eta \end{aligned} \quad (63)$$

เมื่อ  $\eta \geq 1, -1 \leq \xi \leq 1$  และ  $0 \leq \phi < 2\pi$ . ในระบบพิกัดทรงคล้ายทรงกลม พื้นผิว  $\eta > 1$  เป็นผิวของทรงคล้ายทรงกลมแบบข้างที่มีความยาวรัศมีเท่ากับ  $c = a\eta$  และ  $b = a(\eta^2 - 1)^{1/2}$  ในแนวแกนเอกและแกนโท ตามลำดับ. สังเกตว่า  $c^2 - b^2 = a^2$ .

ในการแสดงผลการวิเคราะห์ที่ได้ในหัวข้อต่อไป ผู้วิจัยนิยาม  $I$  เป็นความยาวผิวโค้งวัดจากขั้วบนของทรงคล้ายทรงกลม และ  $L$  เป็นความยาวผิวโค้งทั้งหมดระหว่างขั้วนและขัล่างของทรงคล้ายทรงกลม. พื้นผิวที่ได้จากการหมุนเส้นโค้ง  $I$  รอบแกนเอกของทรงคล้ายทรงกลมถูกนิยามด้วยสัญลักษณ์  $S$ . รูปที่ 34 แสดงความสัมพันธ์ระหว่างอัตราส่วนพื้นผิว  $S/I$  เป็นพังค์ชันของความยาวที่ถูกทำให้เป็นบรรทัดฐาน  $I/L$  ซึ่งเป็นอิสระไม่ขึ้นกับขนาดของทรงคล้ายทรงกลม แต่ขึ้นอยู่กับอัตราส่วนความยาวแกน  $c/b$  เท่านั้น.



รูปที่ 34. อัตราส่วนพื้นผิว  $S_i$  ต่อพื้นผิวน้ำ  $S$  ของทรงคล้ายทรงกลมแบบข้าง

### 3.3.2 วิธีวิเคราะห์

#### a. הארמอนิกส์ของศักย์ไฟฟ้า

ในงานวิจัยล่าสุดนี้ สมานไฟฟ้าในรูปแบบการจัดเรียงของปัญหาถูกคำนวณด้วยวิธีเง้มัลติโพลในพิกัดทรงคล้ายทรงกลมแบบข้าง [6]. ผลตอบ返ร์มอนิกส์เชิงทั่วไปของสมการลาปลาชในพิกัดทรงคล้ายทรงกลมแบบข้างเป็นผลรวมของ הארמอนิกส์ในระบบพิกัดดังกล่าว. สำหรับทรงคล้ายทรงกลมที่กำหนดด้วย  $\eta = \eta_0$  เราสามารถเขียนศักย์ไฟฟ้า  $\psi_{ext}$  ซึ่งเกิดจากประจุใดๆ ที่อยู่ภายนอกทรงคล้ายทรงกลมได้เป็น

$$\psi_{ext} = \sum_{n=0}^{\infty} \sum_{m=0}^n P_{n,m}(\eta) P_{n,m}(\xi) [L_{n,m}^c \cos m\varphi + L_{n,m}^s \sin m\varphi] \quad (64)$$

โดยที่  $P_{n,m}$  เป็นพังก์ชันเลื่อนของครรั่วมชนิดที่หนึ่งอันดับ  $(n, m)$  และ  $L_{n,m}^c$  กับ  $L_{n,m}^s$  เป็นสัมประสิทธิ์จำนวนจริงของศักย์ไฟฟ้า. ศักย์ไฟฟ้า  $\psi_{ext}$  เหนี่ยวนำให้เกิดประจุบันพิเศษของทรงคล้ายทรงกลม. ประจุเหนี่ยวนำทำให้เกิดศักย์ไฟฟ้า  $\psi_{ind}$  ขึ้น ซึ่งสามารถแสดงในรูปของ

$$\psi_{ind} = \sum_{n=0}^{\infty} \sum_{m=0}^n Q_{n,m}(\eta) P_{n,m}(\xi) [B_{n,m}^c \cos m\varphi + B_{n,m}^s \sin m\varphi] \quad (65)$$

โดย  $Q_{n,m}$  เป็นเป็นพังก์ชันเลื่อนของครรั่วมชนิดที่สอง. สังเกตว่า  $Q_{n,m}$  ลู่เข้าสู่ศูนย์เมื่อ  $\eta \rightarrow \infty$ . ดังนั้น ศักย์ไฟฟ้าลักษณะนี้จะหายไปเมื่อ  $\eta \geq \eta_0$  จึงแสดงได้เป็น

$$\psi = \psi_{ext} + \psi_{ind} \quad (66)$$

สำหรับกรณีที่สมานไฟฟ้ามีลักษณะสมมาตรรอบแกน  $z$  ดังในรูปที่ 31 เราสามารถลดรูปของสมการศักย์ไฟฟ้าได้เป็น

$$\psi_{ext} = \sum_{n=0}^{\infty} L_n P_n(\eta) P_n(\xi) \quad (67)$$

$$\psi_{ind} = \sum_{n=0}^{\infty} B_n Q_n(\eta) P_n(\xi) \quad (68)$$

เมื่อ  $P_n$  และ  $Q_n$  เป็นเป็นพังก์ชันเลื่อนของครรั่วมชนิดที่หนึ่งและสองตามลำดับ. การจัดเรียงของทรงคล้ายทรงกลมในรูปที่ 32 มีสมานไฟฟ้าที่สมมาตรเมื่อเทียบกับระนาบ  $\varphi = 0^\circ$ . ดังนั้น เราลดรูปสมการของศักย์ไฟฟ้าจากสมการที่ (64) และ (65) ลงเป็น

$$\psi_{ext} = \sum_{n,m} L_{n,m} P_{n,m}(\eta) P_{n,m}(\xi) \cos m\varphi \quad (69)$$

$$\psi_{ind} = \sum_{n,m} B_{n,m} Q_{n,m}(\eta) P_{n,m}(\xi) \cos m\varphi \quad (70)$$

โดยที่เราพิจารณาได้ว่า  $B_{n,m}$  เป็นมัลติโพลอันดับที่  $(n, m)$  ที่อยู่ใน จุดกำเนิดของระบบพิกัด.

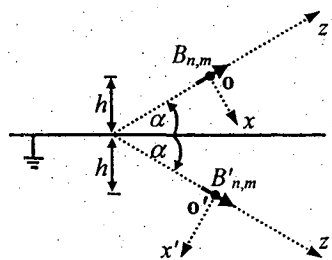
### 午. เงามัลติโพลที่เกิดจากระนาบกราเวน์

พิจารณาเมลติโพล  $B_{n,m}$  ใน จุด 0 ซึ่งอยู่ที่ความสูง  $h$  เหนือระนาบกราเวน์ ดังแสดงในรูปที่ 35. ทิศทางของเมลติโพล (แกน  $z$ ) ทำมุม  $\alpha$  กับระนาบกราเวน์. ศักย์ไฟฟ้า  $\psi_B$  เนื่องจากเมลติโพล คือ

$$\psi_B = B_{n,m} Q_{n,m}(\eta) P_{n,m}(\xi) \cos m\varphi \quad (71)$$

เพื่อให้เงื่อนไขศักย์ไฟฟ้าเท่ากับศูนย์บนระนาบกราเวน์เป็นจริง เราจะวางเงามัลติโพล  $B'_{n,m}$  ที่จุด 0' ในระบบพิกัด  $(x', y', z')$  ณ ระยะห่าง  $h$  ต่ำลงไปจากผิวของระนาบ ดังแสดงในรูปที่ 35. ขนาด  $B'_{n,m}$  ของเงามัลติโพล คือ

$$B'_{n,m} = (-1)^{m+1} B_{n,m} \quad (72)$$



รูปที่ 35. เงามัลติโพล  $B'_{n,m}$  ของเมลติโพล  $B_{n,m}$  ที่เกิดจากระนาบกราเวน์

### ค. เมลติโพลที่เกิดจากการกลั่นแปรแบบข้างต่อลงกราเวน์

พิจารณาเมลติโพล  $B_{n,m}$  ที่อยู่ภายนอกทรงกลั่นแปรแบบข้างต่อลงกราเวน์ ซึ่งมีศูนย์กลางอยู่ที่จุด 0. เราจะรายศักย์ไฟฟ้า  $\psi_B$  เนื่องจากเมลติโพลนี้ รอบจุด 0 ในระบบพิกัด  $(\eta, \xi, \varphi)$  ของทรงกลั่นแปร ได้เป็น

$$\psi_B = \sum_{i,j} L_{i,j} P_{i,j}(\eta) \bar{P}_{i,j}(\xi) \cos(j\varphi) \quad (73)$$

โดย  $L_{i,j}$  เป็นสัมประสิทธิ์ที่ได้จากการกระจายพจน์ศักย์ไฟฟ้า.  $L_{i,j}$  คำนวณได้จาก [21]

$$L_{i,0} = \frac{2i+1}{4\pi P_{i,0}(\eta)} \int_{-\pi}^{\pi} \int \psi_B P_{i,0}(\xi) d\varphi d\xi \quad (74)$$

และ

$$L_{i,j} = \frac{(2i+1)(i-j)!}{2\pi(i+j)! P_{i,j}(\eta)} \int_{-\pi}^{\pi} \int \psi_B P_{i,j}(\xi) \cos(j\varphi) d\varphi d\xi \quad (75)$$

ให้มัลติโพล  $B'_{i,j}$  ณ จุดศูนย์กลางของทรงกลั่นแปรเป็นเงามัลติโพลของ  $B_{n,m}$ . ศักย์ไฟฟ้าลัพธ์  $\psi$  ภายนอกทรงกลั่นแปร ( $\eta \geq \eta_0$ ) จะอยู่ในรูปของ

$$\psi = \sum_{i,j} [L_{i,j} P_{i,j}(\eta) + B'_{i,j} Q_{i,j}(\eta)] \bar{P}_{i,j}(\xi) \cos(j\varphi) \quad (76)$$

จากเงื่อนไขศักย์ไฟฟ้าเป็นศูนย์บนผิวของทรงกลั่นแปร เราสามารถคำนวณหาดของเงามัลติโพลได้

$$B'_{i,j} = -\frac{P_{i,j}(\eta_0)}{Q_{i,j}(\eta_0)} L_{i,j} \quad \text{สำหรับ } i \geq 0. \quad (77)$$

### จ. ขั้นตอนการคำนวณ

รูปที่ 36. แสดงขั้นตอนการคำนวณสำหรับรูปแบบการจัดเรียงของทรงคล้ายทรงกลมในรูปที่ 31 และ 32. การคำนวณเริ่มด้วยศักย์ไฟฟ้า  $\phi$  เนื่องจากสนามไฟฟ้า  $E_0$  ในระบบพิกัดทรงคล้ายทรงกลมแบบข้าง ( $\eta, \xi, \varphi$ ).

$$\phi_0 = -(h+Z)E_0 = \sum_{n,m} L_{n,m} P_{n,m}(\eta) P_{n,m}(\xi) \cos(m\varphi) \quad (78)$$

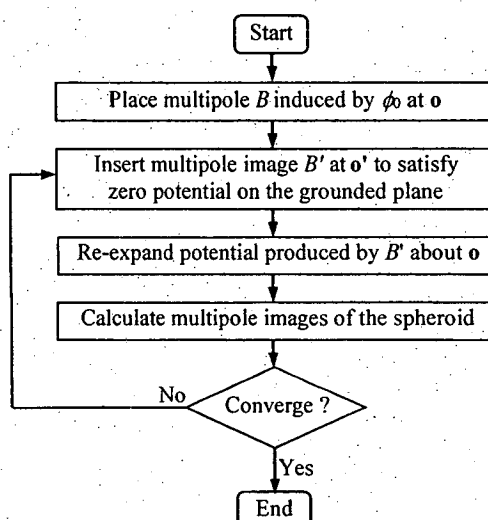
โดย  $L_{0,0} = -hE_0$ ,  $L_{1,0} = -a \sin \alpha E_0$  และ  $L_{1,1} = a \cos \alpha E_0$ .

จากเงื่อนไขข้อมูลนิวของทรงคล้ายทรงกลมแบบข้าง เรายามลติโพลหนีบว่า  $B_{n,m}$  ที่จุด  $o$  จาก  $L_{n,m}$  โดยใช้สมการที่ (52). นั่นคือ

$$\begin{aligned} B_{0,0} &= [P_{0,0}(\eta_0)/Q_{0,0}(\eta_0)] hE_0 \\ B_{1,0} &= [P_{1,0}(\eta_0)/Q_{1,0}(\eta_0)] a \sin \alpha E_0 \\ B_{1,1} &= -[P_{1,1}(\eta_0)/Q_{1,1}(\eta_0)] a \cos \alpha E_0 \end{aligned} \quad (79)$$

ต่อไป เราวางเเมลติโพล  $B'_{n,m}$  ที่เกิดจากกระบวนการเดียวกันที่จุด  $o'$  เพื่อทำให้เงื่อนไขศักย์ไฟฟ้าเท่ากับศูนย์บนระนาบกราเวนด์เป็นจริง โดยใช้สมการที่ (72). หลังจากนั้น เรายายพจน์ของศักย์ไฟฟ้าเนื่องจาก  $B'_{n,m}$  รอบจุด  $o$  และคำนวณเเมลติโพล เพื่อให้เงื่อนไขข้อมูลนิวของทรงคล้ายทรงกลมเป็นจริงอีกครั้งหนึ่ง. อินทิกรัลเชิงเลขถูกใช้ในการหาค่าสมการที่ (74) และ (75). การประยุกต์ใช้เเมลติโพลและการกระจายพจน์ศักย์ไฟฟ้าซ้ำๆ ทำซ้ำอย่างต่อเนื่อง จนกว่าศักย์ไฟฟ้าบนผิวของทรงคล้ายทรงกลมลู่เข้าสู่ค่าตอบ.

การคำนวณในงานวิจัยนี้ใช้อันดับสูงสุดของอาร์มอนิกส์เท่ากับ 20 ในกรณีของสนามไฟฟ้าแบบสามมิติ และมากกว่า 200 ในกรณีของการจัดเรียงแบบสมมาตรรอบแกนหมุน. ผู้วิจัยได้ทดสอบค่าศักย์ไฟฟ้าบนผิวของทรงคล้ายทรงกลม และบนผิวของระนาบกราเวนด์ว่า มีค่าต่างจากศูนย์ไม่เกิน  $5 \times 10^{-6} cE_0$ .



รูปที่ 36. ขั้นตอนการคำนวณสนามไฟฟ้าในการจัดเรียงของทรงคล้ายทรงกลม

### ก. สนามไฟฟ้า ประจุหนีบว่า และแรงไฟฟ้าสถิต

จากอาร์มอนิกส์ของศักย์ไฟฟ้า เรายสามารถหาสนามไฟฟ้า  $E$  บนผิวของทรงคล้ายทรงกลมได้. สนามไฟฟ้าในทิศทาง  $\eta$  แสดงได้เป็น

$$E_\eta = -\frac{1}{h_\eta} \sum_{n,m} [L_{n,m} P'_{n,m}(\eta) + B_{n,m} Q'_{n,m}(\eta)] P_{n,m}(\xi) \cos(m\varphi) \quad (80)$$

เมื่องเครื่องหมาย ' แสดงอนุพันธ์ของฟังก์ชันแลอจองด์ที่เทียบกับ  $\eta$  และ  $h_\eta$  เป็นองค์ประกอบมาตราส่วนของทรงคล้ายทรงกลมในทิศทาง  $\eta$ .

ประจุ  $Q$  บนทรงคล้ายทรงกลมสามารถหาได้โดยตรงจากเงามัลติโพลของทรงคล้ายทรงกลม โดย

$$Q = 4\pi\varepsilon_E a B_{0,0} \quad (81)$$

ในการนี้ของการจัดเรียงแบบสมมาตรรอบแกนหมุน แรงไฟฟ้าสถิต  $F_e$  อาจคำนวณได้จากปฏิกิริยาระหว่างสนามไฟฟ้าภายนอกและมัลติโพลหนึ่งที่นำเข้าของทรงคล้ายทรงกลม [23]. สำหรับมัลติโพล  $B_j^{sph}$  อันดับ  $j$  ในระบบพิกัดทรงกลม ภายใต้ศักย์ไฟฟ้าภายนอก

$$\phi^{sph} = \sum_j L_j^{sph} r^n P_j(\cos \theta) \quad (82)$$

เมื่อ  $L_j^{sph}$  เป็นสัมประสิทธิ์ของศักย์ไฟฟ้าในระบบพิกัดทรงกลม แรงจะอยู่ในทิศทางแกน  $z$  และคำนวณได้จาก [23]

$$F_e = -4\pi\varepsilon_E \sum_{j>0} (j+1) B_j^{sph} L_{j+1}^{sph} \quad (83)$$

ทั้งนี้ มัลติโพล ในระบบพิกัดทรงกลมหาได้จากการแปลงมัลติโพล ด้วยสมการ [21]

$$B_j^{sph} = \frac{a^{j+1}}{2} \sum_{n>0} I_{n,j} B_n \quad (84)$$

เมื่อ

$$I_{n,k} = \frac{2k!}{(k-n)!!(k+n+1)!!} \text{ ไม่เท่ากับศูนย์สำหรับ } n+k \text{ เป็นเลขคู่และ } k \geq n. \quad (85)$$

ในการนี้ที่สนามไฟฟ้าไม่มีลักษณะสมมาตรรอบแกนหมุน แรงไฟฟ้าสถิตคำนวณจากอินทิกรัล

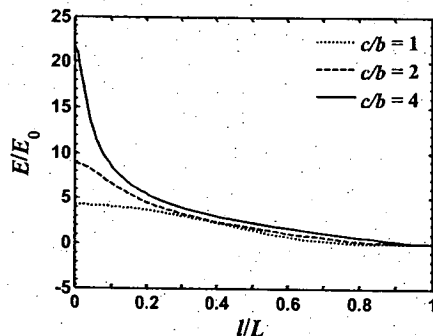
$$F_e = \frac{\varepsilon_E}{2} \iint_S E^2 a_n dS \quad (86)$$

โดย  $S$  เป็นผิวของทรงคล้ายทรงกลม และ  $a_n$  เป็นเวกเตอร์ตั้งฉากหนึ่งหน่วยในทิศทางพุ่งออกจากทรงคล้ายทรงกลม. เมื่อพิจารณาเวลาพัลส์งานไม่เปลี่ยนแปลงหากทรงคล้ายทรงกลมเปลี่ยนตำแหน่งในทิศทาง  $X$  และ  $Y$  เราสามารถสรุปได้ว่า แรงไฟฟ้าสถิตลัพธ์ที่เกิดขึ้นมีทิศทางในแนวตั้งเท่านั้น. ขนาด  $F_e$  ของแรงไฟฟ้าสถิตขึ้นอยู่กับพื้นที่ผิวของทรงคล้ายทรงกลม.

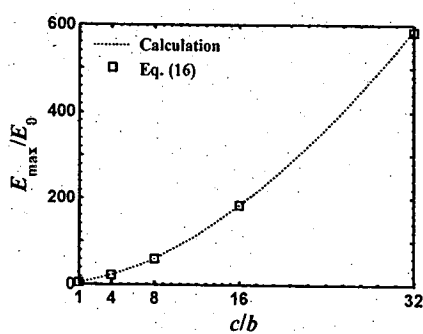
### 3.3.3 ผลการวิเคราะห์ในการจัดเรียงแบบสมมาตรรอบแกนหมุน

#### 3.3.3.1 อนุภาคดังตัวบันอิเล็กโตรดరะนาบ

รูปที่ 37 แสดงการกระจายของสนามไฟฟ้าตามผิวของทรงคล้ายทรงกลม ที่มีอัตราส่วนความยาวแกน  $c/b$  เท่ากับ 1, 2 และ 4. ในรูปที่ 37 สนามไฟฟ้ามีค่าสูงสุดที่ขั้วด้านบน ( $/L = 0$ ) และมีค่าเป็นศูนย์ที่ขั้วด้านล่าง ( $/L = 1$ ). เนื่องจากสนามไฟฟ้ามีขนาดสูงมากบนครึ่งบนของทรงคล้ายทรงกลม ประจุหนึ่งหน่วยและแรงไฟฟ้าสถิตบนทรงคล้ายทรงกลมส่วนใหญ่จะอยู่บนครึ่งบนของทรงคล้ายทรงกลม. รูปที่ 38 แสดงการเปรียบเทียบขนาดของสนามไฟฟ้าสูงสุด  $E_{max}$  เมื่อความยาวแกนเปลี่ยนแปลงจาก  $c/b = 1$  ถึง 32. เราเห็นได้อย่างชัดเจนว่า การเพิ่มขึ้นของอัตราส่วนความยาวแกนทำให้สนามไฟฟ้าสูงสุดมีขนาดเพิ่มขึ้นอย่างมาก



รูปที่ 37. การกระจายของสนามไฟฟ้าตามผิวของทรงกลมลักษณะที่ยืนตั้งบนระนาบกราเวนด์



รูปที่ 38. สนามไฟฟ้าสูงสุดเป็นพังค์ชันของอัตราส่วนความยาวแกนของทรงกลมลักษณะที่ยืนตั้งบนระนาบกราเวนด์

จากการคำนวณเชิงตัวเลขที่ได้ ผู้วิจัยใช้วิธีการปรับเส้นโค้ง (Curve fitting) หาสมการเชิงประจักษ์ (Empirical equation) สำหรับประมาณค่าสนามไฟฟ้าสูงสุดบนผิวของทรงกลมแบบข้าง.

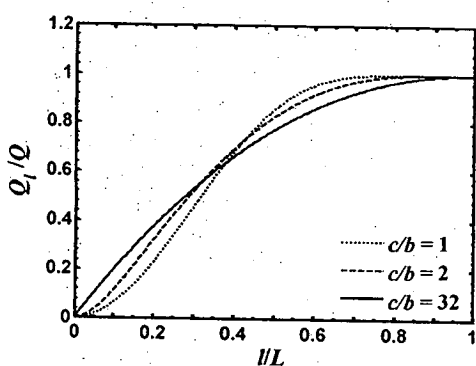
$$\frac{E_{\max}}{E_0} = 1.37 \left( 0.92 + \frac{c}{b} \right)^{\sqrt{3}} \quad (87)$$

สมการเชิงประจักษ์นี้มีรูปแบบที่คล้ายกับการประมาณสนามไฟฟ้า ณ จุดสัมผัสระหว่างทรงกลมด้านหน้าที่ไม่ได้รับการอัดประจุซึ่งวางตัวอยู่บนผิวของจานวงแหวน [46]. ค่าที่ได้จากการประมาณด้วยสมการที่ (87) แสดงด้วยสัญลักษณ์อยู่ในรูปที่ 38 และถูกเปรียบเทียบกับค่าตอบจริงที่ได้จากการคำนวณในตารางที่ 2. เราสามารถเห็นได้จากตารางว่า ความคลาดเคลื่อนของการประมาณต่ำกว่า 1% สำหรับอัตราส่วนความยาวแกนถึง 32.

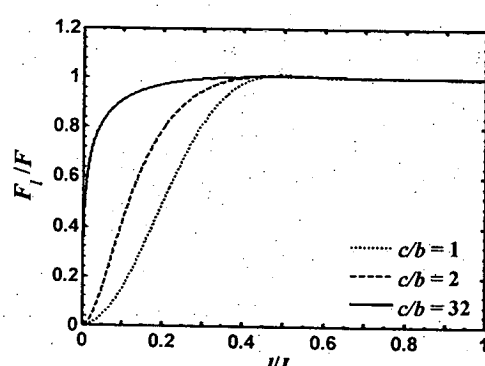
ตารางที่ 2 เปรียบเทียบสนามไฟฟ้าสูงสุดระหว่างค่าที่ได้จากการประมาณเชิงประจักษ์กับค่าตอบจริง

c/b	$E_{\max}/E_0$		ความคลาดเคลื่อน (%)
	คำนวณ	สมการที่ (87)	
1	4.27	4.24	0.71
4	21.7	21.6	0.46
8	60.4	60.6	0.33
16	183	184	0.55
32	587	582	0.85

ประจุหนึ่งยาน่า  $Q_1$  และ แรง  $F_1$  ที่กระทำบนส่วน  $S_1$  ของพื้นผิวของทรงคล้ายทรงกลมแสดงในรูปที่ 39ก และ 39ข เป็นฟังก์ชันของ  $IL/L$ .  $Q_1$  และ  $F_1$  คำนวณได้โดยใช้อินทิกรัลเชิงเลข และทำให้เป็นบรรทัดฐาน ด้วยประจุลัพธ์  $Q$  และแรงไฟฟ้าสถิตลัพธ์  $F$  บนทรงคล้ายทรงกลม ตามสามัญ. ดังแสดงในรูปที่ 39ก ประมาณ 80% ของประจุลัพธ์  $Q$  อาศัยอยู่บนครึ่งบนของทรงกลมและทรงคล้ายทรงกลม. ตัวอย่างเช่น 77% สำหรับ  $c/b = 32$ . สำหรับทรงคล้ายทรงกลมที่มีอัตราส่วน  $c/b$  มากขึ้น สัดส่วนของประจุที่อาศัยบนครึ่งบนของอนุภาคจะมีค่าเพิ่มขึ้นด้วย. จากรูปที่ 39 ซึ่งแสดงการกระจายของแรงไฟฟ้าสถิต เราเห็นได้อย่างชัดเจนว่า แรงที่กระทำบนครึ่งล่างสามารถถะเลี้ยดได้ในเกือบทุกราคาของค่า  $c/b$ . สำหรับทรงคล้ายทรงกลมที่มีค่า  $c/b$  สูง แรงจะรวมอยู่ที่บริเวณขั้วต้านบนของทรงคล้ายทรงกลมเป็นหลัก. เมื่อ  $c/b = 32$  ประมาณ 90% ของแรงลัพธ์กระทำบนพื้นผิว 5% บริเวณขั้วต้านบนของทรงคล้ายทรงกลม ( $IL$  ประมาณ 0.1).



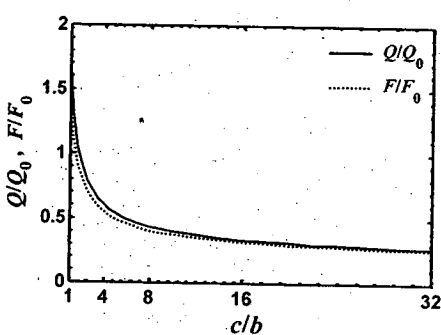
ก. ประจุหนึ่งยาน่า



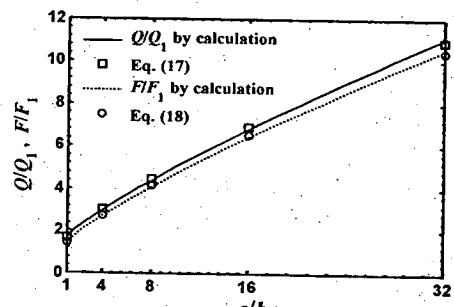
ข. แรงไฟฟ้าสถิต

รูปที่ 39. การกระจายของประจุหนึ่งยาน่าและแรงไฟฟ้าสถิตบนพื้นผิวของทรงคล้ายทรงกลมแบบข้าง

ประจุลัพธ์  $Q$  และ แรง  $F$  บนทรงคล้ายทรงกลมมีขนาดขึ้นอยู่กับพื้นที่ผิวของทรงคล้ายทรงกลม. ผู้วิจัยได้ศึกษาผลของรูปร่างของทรงคล้ายทรงกลมโดยแบ่งเป็นค่าอัตราส่วนความยาวแกน  $c/b$  และเปรียบเทียบ  $Q$  และ  $F$  ระหว่างทรงคล้ายทรงกลมที่มีความยาวแกนเอกเท่ากัน (ให้  $c = c_0$ ) ดังแสดงในรูปที่ 40ก หรือ ระหว่างทรงคล้ายทรงกลมที่มีพื้นที่ผิวเท่ากัน ดังแสดงในรูปที่ 40ข. กรณีพื้นที่ผิวเท่ากันหมายความว่า ทรงคล้ายทรงกลมมีรูปร่างผอมลงและยาวมากขึ้น เมื่อเพิ่มอัตราส่วน  $c/b$ . ในรูปที่ 40 ประจุและแรงถูกทำให้เป็นบรรทัดฐานด้วย  $S_0 = 4\pi c_0^2$  และ  $Q_1 = \varepsilon_E S E_0$ .



ก. ความยาวแกนเอกเดียวกัน



ข. พื้นที่ผิวเท่ากัน

รูปที่ 40. ประจุลัพธ์และแรงไฟฟ้าสถิตบนทรงคล้ายทรงกลมเมื่อเปรียบเทียบภายใต้เงื่อนไขที่ต่างกัน

รูปที่ 40 แสดงให้เห็นว่า สำหรับทรงคล้ายทรงกลมที่มีความยาวแกนเอกเท่ากัน ประจุและแรงลดลง เมื่ออัตราส่วนความยาวแกน  $c/b$  เพิ่มขึ้น. อัตราการลดลงของประจุและแรงเห็นได้อย่างเด่นชัดเมื่อ  $c/b \leq 4$ . ตัวอย่างเช่น ประจุและแรงลดลงประมาณ 60% เมื่อ  $c/b$  เพิ่มจาก 1 ถึง 4. ในรูปที่ 40 สำหรับกรณีที่ทรงคล้ายทรงกล้มมีพื้นที่ผิวเท่ากัน ค่าของประจุและแรงเพิ่มขึ้นตาม  $c/b$  เมื่อทำให้เป็นบรรหัตฐาน. เมื่อ  $c/b$  เพิ่มขึ้นจาก 1 ถึง 8 ประจุและแรง(ที่ทำให้เป็นบรรหัตฐาน)เพิ่มขึ้นประมาณ 2 เท่า. สังเกตว่า ลักษณะสมบัติของประจุและแรงที่ทำให้เป็นบรรหัตฐานมีรูปแบบคล้ายคลึงกันมาก.

จากการคำนวณที่ได้ ผู้วิจัยได้นำเสนอสมการประมาณต่อไปนี้ สำหรับหาค่าประจุและแรงบนทรงคล้ายทรงกลมที่มีอัตราส่วนความยาวแกนระหว่าง 1 ถึง 32.

$$\frac{Q}{Q_1} = 0.917 \left( 1.33 + \frac{c}{b} \right)^{1/\sqrt{2}} \quad (88)$$

$$\frac{F}{F_1} = 0.88 \left( 0.92 + \frac{c}{b} \right)^{1/\sqrt{2}} \quad (89)$$

ค่าประมาณที่ได้จากการด้านบนแสดงอยู่ในรูปที่ 40 ด้วยจุดสัญลักษณ์วงกลมและเส้นเหลี่ยมนบนกราฟ. ตารางที่ 3 แสดงความคลาดเคลื่อนของประจุและแรงที่ได้จากการประมาณ เมื่อเปรียบเทียบกับผลการคำนวณ. เราสามารถเห็นได้จากตารางว่า ความคลาดเคลื่อนของการประมาณน้อยกว่า 2% สำหรับอัตราส่วนความยาวแกน  $c/b$  ที่พิจารณาในที่นี้.

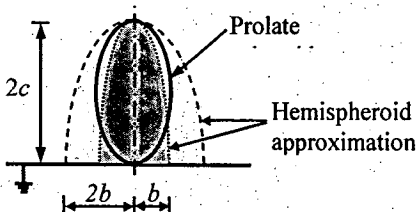
ตารางที่ 3. เปรียบเทียบประจุเหนี่ยวนำและแรงระหว่างค่าที่ได้จากการประมาณกับผลการคำนวณ

$c/b$	$Q/Q_1$		$F/F_1$	
	คำนวณ	ความคลาดเคลื่อน (%)	คำนวณ	ความคลาดเคลื่อน (%)
1	1.65	1.09	1.37	1.90
4	2.98	0.47	2.71	0.18
8	4.38	1.55	4.06	1.85
16	6.81	1.20	6.42	1.25
32	11.1	1.41	10.6	1.78

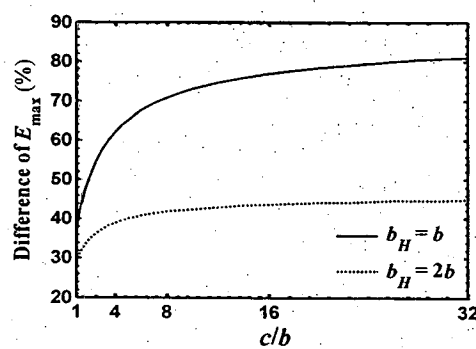
ในงานวิจัยในอดีตที่ผ่านมา [47] ได้มีการวิเคราะห์แรงโดยใช้แบบจำลองครึ่งทรงคล้ายทรงกลมบนระหว่างการวินด์กายได้สามาไฟฟ้า ทั้งในเชิงวิเคราะห์และเชิงเลข. ผลเฉลยแม่นตรงของประจุสำหรับครึ่งทรงคล้ายทรงกลมถูกนำมาเสนอ และเปรียบเทียบกับสมการประมาณ [48]. ในที่นี้ ผู้วิจัยเปรียบเทียบผลการคำนวณที่ได้จากการวิจัยนี้ กับผลการประมาณเมื่อใช้แบบจำลองครึ่งทรงคล้ายทรงกลมดังกล่าว. แบบจำลองสำหรับการประมาณแสดงในรูปที่ 41 โดยทรงคล้ายทรงกลมมีความยาวแกนเอกเท่ากับ  $2c$  โดยพิจารณา ความยาวของรัศมีแกนโท  $b_H$  เป็น 2 กรณี คือ  $b_H = b$  และ  $2b$ . ผู้วิจัยคาดว่า ผลการประมาณในกรณีแรกอาจสามารถใช้ได้หากทรงคล้ายทรงกลมมีลักษณะผ่อน เนื่องจากผลการคำนวณที่ในโครงการวิจัยนี้ได้แสดงว่า สามาไฟฟ้ามีค่าอ้อยมากบนครึ่งล่างของทรงคล้ายทรงกลม.

ความแตกต่างของสามาไฟฟ้าสูงสุด  $E_{max}$  ที่ได้จากการประมาณ เมื่อเทียบกับผลการคำนวณด้วยวิธีเงินสดโดย แสดงอยู่ในรูปที่ 41. สำหรับกรณีที่  $b_H = b$  การประมาณให้ค่าสามาไฟฟ้าสูงสุดมากกว่าค่าจริงเสมอ. ความแตกต่างมีมากกว่า 37% สำหรับทรงคล้ายทรงกลมที่มีอัตราส่วนความยาวแกน  $c/b = 1$  และ ความแตกต่างเพิ่มขึ้นตาม  $c/b$ . ในอีกด้านหนึ่ง เมื่อประมาณโดยใช้  $b_H = b$  ค่าที่ได้จากการประมาณมีขนาดต่ำกว่าค่าจริงเสมอ. ความแตกต่างอยู่ระหว่าง 20% ถึง 40% สำหรับช่วงของ  $c/b$  ที่พิจารณา. ดังนั้น เรา

สามารถสรุปได้ว่า แบบจำลองครึ่งทรงกลมทั้งสองกรณีไม่เหมาะสมต่อการประมาณสนามไฟฟ้าสูงสุด.

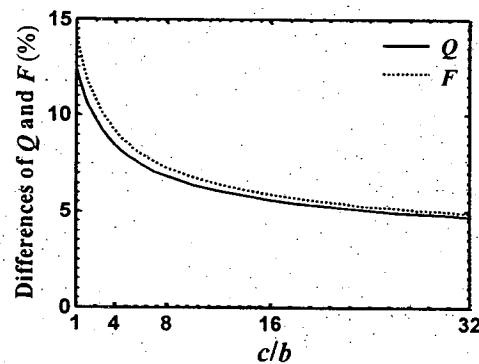


รูปที่ 41. การประมาณด้วยแบบจำลองครึ่งทรงกลัยทรงกลม



รูปที่ 42. ความแตกต่างของสนามไฟฟ้าสูงสุด  $E_{max}$  ที่ได้จากการประมาณด้วยแบบจำลองครึ่งทรงกลัยทรงกลม เมื่อเทียบกับผลการคำนวณ

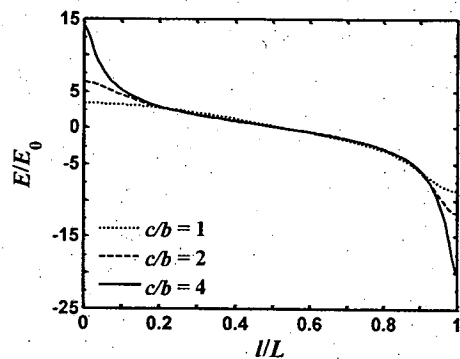
รูปที่ 43 แสดงความแตกต่างของ  $Q$  และ  $F$  จากการประมาณแบบครึ่งทรงกลัยทรงกลม โดยใช้  $b_H = b$ . ความแตกต่างมีค่าน้อยกว่า 15% สำหรับ  $c/b = 1$  และลดลงเมื่ออัตราส่วนความยาวแกนเพิ่มขึ้น. การประมาณนี้ให้ค่าของ  $Q$  และ  $F$  ที่คลาดเคลื่อนน้อยกว่า 10% เมื่อ  $c/b > 3$ . ประจุและแรงที่ได้จากการประมาณ มีขนาดน้อยกว่าผลการคำนวณด้วยวิธีเงามัลติโพล. เป็นที่สังเกตว่า เมื่ออัตราส่วน  $c/b$  เพิ่มขึ้น สนามไฟฟ้าสูงสุดจากการประมาณแตกต่างจากค่าจริงมากขึ้น ตั้งแสดงในรูปที่ 42 แต่ทว่า บริเวณที่สนามไฟฟ้าสูง มีขนาดลดลง. ดังนั้น ความแตกต่างของประจุและแรงที่ได้จากการประมาณ เมื่อเทียบกับผลการคำนวณ จึงลดลงเมื่อ  $c/b$  เพิ่ม ในรูปที่ 43. รายงานโครงการวิจัยนี้ไม่ได้แสดงผลที่ได้จากการประมาณด้วย  $b_H = 2b$  เนื่องจากความคลาดเคลื่อนของประจุและแรงมีค่าสูงมากกว่าในกรณี  $b_H = b$  ที่ได้กล่าวไปมาก.



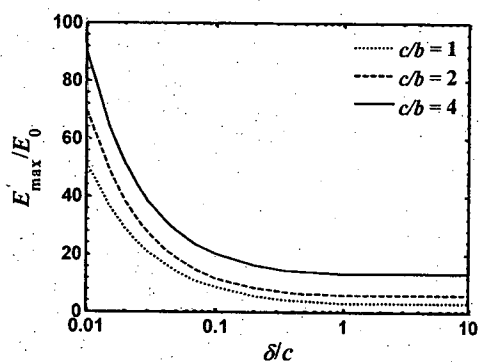
รูปที่ 43. ความแตกต่างของประจุ  $Q$  และแรงไฟฟ้าสถิต  $F$  ที่ได้จากการประมาณด้วยแบบจำลองครึ่งทรงกลัยทรงกลม

### 3.3.3.2 อุณหภูมิสระที่วางแผนตัวอยู่เหนืออิเล็กโตรด

หัวข้อนี้พิจารณาทรงคล้ายทรงกลมที่วางแผนตัวอยู่เหนือระบบการวานตัวยะห์ระยะ  $\delta$  ดังแสดงในรูปที่ 31 ข โดยสมมติให้ทรงคล้ายทรงกลมไม่ได้รับการอัดประจุ สนามไฟฟ้าภายในอกทำให้เกิดความต่างศักย์ระหว่างทรงคล้ายทรงกลมกับระบบการวานต์ เมื่อระยะ  $\delta$  มีขนาดลดลง สนามไฟฟ้าสามารถมีค่าสูงมากได้ ที่บริเวณขั้วด้านล่างของทรงคล้ายทรงกลม รูปที่ 44 แสดงการกระจายของสนามไฟฟ้าตามผิวของทรงคล้ายทรงกลมที่ค่าของอัตราส่วนความยาวแกน  $c/b$  ต่างๆ เมื่อ  $\delta/c = 0.1$  จากรูปเราสามารถเห็นได้ว่า สนามไฟฟ้ามีค่าสูงขึ้นตามอัตราส่วน  $c/b$  สนามไฟฟ้าสูงสุดอยู่ที่ขั้วด้านล่าง ( $l/L = 1$ ) เสมอ รูปที่ 45 แสดงขนาดของสนามไฟฟ้าสูงสุด  $E_{max}$  ที่ขั้วด้านล่างของทรงคล้ายทรงกลม เป็นฟังก์ชันของระยะห่าง  $\delta/c$  ที่ถูกทำให้เป็นบรรทัดฐาน ดังแต่ 0.01 ถึง 10 รูปนี้แสดงว่า สนามไฟฟ้าสูงสุดเพิ่มขึ้นอย่างมาก เมื่อลดค่า  $\delta/c$  จาก 0.1 ถึง 0.01.



รูปที่ 44. การกระจายของสนามไฟฟ้าบนผิวของทรงคล้ายทรงกลมที่มีอัตราส่วนความยาวแกนแตกต่างกัน เมื่อ  $\delta/c = 0.1$



รูปที่ 45. ขนาดสนามไฟฟ้าสูงสุดที่ขั้วด้านล่างเป็นฟังก์ชันของ  $\delta/c$

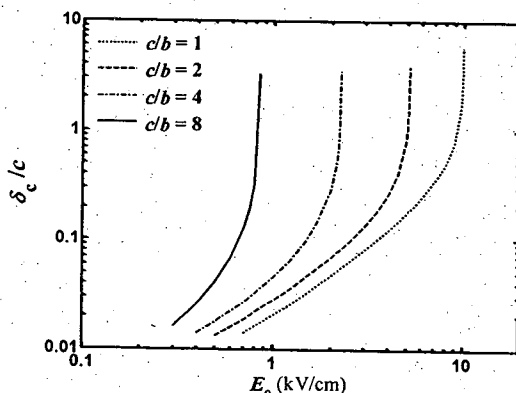
จากที่กล่าวมา เราเห็นได้ว่าสนามไฟฟ้าที่ขั้วด้านล่างของทรงคล้ายทรงกลมนั้นขนาดสูงมาก เมื่อทรงคล้ายทรงกลมที่ไม่ได้รับการอัดประจุอยู่ใกล้กับระบบการวานต์ สนามไฟฟ้าที่สูงมากๆอาจทำให้เกิดdischarge บางส่วนขึ้นที่บริเวณใกล้กับขั้วด้านล่าง สำหรับกรณีของทรงกลม เมื่อไข่จากเกิดdischarge ในแกประว่างอนุภาคกับระบบการวานต์ถูกตรวจสอบโดยใช้เส้นโถงของพาราเซนสำหรับสนามไฟฟ้าส่วนเมือง [49]. อย่างไรก็ตาม สำหรับทรงคล้ายทรงกลม สนามไฟฟ้ามีลักษณะไม่สม่ำเสมอสูงในแกประวาก การใช้เงื่อนไขตามเส้น

โคลงของพาราเซนอาจไม่เหมาะสมในการกำหนดแรงดันเริ่มต้นของแกป. ในที่นี้ ผู้วิจัยได้ประมาณเงื่อนไขการเกิดติดสิชาร์จในแกปอากาศ โดยเปรียบเทียบสนามไฟฟ้าสูงสุด  $E_{max}$  บนผิวของทรงกลมลักษณะทรงกลม กับค่าสนามไฟฟ้าวิกฤต  $E_c$  ของตัวกลาง โดยมีวัตถุประสงค์เพื่อดูลักษณะการแปรผันของระยะห่างวิกฤต  $\delta/c$  ของอนุภาคที่จะกระตุ้นให้เกิดติดสิชาร์จบางส่วนขึ้น.

ตัวอย่างเช่น เราอาจใช้สนามไฟฟ้าวิกฤต  $E_c = 30 \text{ kV/m}$  สำหรับกรณีที่ตัวกลางล้อมรอบเป็นอากาศณ สภาวะบรรยายกาศ. รูปที่ 46 แสดงความสัมพันธ์ระหว่างระยะห่างวิกฤต  $\delta/c$  ที่ทำให้เกิดติดสิชาร์จบางส่วนภายในไฟฟ้าภายนอกขนาดระหว่าง  $0.1 \text{ kV/cm}$  ถึง  $10 \text{ kV/cm}$  สำหรับทรงกลมแบบข้างที่มีอัตราส่วนความยาวแกน  $c/b = 1, 2, 4$  และ  $8$ . แน่นอนว่า เมื่อ  $E_0$  ลดลง ค่าของ  $\delta_c$  จะลดลงตามด้วย. สำหรับ  $\delta/c > 1$  ผลของระบบการวินิจฉัยสามารถลดลงได้. ดังนั้น สนามไฟฟ้าภายนอกที่ทำให้เกิดติดสิชาร์จจึงไม่ค่อยขึ้นกับ  $\delta_c$ . สำหรับอัตราส่วน  $\delta_c$  ที่มีค่าต่ำลง ความสัมพันธ์ในรูปที่ 46 อาจประมาณเป็นเชิงเส้นบนกราฟสเกลลอกการทิม. นั่นคือ

$$\frac{\delta_c}{c} \propto E_0^k \quad (90)$$

โดยที่  $k = 1.16, 1.19, 1.21$  และ  $1.59$  สำหรับ  $c/b = 1, 2, 4$  และ  $8$  ตามลำดับ. ในกรณีของตัวกลางพื้นหลังชนิดอื่น เรายสามารถปรับรูปที่ 46 ได้ โดยเปลี่ยนมาตราส่วนของแกนบนด้วยอัตราส่วนของสนามไฟฟ้าวิกฤต  $E_c$  ของตัวกลางนั้น เมื่อเทียบกับสนามไฟฟ้าวิกฤตของอากาศ. ตัวอย่างเช่น  $E_0$  ในรูปจะถูกปรับเป็น  $9$  เท่า เมื่อตัวกลางที่พิจารณาเป็น  $SF_6$  ที่ความดัน  $0.3 \text{ MPa}$  ซึ่ง  $E_c$  มีขนาดเท่ากับ  $270 \text{ kV/cm}$ . ลังเกตด้วงการประมาณเงื่อนไขการเกิดติดสิชาร์จด้วย  $E_c$  ในที่นี้ ไม่ได้คำนึงถึงกลไกการเกิดติดสิชาร์จทางกายภาพอื่นๆ. ในกรณีที่แกปมีขนาดเล็กมากๆ กระบวนการการติดสิชาร์จในระดับไมโครอาจมีบทบาทสำคัญในการกำหนดการเริ่มเกิดติดสิชาร์จของกําชตัวกลางได้.



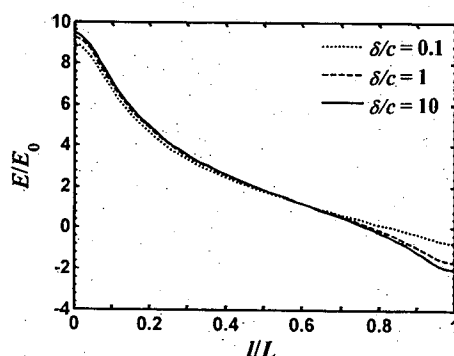
รูปที่ 46. ความสัมพันธ์ระหว่างระยะห่างวิกฤตสำหรับการเริ่มเกิดติดสิชาร์จ และสนามไฟฟ้าภายนอก สำหรับทรงกลมลักษณะที่มีอัตราส่วนความยาวแกนต่างๆ

### 3.3.3.3 อนุภาคอัดประจุที่วางตัวอยู่เหนือนอกอิเล็กโทรด

หัวข้อนี้นำเสนอผลการวิเคราะห์ในการจัดเรียงที่ทรงกลมอยู่เหนือระหว่างทรงกลม โดยพิจารณากรณีที่ทรงกลมลักษณะที่ได้รับการอัดประจุ. ในทางปฏิบัติ ประจุที่เกิดขึ้นบนอนุภาคอาจเป็นผลของ การสัมผัสระหว่างทรงกลมกับอิเล็กโทรด หรืออาจเกิดจากติดสิชาร์จที่เกินประวัติการวินิจฉัยกับ ขั้วต้านล่างของทรงกลม ดังที่ได้อธิบายในหัวข้อที่ผ่านมา. ที่ระยะห่าง  $\delta$  ค่าหนึ่ง สนามไฟฟ้าและแรงแปรผันขนาด(และขั้ว)ของประจุบนทรงกลมลักษณะที่ได้รับการอัดประจุเต็ม

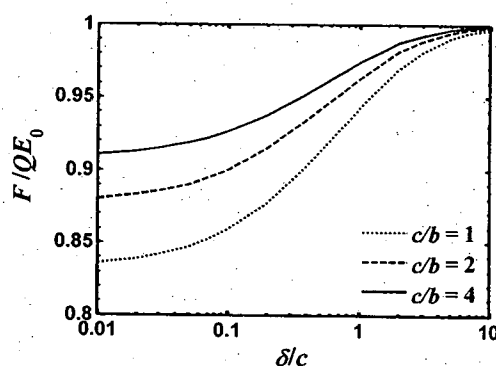
จำนวนเท่ากับ  $Q$  ซึ่งเป็นประจุหนี่ยวนำลัพธ์ที่เกิดขึ้นเมื่อทรงคล้ายทรงกลมสัมผัสกับระนาบอิเล็กโตรด. ค่าของประจุ  $Q$  เป็นไปตามอัตราส่วนความยาวแกน ดังที่แสดงไว้แล้วในหัวข้อที่ 3.3.3.1.

รูปที่ 47 แสดงตัวอย่างของการกระจายสนามไฟฟ้าตามผิวของทรงคล้ายทรงกลมที่มีอัตราส่วนความยาวแกน  $c/b = 2$ . จากรูปความสามารถเห็นได้อย่างชัดเจนว่า ขนาดของสนามไฟฟ้าที่บริเวณขั้วด้านล่างเพิ่มขึ้นตาม  $\delta$ . การเพิ่มขึ้นของสนามไฟฟ้าแสดงให้เห็นว่ามีการจัดเรียงประจุใหม่บนผิวของทรงคล้ายทรงกลม เมื่อระบบห่างเปลี่ยนแปลงไป. อย่างไรก็ตาม สนามไฟฟ้าบริเวณครึ่งบนของทรงคล้ายทรงกลมมีการเปลี่ยนแปลงตาม  $\delta$  เพียงเล็กน้อยเท่านั้น. สนามไฟฟ้าสูงสุดอยู่ที่ขั้วด้านบนของอนุภาค ซึ่งคล้ายคลึงกันในการจัดเรียงของทรงคล้ายทรงกลมที่ถูกต่อลงตินในหัวข้อที่ 3.3.3.1 เนื่องจากสนามไฟฟ้าที่เกิดจากประจุ  $Q$  มีทิศทางเดียวกับ  $E_0$  ที่ขั้วด้านบน แต่มีทิศทางตรงกันข้ามกับ  $E_0$  ที่ขั้วด้านล่าง.



รูปที่ 47. การกระจายของสนามไฟฟ้าบนทรงคล้ายทรงกลมที่ถูกอัดประจุเต็มที่ ในกรณีของ  $c/b = 2$

รูปที่ 48 แสดงแรงไฟฟ้าสถิตที่กระทำกับทรงคล้ายทรงกลม เมื่อระยะห่าง  $\delta/c$  แบรค่าตั้งแต่ 0.01 ถึง 10. แรงในรูปถูกทำให้เป็นบรรทัดฐานด้วย  $QE_0$ . รูปที่ 48 และแสดงให้เห็นเป็นอย่างว่า แรงที่ถูกทำให้เป็นบรรทัดฐานเพิ่มขึ้นตาม  $\delta/c$  และมีขนาดสูงขึ้นบนทรงคล้ายทรงกลมที่มีอัตราส่วนความยาวแกน  $c/b$  มากกว่า. แรงไฟฟ้าสถิตมีขนาดลูซึ่ง  $QE_0$  เมื่อ  $\delta/c \geq 10$ . นั่นคือ เราสามารถละเลยผลของระบบได้.

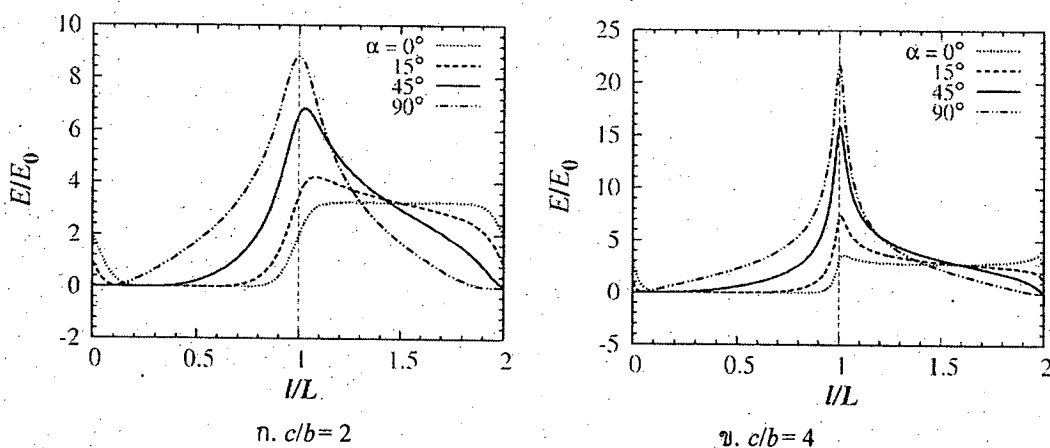


รูปที่ 48. แรงไฟฟ้าสถิตบนทรงคล้ายทรงกลมที่ถูกอัดประจุเต็มที่ แสดงเป็นฟังก์ชันของ  $\delta/c$

### 3.3.4 ผลการวิเคราะห์ในการจัดเรียงแบบ 3 มิติ

#### 3.3.4.1 การกระจายของสนามไฟฟ้า

รูปที่ 49ก และ 49ข แสดงการกระจายของสนามไฟฟ้าตามแนวเส้น  $\eta_0$  (ผิวของทรงคล้ายทรงกลม) บนระนาบ  $y = 0$  เมื่อมุมเอียงระหว่างทรงคล้ายทรงกลมกับระนาบกราเวนด์  $\alpha = 0^\circ, 15^\circ, 45^\circ$  และ  $90^\circ$  สำหรับทรงคล้ายทรงกลมที่มีอัตราส่วนความยาวแกน  $c/b = 2$  และ 4. เช่นเดียวกับในหัวข้อที่ 3.3.3 สนามไฟฟ้าถูกแสดงเป็นพังก์ชันของความยาวตามแนวเส้นโดยที่ถูกทำให้เป็นบรรทัดฐาน  $\|L$ . สำหรับกรณี  $c/b = 2$  ในรูปที่ 49ก เมื่อมุม  $\alpha = 0^\circ$  สนามไฟฟ้ามีขนาดสม่ำเสมอโดยประมาณช่วงกว้างของ  $\|L$ . เมื่อมุม  $\alpha$  มีขนาดเพิ่มขึ้น การกระจายสนามไฟฟ้ามีลักษณะไม่สม่ำเสมอมากขึ้นบนแนวเส้นที่พิจารณา. สนามไฟฟ้าสูงสุด  $E_{max}$  เพิ่มขึ้น และมีตำแหน่งใกล้กับขั้วนของอนุภาค. สำหรับกรณีที่ทรงคล้ายทรงกล้มมีอัตราส่วนความยาวแกนเพิ่มขึ้น  $c/b = 4$  ในรูปที่ 49ข สนามไฟฟ้ามีพฤติกรรมใกล้เคียงกันกับรูปที่ 49ก แต่มีลักษณะความไม่สม่ำเสมอมากขึ้น. เมื่อเปรียบเทียบกันแล้ว สนามไฟฟ้าสูงสุด  $E_{max}$  มีค่าสูงกว่าค่าในรูปที่ 49ก หากที่ค่ามุมเอียง  $\alpha$  เดียวกัน. ตำแหน่งของสนามไฟฟ้าสูงสุดในรูปที่ 49ข สามารถเห็นได้อย่างชัดเจนแม้แต่ในกรณีที่มุม  $\alpha = 0^\circ$ .

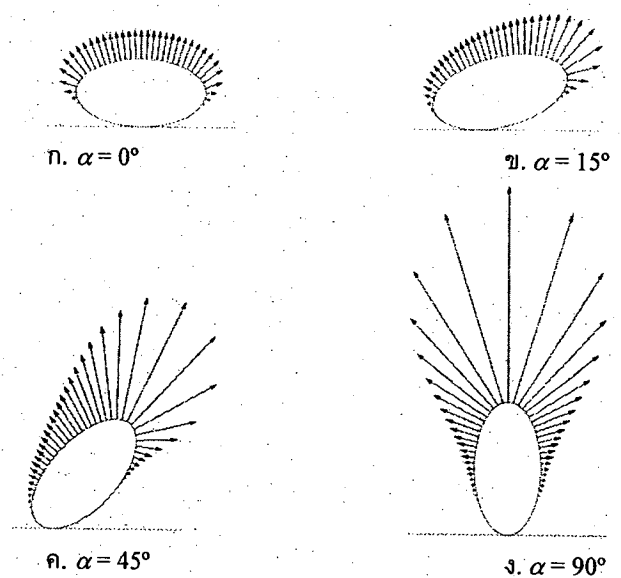


รูปที่ 49. การกระจายของสนามไฟฟ้าตามแนวเส้น  $\eta_0$  บนระนาบ  $y = 0$  ที่มุม  $\alpha$  ค่าต่างๆ

#### 3.3.4.2 แรงไฟฟ้าสถิต

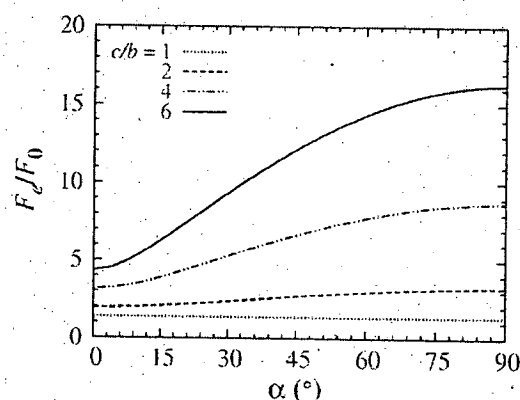
แรงไฟฟ้าสถิต  $F_e$  ที่ทำกับอนุภาคทรงคล้ายทรงกลมในรูปที่ 32 มีทิศทางในแนวขึ้นจากระนาบกราเวนด์เสมอ. ขนาดของแรง  $F_e$  ขึ้นอยู่กับขนาดของพื้นที่ผิวของทรงคล้ายทรงกลม. เพื่อที่จะตรวจสอบผลของรูปร่างทรงคล้ายทรงกลม ในหัวข้อนี้เราจะพิจารณาทรงคล้ายทรงกลมที่มีขนาดของรัศมีในแนวแกนใหญ่กัน  $b = b_0$  และแปรค่าอัตราส่วนความยาวแกน  $c/b$ .

รูปที่ 50 แสดงความเค้นไฟฟ้าสถิตตามแนวเส้น  $\eta_0$  บนระนาบ  $y = 0$  เมื่อ  $\alpha = 0^\circ, 15^\circ, 45^\circ$  และ  $90^\circ$  บนทรงคล้ายทรงกลมที่มีอัตราส่วน  $c/b = 2$ . ความเค้นไฟฟ้าสถิตถูกแสดงด้วยวงเดือรร์ที่มีมาตรฐานความยาวเดียวกันตลอดรูปที่ 50ก ถึง 50ง. รูปที่ 50 ระบุว่า แรงไฟฟ้าสถิตบนทรงคล้ายทรงกลมถูกกำหนดด้วยความเค้นบนผิวครึ่งบนของทรงคล้ายทรงกลม. ความเค้นจะรวมอยู่ใกล้กับขั้วนบนของทรงคล้ายทรงกลมเมื่อ  $\alpha > 0^\circ$ . รูปที่ 50ข และ 50ค แสดงเป็นนัยว่า แรงไฟฟ้าสถิตทำให้เกิดแรงบิดบนทรงคล้ายทรงกลมรอบจุดสัมผัส ในทิศทางที่จะเพิ่มขนาดมุม  $\alpha$ .



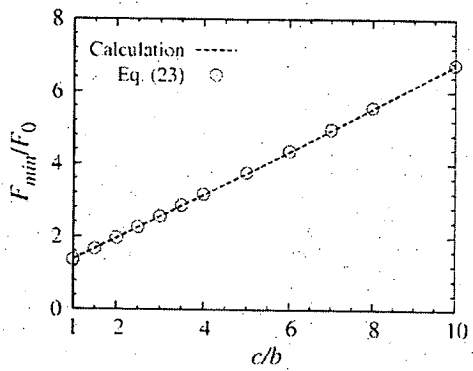
รูปที่ 50. ความเค้นไฟฟ้าสถิตตามแนวเส้น  $\theta$  บนระนาบ  $y=0$  ที่มุม  $\alpha$  ค่าต่างๆ บนทรงกล้องที่มีอัตราส่วน  $c/b = 2$

รูปที่ 51 แสดงแรงไฟฟ้าสถิต  $F_e$  ที่ถูกทำให้เป็นบรรทัดฐาน บนทรงกล้องที่มีอัตราส่วน  $c/b = 1, 2, 4$  และ  $6$  เป็นฟังก์ชันของมุมเอียง  $\alpha$  โดยตัวประกอบของแรงคือ  $F_0 = 4\pi\epsilon_0 b_0^2 E_0^2$ . ดังแสดงในรูปที่ 51. ณ มุมเอียงค่านึงๆ แรงมีขนาดเพิ่มขึ้นตามขนาดของอัตราส่วนความยาวแกน  $c/b$  นั่นคือ เพิ่มขึ้นเมื่อทรงกล้องที่มีความยาวมากขึ้น. แรงบนทรงกล้องมีค่าต่ำที่สุดเมื่อ  $\alpha = 0^\circ$  และมีเพิ่มขึ้นอย่างไม่เป็นเชิงเส้นเข้าสู่ค่าสูงสุดที่มุม  $\alpha = 90^\circ$ .

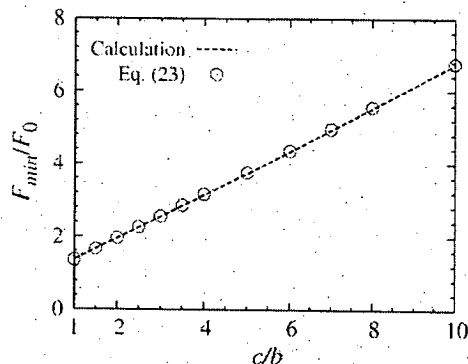


รูปที่ 51. แรงไฟฟ้าสถิตบนทรงกล้องที่มีความยาวรัศมีแกนໂ拓เท่ากันเป็นฟังก์ชันของมุมเอียง  $\alpha$

รูปที่ 52ก และ 52ข แสดงขนาดต่ำที่สุด  $F_{min}$  ของแรงไฟฟ้าสถิต เมื่อ  $\alpha = 0^\circ$  และขนาดสูงสุด  $F_{max}$  ของแรงเมื่อ  $\alpha = 90^\circ$  เป็นความสัมพันธ์กับอัตราส่วนความยาวแกน  $c/b$  จาก  $1$  ถึง  $10$ . ขนาดต่ำสุดของแรงในรูปที่ 52ก เพิ่มขึ้นเป็นเชิงเส้นตาม  $c/b$ . ในอีกด้านหนึ่ง ขนาดสูงสุดของแรงในรูปที่ 52ข แสดงบนสเกลลอการิtm เนื่องจาก  $F_{max}$  เพิ่มขนาดขึ้นอย่างมากเมื่ออัตราส่วนความยาวแกนเพิ่มขึ้น.



ก. ขนาดแรงต่ำสุด



ข. ขนาดแรงสูงสุด

รูปที่ 52. การเปรียบเทียบของขนาดแรงต่ำสุดและสูงสุดกับอัตราส่วนความยาวแกน  $c/b$  บนทรงกลมลักษณะวงกลมที่มีรัศมีในแนวแกนโดยเท่ากัน.

ขนาดของแรงต่ำสุดและสูงสุดอาจประมาณได้จากผลการคำนวณ โดยใช้การปรับเส้นโค้ง (Curve fitting) ซึ่งได้สมการประมาณดังต่อไปนี้

$$\frac{F_{\min}}{F_0} = 0.6 \frac{c}{b} + 0.76 \quad (91)$$

$$\frac{F_{\max}}{F_0} = 0.63 \left( \frac{c}{b} + 0.58 \right)^{\sqrt{3}} \quad (92)$$

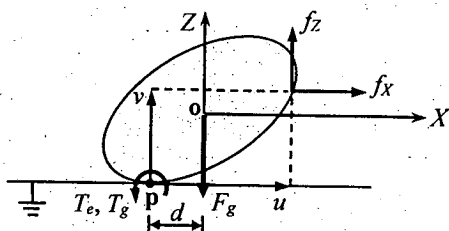
ค่าที่ประมาณได้จากสมการทั้งสองแสดงด้วยสัญลักษณ์ในรูปที่ 52. สมการการประมาณนี้ให้ค่าแรงที่มีความคลาดเคลื่อนน้อยกว่า 1% สำหรับทรงกลมแบบข้างที่มีอัตราส่วนความยาวแกนระหว่าง 1 ถึง 10.

### 3.3.4.3 แรงบิดไฟฟ้าสถิต

แรงบิดไฟฟ้าสถิต  $T_e$  บนทรงกลมลักษณะวงกลม รอบจุดสัมผัส  $p$  หาได้จากการคำนวณตามสมการ

$$T_e = \iint_S (-vf_X + vf_Z) dS \quad (93)$$

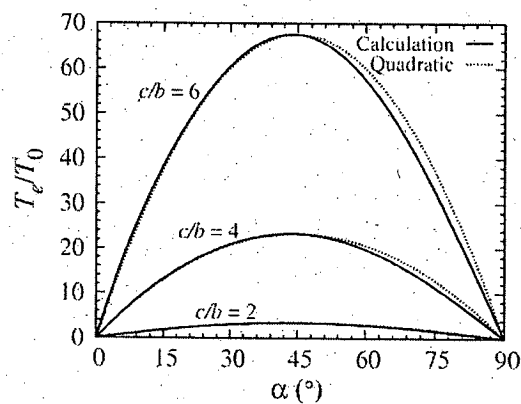
โดยที่ดัชนีล่าง  $X$  และ  $Z$  ระบุองค์ประกอบของ  $f$  และ  $(u, v)$  เป็น พิกัด  $(X, Z)$  สัมพัทธ์กับจุดสัมผัส  $p$  ดังแสดงในรูปที่ 53. แรงบิดตามสมการอ้างอิงเครื่องหมายเป็นบวกในทิศทาง  $+x$ .



รูปที่ 53. การคำนวณแรงบิดบนทรงกลมลักษณะวงกลม

รูปที่ 54 แสดงแรงบิดบนทรงกลมลักษณะวงกลมซึ่งมีรัศมีในแนวแกนโดยเท่ากัน ( $= b_0$ ) เป็นพังก์ชันของ  $\alpha$  สำหรับอัตราส่วนความยาวแกน  $c/b = 2, 4$  และ  $6$ . แรงบิดไฟฟ้าสถิต  $T_e$  ถูกทำให้เป็นบรรหัดฐานด้วย  $T_0 =$

$F_{0b0}$ ,  $T_e$  เป็นคุณย์ที่  $\alpha = 0^\circ$  และ  $90^\circ$  เนื่องจากลักษณะさまาร์ตของการจัดเรียงในรูปที่พิจารณา. รูปที่ 55 แสดงให้เห็นว่า  $T_e$  มีค่าเป็นวงกลมลดลงช่วง  $\alpha$  ระหว่าง  $0^\circ$  ถึง  $90^\circ$  นั่นคือ มีทิศทางเพิ่มขึ้นตามมุม  $\alpha$ . ขนาดสูงสุดของแรงบิด  $T_e$  เกิดขึ้นที่  $\alpha$  ประมาณ  $45^\circ$ . ความสัมพันธ์แบบกำลังสองถูกแสดงในรูปที่ 54 เพื่อเปรียบเทียบกับผลการคำนวณที่ได้. เราเห็นได้ว่า มีความแตกต่างระหว่างผลการคำนวณกับความสัมพันธ์แบบกำลังสองเพียงเล็กน้อยที่  $\alpha > 45^\circ$ . เมื่อเปรียบเทียบระหว่างทรงคล้ายทรงกลมที่มีอัตราส่วนความยาวแกนต่างกัน เราเห็นได้ว่า ที่มุมเอียง  $\alpha$  เดียวกัน แรงบิดไฟฟ้าสถิตมีขนาดมากกว่าบนทรงคล้ายทรงกลมที่มี  $c/b$  สูงกว่า.

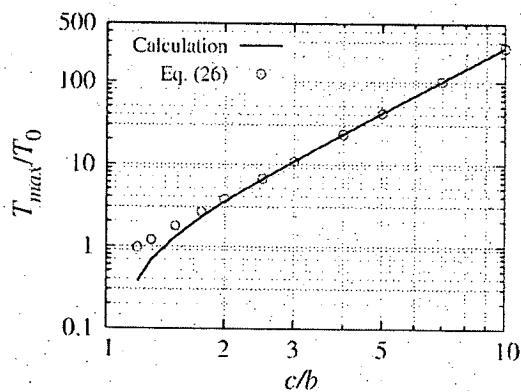


รูปที่ 54. แรงบิดไฟฟ้าสถิตบนทรงคล้ายทรงกลมเป็นพังก์ชันของมุมเอียง  $\alpha$ .

รูปที่ 55 แสดงการแปรผันของขนาดแรงบิดสูงสุด  $T_{max}$  กับอัตราส่วน  $c/b$  ระหว่าง 1 ถึง 10. เมื่อ  $c/b \geq 2$  เราอาจประมาณ  $T_{max}$  ด้วยสมการ

$$T_{max}/T_0 \approx 0.6(c/b)^{2.6} \quad (93)$$

ค่าที่ได้จากการประมาณและเปรียบเทียบกับผลการคำนวณในรูปที่ 55.



รูปที่ 55. แรงบิดไฟฟ้าสถิตสูงสุดบนทรงคล้ายทรงกลมที่มีความยาวแกน  $c/b$  ต่างกัน

### 3.3.4.4 พฤติกรรมทางกลศาสตร์ไฟฟ้าเมื่อคิดผลของแรงโน้มถ่วง

ในทางปฏิบัติ อนุภาคไม่ได้รับเฉพาะแรงไฟฟ้าสถิต แต่ยังมีแรงโน้มถ่วงกระทำกับอนุภาคด้วย. ในหัวข้อนี้ ผู้อ่านต้องทราบถึงทางกลศาสตร์ไฟฟ้าของตัวนำทรงคล้ายทรงกลมแบบข้างใน การจัดเรียงรูปที่ 32 เมื่อแรงโน้มถ่วง  $F_g$  ถูกนำมาพิจารณาด้วย. แรง  $F_g$  ไม่ได้เพียงแค่บังคับทรงคล้ายทรงกลมจากการเคลื่อนที่

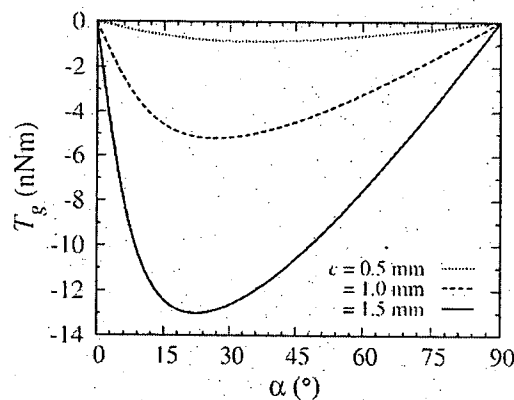
ขึ้นจากระนาบอิเล็กโตรดเท่านั้น แต่ยังมีผลทำให้เกิดแรงบิด  $T_g$  ด้วย. สำหรับมุม  $\alpha = 0^\circ$  หรือ  $\alpha = 90^\circ$  แรงคล้ายทรงกลมจะถูกยกจากระนาบราวน์โดยปราศจากการหมุน ถ้าหากแรง  $F_e$  มีขนาดมากกว่า  $F_g$  สำหรับมุม  $\alpha$  ค่าอื่น พฤติกรรมการเคลื่อนที่ของอนุภาคมีลักษณะซับซ้อนมากขึ้น เนื่องจากมีแรงบิดลัพธ์  $T_{tot}$  กระทำกับอนุภาค ซึ่งรวมถึงแรงบิดเนื่องจากแรงโน้มถ่วง. สังเกตว่า แรงระหว่างอนุภาคกับระนาบราวน์กระทำที่จุดสัมผัส  $p$  จึงไม่ทำให้เกิดแรงบิดรอบจุด  $p$ .

แรงบิด  $T_g$  เนื่องจากแรงโน้มถ่วง คำนวณได้จาก

$$T_g = -F_g d \quad (94)$$

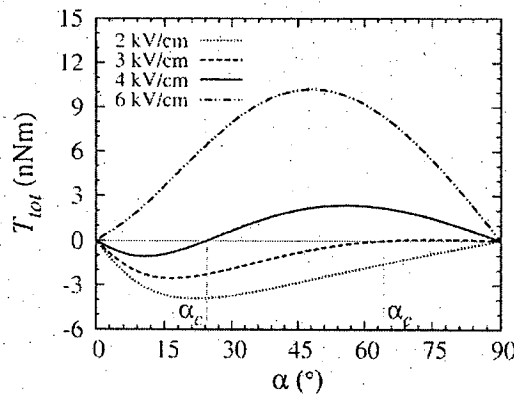
ซึ่งอยู่ในทิศทางตรงกันข้ามกับแรงบิดไฟฟ้าสถิต  $T_e$ .

เราพิจารณากรณีของอนุภาคอลูมิเนียมรูปทรงคล้ายทรงกลมแบบข้างเป็นตัวอย่าง โดยให้อนุภาคมีรัศมีเท่ากัน  $b = 0.25 \text{ mm}$  ในแนวแกนโถ และมีรัศมี  $c$  ในแนวแกนเอกสารต่างกัน. ความหนาแน่นของอลูมิเนียมมีค่าประมาณ  $2700 \text{ kg/m}^3$ . รูปที่ 56 แสดงแรงบิด  $T_g$  บนอนุภาคอลูมิเนียมเป็นฟังก์ชันของมุมเอียง  $\alpha$  สำหรับอนุภาคที่มีรัศมีในแนวแกนเอกสารเท่ากับ  $0.5, 1.0$  และ  $1.5 \text{ mm}$ . เนื่องจาก  $F_g$  มีค่าคงที่สำหรับอนุภาคหนึ่งๆ ขนาดของ  $T_g$  จะเป็นไปตามค่าระยะ  $d$  ซึ่งนิยามไว้ในสมการที่ (60). เราสามารถเห็นได้จากรูปที่ 56 ว่า  $T_g$  เพิ่มขึ้น เมื่อมุมเอียง  $\alpha$  เพิ่มจาก  $0^\circ$  และมีค่าสูงสุดที่มุมเอียงต่ำกว่า  $45^\circ$ . หลังจากนั้น  $T_g$  ลดลงเป็นศูนย์ที่  $90^\circ$ . แรงบิดสูงสุดของ  $T_g$  ลดลงเมื่อความยาวของอนุภาคเพิ่มขึ้น.



รูปที่ 56. แรงบิดเนื่องจากแรงโน้มถ่วงบนอนุภาคอลูมิเนียมที่มี  $b = 0.25 \text{ mm}$ .

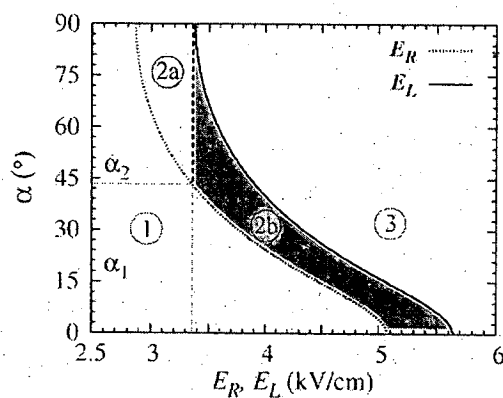
รูปที่ 57 แสดงแรงบิดรวม  $T_{tot} (= T_e + T_g)$  บนอนุภาคอลูมิเนียมที่มี  $b = 0.25 \text{ mm}$  และ  $c = 1 \text{ mm}$  ภายใต้สถานภาพไฟฟ้า  $E_0 = 2, 3, 4$  และ  $6 \text{ kV/cm}$ . เมื่อสถานภาพไฟฟ้ามีค่าต่ำ ( $E_0 = 2 \text{ kV/cm}$ ) แรงบิด  $T_g$  เนื่องจากแรงโน้มถ่วงมีขนาดมากกว่าแรงบิดไฟฟ้าสถิต  $T_e$  หาก ทำให้เกิดแรงบิดลัพธ์มีค่าเป็นลบ. นั่นคือ แรงบิดลัพธ์อยู่ในทิศทางลดขนาดมุม  $\alpha$ . ในทางกลับกัน เมื่อสถานภาพไฟฟ้ามีค่าสูง ( $E_0 = 6 \text{ kV/cm}$ ) แรงไฟฟ้าสถิต  $T_e$  มีขนาดเด่นกว่า และแรงบิดลัพธ์  $T_{tot}$  มีค่าเป็นบวกในช่วง  $0^\circ < \alpha < 90^\circ$ . สำหรับสถานภาพไฟฟ้าที่มีขนาดปานกลาง  $T_{tot}$  มีค่าเป็นลบที่มุมเอียง  $\alpha$  ขนาดเล็ก และกลายเป็นค่านากเมื่อ  $\alpha$  มีค่าสูงกว่ามุมเอียงวิกฤต  $\alpha_c$ . มุมเอียงวิกฤตในรูปที่ 57 มีขนาดลดลง เมื่อสถานภาพไฟฟ้าภายนอก  $E_0$  เพิ่มขนาดขึ้นจาก 3 เป็น 4  $\text{kV/cm}$ .



รูปที่ 57. แรงบิดลัพธ์บนอนุภาคอลูมิเนียมที่มี  $b = 0.25 \text{ mm}$  และ  $c = 1 \text{ mm}$  เป็นฟังก์ชันของมุมอีียง  $\alpha$  ภายใต้สนามไฟฟ้า  $E_0$  ค่าต่างๆ.

จากการวิเคราะห์ได้กล่าวมา เราสามารถสรุปได้ว่า สำหรับมุม  $0^\circ < \alpha < 90^\circ$  อนุภาคด้านนำทรงคล้ายทรงกลมแบบนี้จะได้รับ (ก) แรงบิดลัพธ์ของจุดสมผัส ซึ่งมีทิศทางขึ้นอยู่กับความเข้มสนามไฟฟ้าภายนอก และ (ข) แรงยกอนุภาค ถ้าสนามไฟฟ้ามีขนาดมากเพียงพอ. รูปที่ 58 แสดงสนามไฟฟ้าวิกฤต  $E_R$  และ  $E_L$  สำหรับมุม ( $T_{tot} = 0$ ) และยกอนุภาค ( $F_e = F_g$ ) ขึ้นจากระนาบกราวน์ สำหรับอนุภาคที่มี  $b = 0.25 \text{ mm}$  และ  $c = 1 \text{ mm}$ . เมื่อสมมติให้อนุภาคอลูมิเนียมอยู่ที่มุมเริ่มต้น  $\alpha_0$  ซึ่งอาจเกิดการสั่นไหวทางกล หรือการเคลื่อนไหวของอุปกรณ์ในระบบจำนวน ลักษณะสมบัติทางกลศาสตร์ไฟฟ้าของอนุภาคอาจแบ่งออกได้เป็น 3 รูปแบบ ดังต่อไปนี้

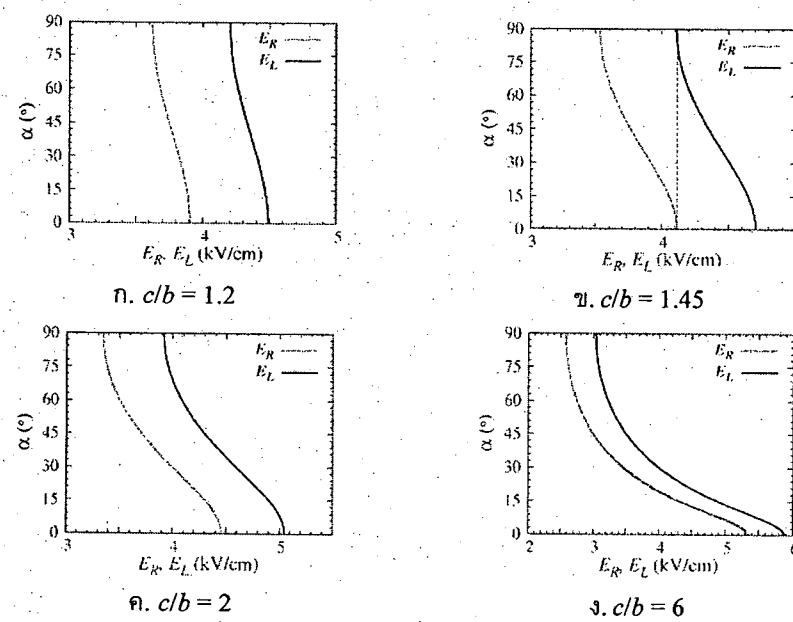
1. เมื่อ  $E_0 < E_R(\alpha_0)$  อนุภาคหมุนด้วยแรงบิด  $T_{tot}$  กลับไปสู่การจัดเรียงแนวโน้มบนระนาบ  $\alpha = 0^\circ$ .
2. เมื่อ  $E_R(\alpha_0) < E_0 < E_L(\alpha_0)$  แรงบิด  $T_{tot}$  หมุนอนุภาคให้มุ่ง เพิ่มขึ้น  $\alpha$  โดย
  - 2a. หาก  $E_0 < E_L(90^\circ)$  อนุภาคจะยืนตั้งบนระนาบ ( $\alpha = 90^\circ$ ) โดยไม่ยกตัวจากระนาบ.
  - 2b. หาก  $E_0 > E_L(90^\circ)$  อนุภาคจะหมุนและยกตัวขึ้นจากระนาบ.
3. เมื่อ  $E_0 > E_L(\alpha_0)$  อนุภาคถูกยกตัวจากระนาบ และอาจแสดงการหมุนด้วย เนื่องจาก  $E_0 > E_R(\alpha_0)$  เช่นกัน.



รูปที่ 58. สนามไฟฟ้าวิกฤต  $E_R$  สำหรับการหมุน และ  $E_L$  สำหรับการยกอนุภาคที่มี  $b = 0.25 \text{ mm}$  และ  $c = 1 \text{ mm}$

รูปแบบของพฤติกรรมทางกลศาสตร์ไฟฟ้าทั้งสามระบุอยู่ในรูปที่ 58 ตามอักษรที่กำกับไว้ในวงกลม. สังเกตว่า อนุภาคอาจหมุนออกจากตำแหน่งนอน ( $\alpha = 0^\circ$ ) ด้วยการรับแรงทางกลน้อยยิ่งได้ หาก  $E_0 > E_R(0^\circ)$

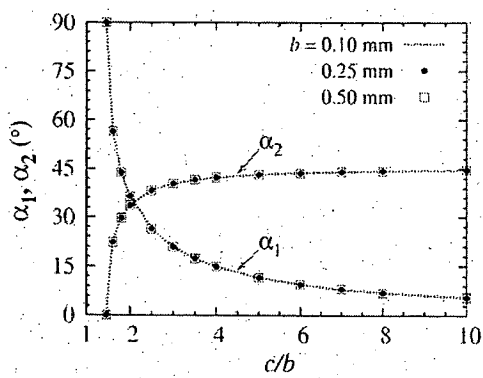
ซึ่งทำให้  $dT_{\alpha}/d\alpha > 0$ . ยิ่งไปกว่านี้ ถ้า  $E_R(0^\circ)$  มีขนาดมากกว่า  $E_L(90^\circ)$  อนุภาคจะถูกยกขึ้นจากอิเล็กโตรด เมื่อ  $\alpha$  เพิ่มขึ้นถึงมุมวิกฤตค่าหนึ่งระหว่าง 0 และ  $\alpha_1$  ซึ่ง  $E_L(\alpha_1) = E_R(0^\circ)$ . สังเกตว่า สนามไฟฟ้าค่าต่ำที่สุดที่สามารถยกอนุภาคขึ้นจากอนุภาคได้ คือ  $E_L(90^\circ)$ . ลักษณะสมบัติของ  $E_R$  และ  $E_L$  ที่ได้แสดงเป็นนัยว่า ค่าสนามไฟฟ้าต่ำที่สุดนี้จะยกอนุภาคขึ้นได้ ก็ต่อเมื่อมุมเริ่มต้นของอนุภาค  $\alpha_1 > \alpha_2$  เมื่อ  $E_R(\alpha_2) = E_L(90^\circ)$ . รูปที่ 58 แสดงค่ามุมวิกฤต  $\alpha_1$  และ  $\alpha_2$  สำหรับอนุภาคอลูมิเนียมที่มีขนาดครั้งมี  $b = 0.25$  mm และ  $c = 1$  mm.



รูปที่ 59 สนามไฟฟ้ายากดัวและสนามไฟฟ้าหมุนของอนุภาคอลูมิเนียมทรงคล้ายทรงกลมแบบข้างช่องมีรัศมีแกนโท  $b = 0.25$  mm เท่ากัน แต่มีรัศมีแกนเอกสารต่างกัน

รูปที่ 59 แสดงลักษณะสมบัติของ  $E_R$  และ  $E_L$  สำหรับอนุภาคอลูมิเนียมที่มีรัศมีแกนโท  $b = 0.25$  mm เท่ากัน แต่มีรัศมีแกนเอกสารต่างกัน โดย  $c/b = 1.2, 1.45, 2$  และ  $6$ . จากรูป เราเห็นได้ว่า  $E_R(0^\circ) < E_L(90^\circ)$  สำหรับอนุภาคที่มีอัตราส่วนความยาวแกนต่ำ  $c/b < 1.4$  (มีลักษณะคล้ายทรงกลม). สำหรับอนุภาคที่มีลักษณะแหลมยาวมากขึ้น  $E_R(0^\circ) > E_L(90^\circ)$ . ดังนั้น อนุภาคที่ลักษณะคล้ายลวดมีแนวโน้มที่ยกขึ้นจากระนาบอิเล็กโตรด ภายหลังจากที่หมุนเพิ่มมุมเอียงขึ้นจากระนาบ.

ผู้จัดได้คำนวณมุมวิกฤต  $\alpha_1$  และ  $\alpha_2$  สำหรับอนุภาคที่มี  $b = 0.1, 0.25$ , และ  $0.5$  mm. ผลการคำนวณแสดงอยู่ในรูปที่ 60 เป็นฟังก์ชันของอัตราส่วนความยาวแกน  $c/b$ . เราสามารถสังเกตได้อย่างชัดเจนว่า มุมวิกฤตทั้งสองขึ้นอยู่กับอัตราส่วนความยาวแกนแกนเป็นหลัก. เมื่อ  $c/b$  เพิ่มขึ้นจาก 1.45 มุม  $\alpha_1$  ลดลง แต่มุม  $\alpha_2$  เพิ่มขึ้น.



รูปที่ 60. มุมวิกฤต  $\alpha_1$  และ  $\alpha_2$  เป็นพังก์ชันของอัตราส่วนความยาวแกน  $c/b$  สำหรับอนุภาคอลูมิเนียมที่มี และ  $b = 0.1, 0.25$ , และ  $0.5 \text{ mm}$

### 3.4 การควบคุมอนุภาคด้วยวิธีทางจลนศาสตร์

ดังที่ได้กล่าวมาแล้วในหัวข้อที่ 3.3 ว่า มีการใช้ชั้นวนไฟฟ้าด้วยก้าชในอุปกรณ์ไฟฟ้าแรงสูงของระบบส่งและระบบจ่ายไฟฟ้าของประเทศไทยยังกว้างขวาง ข้อดีของระบบชั้นวนก้าชก็คือ มีความเชื่อถือได้สูง และมีความถี่ของการบำรุงรักษาต่ำ อายุไรเก็ตตัน หากมีอนุภาคขนาดเล็กอยู่ในระบบชั้นวนไฟฟ้าด้วยก้าช ความสามารถในการรับน้ำของระบบจะลดลงอย่างมาก [50] อนุภาคอาจเข้าไปอยู่ภายในระบบชั้นวน ระหว่างกระบวนการผลิต การประกอบ การดูแลรักษา หรืออาจเกิดจากการทำงานทางกลของส่วนประกอบภายในระบบชั้นวนเอง.

จนถึงปัจจุบัน ได้มีงานวิจัยจำนวนหนึ่งดำเนินการศึกษาพัฒนาระบบทางจลน์ของอนุภาคด้วยวิธีไฟฟ้า อนุภาคด้วยไฟฟ้าจะได้รับการอัดประจุ เมื่อมีอนุภาคสัมผัสกับอิเล็กโตรดภายในไฟฟ้า [43, 44, 51] ปฏิกิริยาระหว่างสนามไฟฟ้ากับประจุที่เหนี่ยวนำขึ้นบนอนุภาคทำให้เกิดแรงคูลомн์ ซึ่งจะขับอนุภาคให้เคลื่อนที่เข้าหาอิเล็กโตรดที่มีขั้วตรงข้าม [43] ดังนั้น หากสนามไฟฟ้ามีความเข้มสูงเพียงพอ อนุภาคสามารถถูกยกขึ้นจากอิเล็กโตรดที่มั่นคงด้วยอยู่ได้ (ด้วยแรงคูลомн์) เมื่อมีอนุภาคเคลื่อนที่เข้าใกล้กับอิเล็กโตรดอื่นซึ่งมีขั้วตรงข้าม อนุภาคอาจเห็นได้เมื่อครดิสชาร์จ เนื่องจากสนามไฟฟ้าความเข้มสูงที่ผิวของอนุภาค ซึ่งจะส่งผลให้ความคงทนได้อิเล็กทริดของระบบชั้นวนลดลงในที่สุด [39].

ภายใต้สนามไฟฟ้าแบบไม่สม่ำเสมอ อนุภาคด้วยน้ำยังสามารถเกิดการเคลื่อนที่ในแนวระดับตามผิวของอิเล็กโตรด เนื่องจาก “แรงเกรเดียนต์ไฟฟ้า” หรือที่เรียกว่า “แรงไดอิเล็กโตรโฟเรติก” (Dielectrophoretic force) [52, 53] การศึกษาทางทฤษฎีและทางการทดลองในห้องปฏิบัติการเกี่ยวกับการเคลื่อนที่ของอนุภาคด้วยแรงกลม ที่อยู่บนอิเล็กโตรดทั้มชั้นวน ระบุว่าอนุภาคสามารถเคลื่อนที่เข้าสู่บริเวณที่มีสนามไฟฟ้าสูงกว่าบริเวณเดียวกันด้วยแรงเกรเดียนต์ไฟฟ้า และสามารถกระตุ้นให้เกิดดิสชาร์จในระบบชั้นวน ทั้งในกรณีของการกระตุ้นด้วยไฟฟ้ากระแสตรง [53] และไฟฟ้ากระแสสลับ [41] นอกจากนี้ ยังมีรายงานลักษณะสมบัติการเคลื่อนที่ซับซ้อนมากขึ้นของอนุภาค เมื่อมีสเปเซอร์ (Spacer) ภายในระบบ [40] งานวิจัยดังกล่าวเน้นพนว่า อนุภาคอาจยึดติดกับสเปเซอร์หลังจากถูกกระตุ้นให้เคลื่อนที่ด้วยสนามไฟฟ้า โดยขึ้นอยู่กับรูปร่างของสเปเซอร์ การยึดติดกับสเปเซอร์ของอนุภาค มีผลอย่างยิ่งต่อการเกิดรวมไฟตามผิวของสเปเซอร์ [54, 55] การยับยั้งการเคลื่อนที่ของอนุภาคมีความสำคัญมากขึ้นอย่างยิ่ง เนื่องจากขนาดที่ลดลงของอุปกรณ์ไฟฟ้าแรงสูงต่างๆ จึงมีการนำอิทธิพลควบคุมอนุภาค โดยพิจารณาอนุภาคที่ได้รับการอัดประจุภายใต้สนามไฟฟ้า (ดูเอกสารอ้างอิง [52] สำหรับรายละเอียดเพิ่มเติม)

งานในวิจัยในส่วนแรกของรายงานนี้ เป็นการศึกษาเพิ่มเติมถึงพัฒนาระบบทางจลน์ของอนุภาค ในรูปแบบการจัดเรียงของอิเล็กโตรดระนาบเอียง ในขณะที่งานวิจัยที่ผ่านมาเน้นที่กลไกการอัดประจุอนุภาค ในกรณีของอิเล็กโตรดทั้มชั้นวน [53] งานวิจัยในโครงการนี้ สนใจการจัดการอนุภาคด้วยขนาดเล็ก (เล็กกว่า 1 mm) คณภาพวิจัยได้ศึกษาการเคลื่อนที่ของอนุภาคที่ได้รับการอัดประจุ ภายใต้สนามไฟฟ้าไม่สม่ำเสมอในอากาศ ผลกระทบทดลองที่ได้ถูกนำมาเปรียบเทียบกับผลการจำลอง สำหรับการควบคุมการเคลื่อนที่ของอนุภาค คณภาพวิจัยใช้ชั้นวนแบบอิเล็กโตรด เพื่อป้องกันอนุภาคจากการอัดประจุโดยตรงที่เกิดจากการสัมผัส อิเล็กโตรด และจากการอัดประจุโดยอ้อมที่เกิดจากไมโครดิสชาร์จ แรงไดอิเล็กโตรโฟเรติกใช้ประโยชน์ในการกระตุ้นอนุภาคให้เริ่มเคลื่อนที่ และหยุดอนุภาคให้อยู่ ณ ตำแหน่งที่ต้องการ แม้ว่า จะมีการใช้งานแรงไดอิเล็กโตรโฟเรติกอย่างกว้างขวาง สำหรับการจัดการอนุภาคในระบบไมโคร การใช้งานแรงดึงดักล่าในระบบชั้นวนไฟฟ้าแรงสูง มีข้อจำกัดที่สำคัญอยู่ที่ขนาดของสนามไฟฟ้า ที่อาจกระตุ้นให้เกิดเบรกดาวน์ของชั้นวนในระบบได้.

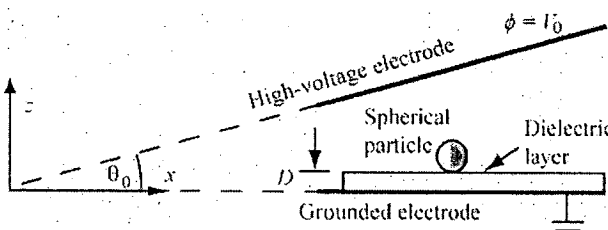
### 3.4.1 ทฤษฎีพื้นฐานเกี่ยวกับการเคลื่อนที่ของอนุภาค

รูปที่ 1 แสดงการจัดเรียงของอนุภาคตัวนำที่ใช้การวิจัยนี้ ในรูปที่ 1 อนุภาคตัวนำทรงกลมวางตัวอยู่ในแก่ประหัวงอเล็กโตรดระนาบเอียง ซึ่งมีมุรหัวงอเล็กโตรดเท่ากัน  $\theta_0$  อิเล็กโตรดตัวนำล่างถูกต่อลงกราวน์ด์และอิเล็กโตรดตัวบนได้รับศักย์ไฟฟ้า  $\phi = V_0$  ตัวกลางที่อยู่ภายใต้ระบบเป็นอากาศที่ความดันบรรยายกาศ ชนวนไฟฟ้าความหนาเท่ากับ  $D$  อาจถูกหัวงแพรกอยู่ระหว่างอนุภาคและอิเล็กโตรดกราวน์ด์ เพื่อบังกันอนุภาคจากการอัดประจุ ในกระบวนการนี้ แทนที่จะใช้พิกัดเชิงข้อ  $(\rho, \theta)$  หรือพิกัดคาร์ทีเซียน  $(x, z)$  ดังแสดงในรูปที่ 1 โดยที่

$$\begin{aligned} x &= \rho \cos \theta \\ z &= \rho \sin \theta \end{aligned} \quad (95)$$

และมีความสัมพันธ์ระหว่างเวกเตอร์หนึ่งหน่วยเป็น

$$\begin{aligned} \mathbf{a}_\rho &= \cos \theta \mathbf{a}_x + \sin \theta \mathbf{a}_z \\ \mathbf{a}_\theta &= -\sin \theta \mathbf{a}_x + \cos \theta \mathbf{a}_z \end{aligned} \quad (96)$$



รูปที่ 61. รูปแบบการจัดเรียงของอนุภาคตัวนำทรงกลมในระบบอิเล็กโตรดแบบระนาบเอียง

#### ก. ประจุเหนี่ยวนำและแรงคูลอมบ์

เป็นที่ทราบกันดีว่า เมื่ออนุภาคตัวนำสามผสกนิชอิเล็กโตรดภายใต้สนามไฟฟ้า จะได้รับประจุจากอิเล็กโตรด สำหรับตัวนำทรงกลมที่มีรัศมี  $a$  ภายใต้สนามไฟฟ้าความเข้ม  $E$  เราสามารถหาค่าทางทฤษฎีของประจุ  $q$  บนตัวนำทรงกลมได้จาก [43, 51]

$$q = -\zeta(2)4\pi\epsilon_0 a^2 E \quad (97)$$

เมื่อ  $\zeta(2)$  เป็นพังก์ชันเชิงตัวของริมันน์ และสนามไฟฟ้าค่าบวกอ้างอิงในทิศทางพุ่งเข้าสู่อิเล็กโตรดที่อนุภาควางตัวอยู่ ในกรณีที่ปราศจากชั้นผิวนวน สนามไฟฟ้าที่ป้อนให้กับอนุภาค คือ  $E = V_0(\rho\theta)^{-1}$  ในรูปแบบการจัดเรียงในรูปที่ 61. เราสามารถประมาณประจุเหนี่ยวนำบนอนุภาคทรงกลมที่อยู่บนตำแหน่ง  $(x_p, a)$  ได้เป็น

$$q_p \approx -\frac{2}{3}\pi^3 a^2 \epsilon_0 \frac{V_0}{\rho_p \theta_0} \quad (98)$$

เมื่อ  $\rho_p = \sqrt{x_p^2 + a^2}$ . ในระหว่างที่อนุภาควางตัวอยู่บนอิเล็กโตรด อนุภาคจะได้รับแรงคูลอมบ์  $F_q$  ซึ่งมีแนวโน้มที่จะดึงอนุภาคให้แยกออกจากอิเล็กโตรด. แรงคูลอมบ์แสดงได้ตามสมการ

$$F_q = 0.832 q_p E a_z \quad (99)$$

เมื่ออนุภาคแยกออกจากอิเล็กโตรดแล้วเป็นระยะห่างเพียงพอ แรงคูลอมบ์จะประมาณได้ด้วยสมการ

$$F_q = q_p E \quad (100)$$

#### ข. แรงไอดิเล็กโตรไฟเดลิก

แรงไดอิเล็กโพรเฟเรติก  $F_{DEP}$  หรือแรงเกอร์เดียนต์ไฟฟ้า กระทำกับอนุภาคซึ่งมีโพลาไรเซชันแตกต่างจากตัวกลางที่อยู่ล้อมรอบภายในไฟฟ้าไม่สม่ำเสมอ. แรงไดอิเล็กโพรเฟเรติกสามารถประมาณได้จากไดโอลประสิทธิผล  $p_{eff}$  ของอนุภาค. สำหรับทรงกลมด้วนว่า

$$p_{eff} = 4\pi\epsilon_0 a^3 E. \quad (101)$$

แรงไดอิเล็กโพรเฟเรติกที่กระทำกับอนุภาคแสดงได้เป็น [23]

$$F_{DEP} = (\mathbf{p}_{eff} \cdot \nabla) E = 2\pi\epsilon_0 a^3 \nabla E^2. \quad (102)$$

สำหรับระบบอิเล็กโตรดแบบบานานเอียงในรูปที่ 1 สมการเชิงวิเคราะห์ของแรงไดอิเล็กโพรเฟเรติก ในกรณีที่  $D = 0$  คือ

$$\mathbf{F}_{DEP} = -4\pi\epsilon_0 a^3 \frac{V^2}{\rho^3 \theta_0^2} \mathbf{a}_\rho. \quad (103)$$

แรงไดอิเล็กโพรเฟเรติกดึงอนุภาคด้านหน้าเข้าสู่บริเวณที่มีสนามไฟฟ้าสูงกว่าบริเวณเบื้องบน ซึ่งเราเรียกว่าเป็น “ไดอิเล็กโพรเฟเรชแบบบวก” (Positive dielectrophoresis). สังเกตว่า สมการที่ (103) ได้ละเอียดของมัลติโพลที่อันดับสูงขึ้นไป [56]. รายละเอียดเพิ่มเติมเกี่ยวกับแรงไดอิเล็กโพรเฟเรชสามารถศึกษาได้จากเอกสารอ้างอิง [7, 23].

แรงชนิดอื่นที่กระทำกับอนุภาคทรงกลมในระบบที่พิจารณาได้แก่ แรงโน้มถ่วง  $F_g$ , แรงเสียดทาน  $F_\mu$ , และแรงหนี  $F_v$ . แรงหนีของทรงกลมที่เคลื่อนที่ด้วยความเร็ว  $v$  แสดงได้เป็น

$$F_v = -6\pi\eta\mu v. \quad (104)$$

สัมประสิทธิ์ความหนืด  $\mu$  ของอากาศ มีค่าประมาณ 18.2 mPa·s. ดังนั้น แรงร่วมทั้งหมด ที่กระทำกับอนุภาคคือ

$$\mathbf{F}_{tot} = \mathbf{F}_q + \mathbf{F}_{DEP} + \mathbf{F}_g + \mathbf{F}_\mu + \mathbf{F}_v. \quad (105)$$

สังเกตว่า  $F_\mu$  ในสมการที่ (105) จะใช้ก็ต่อเมื่อ อนุภาควางตัวอยู่บนอิเล็กโตรดกราวน์ด์ต้านล่าง.

### ค. เงื่อนไขการเริ่มเคลื่อนที่ของอนุภาค

จนถึงปัจจุบัน ได้มีการศึกษาขนาดของแรงดันที่ทำให้ออนุภาคเริ่มเกิดการเคลื่อนที่ (ซึ่งต่อไปนี้จะเรียกโดยย่อว่า “แรงดันเริ่มเคลื่อนที่”) ทั้งในกรณีของการยกดัวในแนวตั้ง และการเคลื่อนที่ในแนวระดับ เมื่ออนุภาควางตัวอยู่บนระนาบอิเล็กโตรดกราวน์ด์ ที่ไม่มีการหุ้มฉนวน [39] หรือที่มีการหุ้มฉนวน [53]. สำหรับอนุภาคที่มีรัศมี  $a$  ซึ่งมีขนาดเล็กกว่าพิภพ  $x_p$  มาก แรงดันเริ่มเคลื่อนที่ของอนุภาคสามารถประมาณได้ดังนี้.

แรงดันเริ่มยกดัว  $V_L$  และสนามไฟฟ้าเริ่มยกดัว  $E_L$  ของอนุภาคที่มีจุดศูนย์กลางอยู่ที่  $(x_p, a)$  บนอิเล็กโตรดกราวน์ด์ที่ไม่ถูกหุ้มฉนวน คำนวณจากสมดุลของแรงโน้มถ่วงและแรงคูลومบ์.

$$E_L = \frac{V_L}{\rho_p \theta_0} \approx 0.5 \sqrt{\frac{\mu a \rho_m g}{\epsilon_0}} \quad (106)$$

เมื่อ  $\rho_m$  คือความหนาแน่น และ  $g$  คือความเร่งเนื่องจากแรงโน้มถ่วง.

เงื่อนไขสำหรับการเริ่มเคลื่อนที่ในแนวระดับของอนุภาค จะต้องพิจารณาแยกระหว่างกรณีที่ (a) ไม่มีฉนวนบนอิเล็กโตรดกราวน์ด และ (b) มีฉนวนบนอิเล็กโตรด. พิจารณาอนุภาคที่อยู่บนอิเล็กโตรดกราวน์ดโดยตรง โดยที่สัมประสิทธิ์แรงเสียดทานเท่ากับ  $\mu$ . เราสามารถหาแรงดันเริ่มเคลื่อนที่  $V_H$  และสนามไฟฟ้า  $E_H$  สำหรับการเคลื่อนที่แนวระดับ ได้จาก

$$F_{DEP} = \mu(F_g - F_q) \quad (107)$$

ซึ่งทำให้ได้

$$E_H = \frac{V_H}{\rho_p \theta_0} \approx \sqrt{\frac{\mu a \rho_m g}{\epsilon_0 [4\mu + (3a/\rho_p)]}} \quad (108)$$

สังเกตว่า สำหรับอนุภาคตัวนำที่วางตัวอยู่บนอิเล็กโตรดกราวน์โดยตรง  $V_H$  มีค่าต่ำกว่า  $V_L$  เสมอ ทั้งนี้ เนื่องจากว่า เมื่อแรงคูลومบ์มีค่าไกล์เทียงกับแรงโน้มถ่วงของอนุภาค ความเสียดทานระหว่างอนุภาคกับ อิเล็กโตรดจะลดลงอย่างมาก ทำให้อนุภาคพร้อมที่จะเคลื่อนที่ในแนวระดับ. อย่างไรก็ตาม ในทางปฏิบัติ คงจะผิดพลาดพูดว่า ยังมีแรงพื้นผิวนานิดหนึ่งยังบังคับการเคลื่อนที่ในแนวระดับของอนุภาค ก่อนการยกตัวขึ้นจาก อิเล็กโตรด.

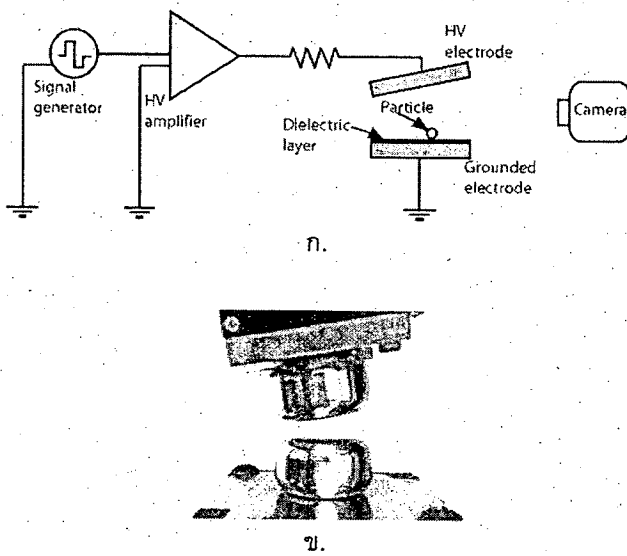
ในการนี้ที่มีผิวนานที่บางมากๆ คันอยู่ระหว่างอนุภาคและอิเล็กโตรดกราวน์ เราสมมติว่า อนุภาค ไม่ได้รับการอัดประจุ ทำให้สามารถแลกเปลี่ยนคูลอมบ์ออกจากการพิจารณาได้. ในกรณีนี้ เมื่อใน การเริ่ม เคลื่อนที่ในแนวระดับเป็น

$$E_H = \sqrt{\frac{\mu \rho_m g \rho_p}{3 \epsilon_0}} \quad (109)$$

ซึ่งมีค่าสูงกว่าค่าที่ได้จากการที่ (108). อย่างไรก็ตาม สังเกตว่า เมื่อในตามสมการที่ (109) อาจไม่เป็นจริง เนื่องจากปัจจัยสองประการ. ประการแรก คือ การที่มีสนามไฟฟ้าขนาดสูงมากไกล์กับจุดสัมผัสระหว่าง อนุภาคกับผิวนาน [57]. ดังนั้น อนุภาคอาจได้รับการอัดประจุระดับหนึ่งเมื่อจากไปโครติสชาร์จที่เกิดขึ้น. ถึงแม้ว่า ขนาดของประจุที่เกิดขึ้นบนอนุภาคอาจไม่เท่ากับค่านิยมในสมการที่ (4) การอัดประจุยังคงสามารถลด แรงดันเริ่มเคลื่อนที่ของอนุภาคได้. ปัจจัยประการที่สอง คือ ปฏิกิริยาระหว่างประจุเหนี่ยวนำบนอนุภาค และ อิเล็กโตรดกราวน์ ซึ่งถูกละเอียดในสมการที่ (15). แรงที่เกิดขึ้นจากปฏิกิริยานี้ทำให้เกิดการยึดระหว่าง อนุภาคกับอิเล็กโตรด.

### 3.4.1 ทฤษฎีพื้นฐานเกี่ยวกับการเคลื่อนที่ของอนุภาค

การทดลองใช้อุปกรณ์ทรงกลมอลูминียม และทรงกลมสเตนเลส ขนาดหัว 0.4 mm (Micro Surface Engineering). ก่อนการทดลองแต่ละครั้ง อนุภาคถูกทำความสะอาดโดยวิธี Sonication และเก็บรักษาที่ อุณหภูมิ 80 – 120 องศา.



รูปที่ 62. การจัดเตรียมอุปกรณ์ทดลอง. ก. แผนภาพเคาร่าง ข. อิเล็กโตรด

รูปที่ 62 แสดงแผนภาพเคาร่างของการจัดเตรียมการทดลอง ที่ใช้ในการสังเกตการณ์เคลื่อนที่ของ อนุภาค. อิเล็กโตรดด้านล่างติดตั้งอยู่บนแท่นควบคุมตำแหน่งเชิงเส้นแบบ 3 แกน (LNG60, Misumi) และ

อิเล็กโตรดด้านบนติดตั้งอยู่กับแท่นควบคุมตำแหน่งแบบปรับมุมได้ อิเล็กโตรดมีขนาดเล็กกว้างศูนย์กลาง 27 mm ทำจากสแตนเลส และมีการปรับมุมที่บริเวณขอบอย่างเหมาะสม เพื่อป้องกันไม่ให้สามารถไฟฟ้าสูงเกินไป (ดูรูปที่ 62x) มุมเอียง  $\theta_0 = 3^\circ$  ถูกใช้สำหรับการสังเกตพฤติกรรมพื้นฐานของอนุภาค และมุมเอียง  $\theta_1 = 15^\circ$  ถูกใช้สำหรับการควบคุมการเคลื่อนที่ของอนุภาค สำหรับการทดลองควบคุมการเคลื่อนที่ ผู้วิจัยใช้แผ่นวนความหนา 1 mm วางบนอิเล็กโตรดกราวน์ด์ วัสดุที่ใช้เป็น Poly-dimethylsiloxane หรือ PDMS (KE-106, Shin-Etsu) ซึ่งเป็นยางซิลิโคน เนื่องจากมีความยืดหยุ่นในการเรียบเรียงงานสูง นอกจากนี้ จะมีฟิล์มของโพลิอิเม็ต์ (Kapton, Dupont) หนา 74  $\mu\text{m}$  วางบนผิวของ PDMS อีกชั้น เพื่อลดแรงเสียดทาน PDMS และโพลิอิเม็ต์ มีค่าคงตัวไดอิเล็กทริกเท่ากับ 3.1 และ 4 ตามลำดับ.

อิเล็กโตรดด้านล่างในรูปที่ 2 ถูกต่อลงกราวน์ด ในขณะที่อิเล็กโตรดด้านบนได้รับแรงดันไฟฟ้า  $V_0$  แรงดันที่ได้รับจาก แอมป์ลิไฟเออร์แรงดันสูง (610E, Trek) ซึ่งได้รับสัญญาณเข้าจากเครื่องกำเนิดสัญญาณ (AFG3021, Tektronix) ผู้วิจัยได้สังเกตพื้นฐานทางกลศาสตร์ไฟฟ้าของอนุภาคบนระนาบกราวน์ด โดยป้อนแรงดันไฟฟ้ากระแสตรงเป็นเวลา 500 ms. สำหรับการทดลองควบคุมการเคลื่อนที่อนุภาค แรงดันที่ใช้เป็นแบบกระแสสลับรูปคลื่นไอน์ ความถี่ 50 Hz.

การเคลื่อนที่ของอนุภาคถูกบันทึกด้วยกล้อง CCD (902H3 Ultimate, Watec) ที่ประกอบเข้ากับเลนส์แบบเทเลเซนทริก และส่งสัญญาณภาพไปยังเครื่องคอมพิวเตอร์ เพื่อบันทึกภาพที่อัตราประมาณ 30 fps.

### 3.4.3 ผลการทดลองและอภิปรายผลการศึกษา

#### ก. อนุภาคบนอิเล็กโตรดกราวน์ดที่ปราศจากชั้นวน

คณะผู้วิจัยได้ทำการทดลองขั้นต้น เพื่อวัดแรงดันเริ่มยกตัวของอนุภาค โดยใช้แกปอากาศแบบสม่ำเสมอว้าง 2 และ 4 mm โดยไม่มีชั้นวนบนผิวของอิเล็กโตรด ความแตกต่างที่ได้ระหว่างค่าแรงดันที่วัดได้ กับค่าที่ประมาณจากสมการที่ (106) มีประมาณ 10% สำหรับอนุภาคอ่อนล้ามีเนียม และ 3% สำหรับอนุภาคสแตนเลส ที่ใช้ในงานวิจัยนี้ เพื่อที่จะศึกษาพื้นฐานกลศาสตร์ไฟฟ้าของอนุภาคภายใต้ระบบอิเล็กโตรด ระนาบเอียงที่ใช้ การวิจัยเริ่มจากกรณีที่อนุภาควางตัวบนอิเล็กโตรดกราวน์ดโดยตรง (ไม่มีชั้นวน). คณะผู้วิจัยทำการจำลองเส้นทางการเคลื่อนที่ของอนุภาค ที่มุม  $\theta_0 = 3^\circ, 6^\circ$  และ  $9^\circ$  เมื่อแรงดันป้อน  $V_0$  ให้มีค่าสูงกว่าแรงดันเริ่มยกตัว ของอนุภาค ความเร็วของอนุภาค  $v_1$  ก่อนชนกับอิเล็กโตรด และ  $v_2$  หลังชนกับอิเล็กโตรดมีความสัมพันธ์เป็น

$$v_{2,n} = -k_n v_{1,n} \quad (110)$$

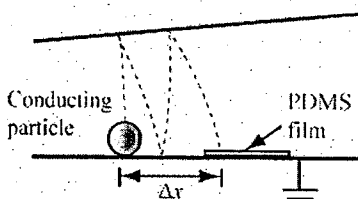
และ

$$v_{2,r} = k_r v_{1,r} \quad (111)$$

โดยที่  $k_n$  และ  $k_r$  เป็นสัมประสิทธิ์ของความชน ซึ่งมีค่านี้ล่าง  $n$  และ  $r$  ระบุทิศทางในแนวตั้งจากและขนานกับอิเล็กโตรดของความเร็ว.  $k_n$  และ  $k_r$  ที่ใช้ในการจำลอง มีค่าเท่ากับ 0.6 และ 0.8 ตามลำดับ ซึ่งเป็นค่าหาได้จากการทดลองกับอนุภาคอ่อนล้ามีเนียมบนอิเล็กโตรดที่ใช้จริง.

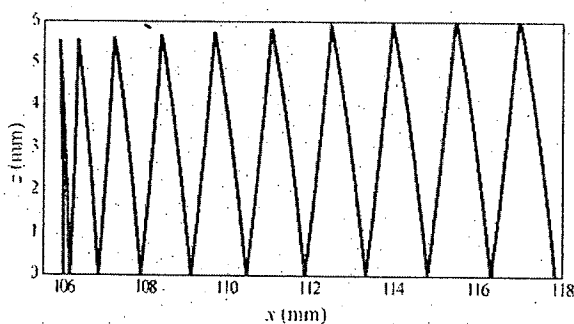
เพื่อยืนยันผลการจำลองเชิงเลข คณะผู้วิจัยได้ทดลองวัดการเคลื่อนที่ของอนุภาคอ่อนล้ามีเนียมตามเวลา. ในการทดลองนี้ ฟิล์ม PDMS ที่มีความหนาประมาณ 30  $\mu\text{m}$  ถูกวางไว้บนอิเล็กโตรดกราวน์ด ณ บริเวณใกล้กับตำแหน่งเริ่มต้นของอนุภาค หลังจากป้อนแรงดันไฟฟ้ากระแสตรงในอนุภาค อนุภาคเคลื่อนที่ขึ้นและลงข้างๆ แบบปัดด้วยแรงไฟฟ้า ตำแหน่งของฟิล์ม PDMS ถูกเลือกให้อยู่กับจุดกลางบนฟิล์ม หลังจากที่เคลื่อนที่ขึ้นลงได้ 2 รอบ. เนื่องจากฟิล์ม PDMS ป้องกันการอัดประจุของอนุภาค อนุภาคจึงยึดติดกับฟิล์ม

PDMS หลังจากตอกกระแทบ ดังแสดงในรูปที่ 63. การทดลองนี้ วัดระยะกระจัดแนวระดับ  $\Delta x$  จากตำแหน่งเริ่มต้นของอนุภาค เมื่อเปรียบเทียบกับผลการจำลองที่ได้ในกรณีของ  $x_p = 106 \text{ mm}$ ,  $\theta_0 = 3^\circ$  องศา และ  $V_0 = 4 \text{ kV}$  ค่าเฉลี่ยของระยะกระจัดที่วัดได้เท่ากับ  $0.75 \text{ mm}$  ในขณะที่ผลการจำลองได้ระยะกระจัด  $0.83 \text{ mm}$  ซึ่งมีความแตกต่างประมาณ  $10.7\%$ .



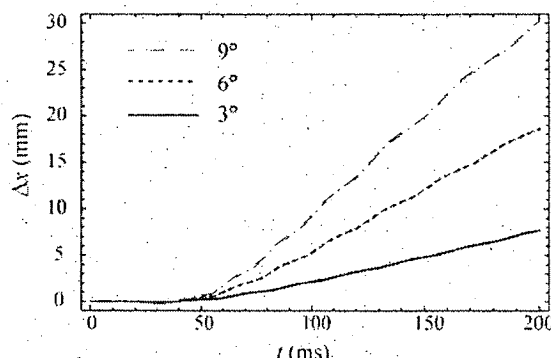
รูปที่ 63. แผนภาพเค้าร่างของการวัดระยะกระจัดของอนุภาค

เส้นทางการเคลื่อนที่ของอนุภาคอยู่ในรูปที่ได้จากการจำลองจนถึงเวลา  $270 \text{ ms}$ . (ปราศจากพิล์ม PDMS) แสดงในรูปที่ 64. จากรูป เราเห็นได้อย่างชัดเจนว่า เมื่ออนุภาคยกตัวขึ้นจากอิเล็กโตรดด้านล่างแล้ว อนุภาคเคลื่อนที่ไปยังด้านข้างมือของรูป ซึ่งเป็นบริเวณที่ความเข้มสนามไฟฟ้าต่ำกว่า แรงคูลومบ์มิอิทธิพลเหนือแรงไฟอิเล็กโตรไฟเรติก. อนุภาคตอกกระแทบอิเล็กโตรโดยที่มีมุนต์กระแทบแต่ต่างจากมุน  $90^\circ$  องศา เล็กน้อย เนื่องจากความฉีดอขของอนุภาค. หลังการตอกกระแทบ อนุภาคเคลื่อนที่ออกจากอิเล็กโตรดด้วยมุนที่มากขึ้น เนื่องจาก  $k_r > k_n$ .



รูปที่ 64. เส้นทางการเคลื่อนที่ของอนุภาคที่ได้จากการจำลอง เมื่อ  $\theta_0 = 3^\circ$

รูปที่ 65 แสดงระยะกระจัดแนวระดับ  $\Delta x$  จากตำแหน่งเริ่มต้นที่ได้จากการคำนวณเชิงเลข เป็นฟังก์ชันของเวลา เมื่อแรงดัน  $V_0$  ที่ป้อนให้กับอิเล็กโตรดมีค่าเท่ากัน แต่มุม  $\theta_0$  ระหว่างอิเล็กโตรดแตกต่างกัน. ในการจำลอง อนุภาคมีตำแหน่งเริ่มต้นที่แตกต่างกัน เพื่อให้ได้รับความเครียดสนามไฟฟ้าเท่ากัน ณ ตำแหน่งเริ่มต้น. นั่นคือ คงค่า  $\rho\theta_0$  ที่เวลา  $t = 0$ . รูปที่ 65 แสดงให้เห็นว่า เมื่อมุมเอียงระหว่างอิเล็กโตรดระหว่างมีค่าเพิ่มขึ้น อนุภาคจะเคลื่อนที่ไปทางด้านข้างมือเร็วขึ้น. ทั้งนี้ มีข้อควรสังเกตเพิ่มเติมคือ เมื่อแรงดัน  $V_0$  มีค่าสูงกว่า  $V_H$  แต่ต่ำกว่า  $V_L$  อนุภาคจะเคลื่อนที่ในแนวระดับตามผิวอิเล็กโตรดไปทางด้านซ้ายมือ ซึ่งเป็นบริเวณที่มีสนามไฟฟ้าสูงขึ้น และอนุภาคจะถูกยกจากอิเล็กโตรดเมื่อแรงคูลومบ์ที่กระทำกับอนุภาคมีขนาดมากเพียงพอ [39]. แนวทางการเคลื่อนที่ของอนุภาคภายหลังจากยกตัวแล้ว เป็นไปตามเส้นทางที่แสดงในรูปที่ 64. นั่นคือ เคลื่อนที่กลับไปสู่บริเวณที่สนามไฟฟ้าต่ำลง.



รูปที่ 65. ระยะการจัด  $\Delta x$  ของอนุภาคอลูมิเนียม เป็นฟังก์ชันของเวลา  $t$  เมื่อ  $V_0 = 4 \text{ kV}$

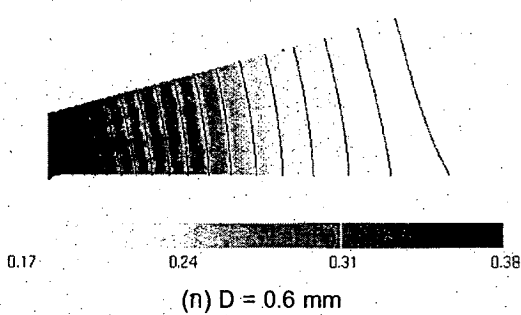
#### ว. อนุภาคอนอิเล็กโดยตระกรានด์ที่มีชั้นจนวนวางอยู่

ผลการศึกษาที่ได้ก่อข่าวลือในหัวข้อที่ผ่านมา แสดงให้เห็นอย่างชัดเจนถึงความยากในการหยุดการเคลื่อนที่ของอนุภาคตัวน้ำ ณ บริเวณที่ต้องการภายในระบบอนอิเล็กโดยตระกร. จากการทดลองโดยใช้อิเล็กโดยตระกรแบบระนาบเอียงของ Hara และคณะ พนบว่า นอกเหนือจากการเคลื่อนที่ข้ามแกบไป-มาของอนุภาคแล้ว เมื่ออนุภาคได้รับการอัดประจุ อนุภาคอาจยึดติดกับผิวของสเปเซอร์ และวิ่งไปตามผิวของสเปเซอร์ภายใต้สนามไฟฟ้าที่มีขนาดสูงมากพอด [40]. ในหัวข้อนี้ ผู้วิจัยได้ทดลองใช้การจัดเรียงแบบง่าย ในการควบคุมการเคลื่อนที่ของอนุภาค โดยใช้เรโนไดอิเล็กโดยตระกรไฟเรติก. รูปแบบการจัดเรียงนี้ใช้สนามไฟฟ้าไม่สม่ำเสมอ ณ จุดสิ้นสุดของชั้นจนวน ในการยึดจับอนุภาค.

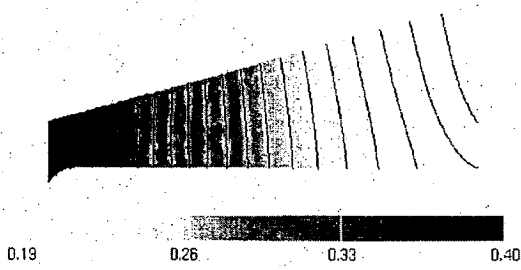
ดังที่ได้กล่าวมาแล้วในเบื้องต้น แผ่น PDMS ถูกวางบนผิวของอิเล็กโดยตระกราวน์ เพื่อบังกันอนุภาคจากการอัดประจุเนื่องจากการสัมผัสกับอิเล็กโดยตระกร. เราเลือกใช้ความหนา  $D$  ของอนุภาค ที่มีขนาดมากกว่าค่า  $a$  ของอนุภาค เพื่อหลีกเลี่ยงสนามไฟฟ้าค่อนข้างสูง ณ บริเวณจุดสัมผัสระหว่างอนุภาคกับแผ่นจนวน ซึ่งสามารถทำให้เกิดการอัดประจุอนุภาคได้เช่นเดียวกัน. หนาที่ของความหนา  $D$  อีกประการหนึ่งคือ การลดแรงยึดทางไฟฟ้าระหว่างประจุหนึ่งนำบนอนุภาค และงานประจุที่เกิดขึ้นเนื่องจากอิเล็กโดยตระกราวน์.

#### ผลการคำนวณเชิงเลข

เพื่อที่จะศึกษาผลของแผ่นจนวน ที่มีต่อการกระจายของสนามไฟฟ้าในแกบ คณะผู้วิจัยได้คำนวณสนามไฟฟ้าในแกบอากาศ ด้วยวิธีชั้นประกอบขอบเขต (Boundary element method) [34] โดยได้ลั่นรูปการคำนวณเป็นแบบ 2 มิติ. เนื่องจากพิล์มนพอลิอิมีดมีความหนาน้อยมาก การคำนวณจึงพิจารณาเฉพาะชั้นของ PDMS เท่านั้น. รูปที่ 66ก และ 66ข แสดงการกระจายของสนามไฟฟ้าในแกบอากาศระหว่างชั้นจนวนกับอิเล็กโดยตระกรด้านบน ที่ได้จากการคำนวณเชิงเลขตามเงื่อนไข  $V_0 = 1 \text{ kV}$ ,  $\theta = 15^\circ$  และ  $x = 11.24 \text{ mm}$ . ค่าสนามไฟฟ้าถูกแสดงในช่วงแกบที่อิเล็กโดยตระกรด้านบนสูง  $z_w = 3.0$  ถึง  $6.4 \text{ mm}$ . ผู้วิจัยทดลองคำนวณกรณีความหนาของชั้นจนวนเท่ากับ 0.6 และ  $1.0 \text{ mm}$  เพื่อสังเกตผลของความหนาดังกล่าว. รูปที่ 6 ยังแสดงแนวเส้นสนามไฟฟ้าเท่า เพื่อให้ง่ายต่อการสังเกตลักษณะการแปรผันของค่าความเข้มสนามไฟฟ้า. จากรูป เราเห็นได้ว่า สนามไฟฟ้ามีขนาดเพิ่มขึ้นจากทางด้านขวาไปซ้าย เนื่องจากความว่างแกบที่ลดลง. ผลของความหนาของชั้นจนวนแสดงให้เห็นชัดเจนมากขึ้น ที่ระยะแกบค่าต่ำลง ดังแสดงด้วยเส้นสนามไฟฟ้าเท่าที่เปลี่ยนจากความสัมพันธ์  $r = \text{constant}$ . สนามไฟฟ้าสูงสุดเกิดขึ้นที่จุดสิ้นสุดของชั้นจนวนทางด้านซ้ายเมื่อ. นอกจากนี้ ยังมีสนามไฟฟ้าสูงสุดเฉพาะที่ (local peak) บนอิเล็กโดยตระกรด้านบน ซึ่งสิ้นสุดใกล้กับมุมซ้ายบนของรูป



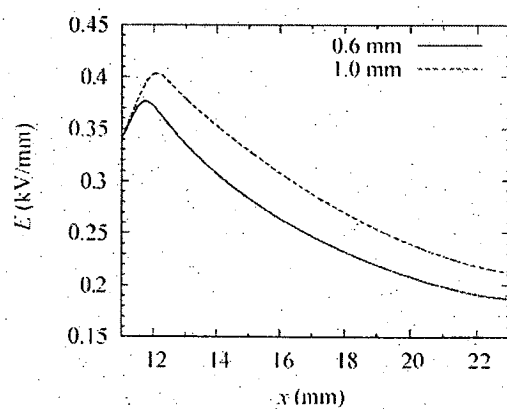
(n)  $D = 0.6 \text{ mm}$



(j)  $D = 1.0 \text{ mm}$

รูปที่ 66. ผลการคำนวณสนามไฟฟ้าในแกปอากาศระหว่างผิวนวน PDMS และอิเล็กโตรดบน.

รูปที่ 67 แสดงขนาดของสนามไฟฟ้าที่ความสูง  $0.4 \text{ mm}$  (เท่ากับรัศมีอนุภาค) จากผิวนวน. เราสามารถเห็นได้จากรูปว่า ที่ตำแหน่ง  $x$  เดียวกัน สนามไฟฟ้าในกรณี  $D = 1.0 \text{ mm}$  มีค่าสูงกว่าเล็กน้อย. ค่าสนามไฟฟ้าสูงสุดเท่ากับ  $0.38 \text{ kV/mm}$  สำหรับ  $D = 0.6 \text{ mm}$  และ  $0.40 \text{ kV/mm}$  สำหรับ  $D = 1.0 \text{ mm}$ .



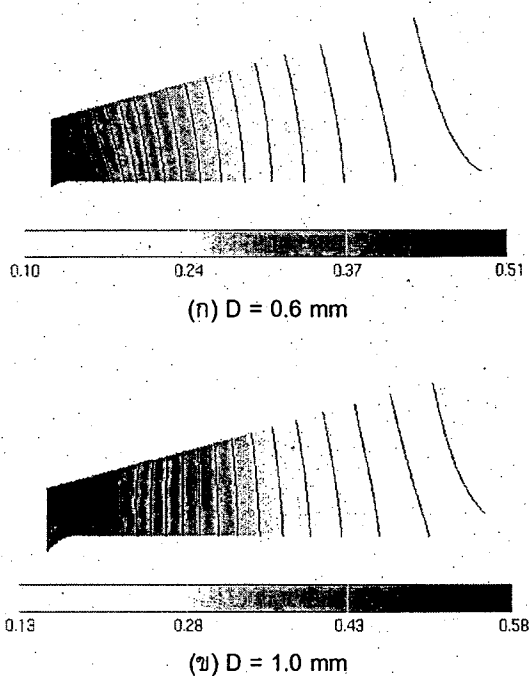
รูปที่ 67. สนามไฟฟ้าที่ความสูง  $0.4 \text{ mm}$  เหนือผิวนวน เมื่อ  $V_0 = 1 \text{ kV}$  และ  $\theta_0 = 15^\circ$ .

พลังงานสนามไฟฟ้า  $W_E$  สำหรับอนุภาคตัวนำที่ไม่ถูกอัดประจุ ในแกปอากาศระหว่างอิเล็กโตรดระนาบเอียงสามารถหาได้จาก [58]

$$W_E = -2\pi\epsilon_0 a^3 E^2. \quad (18)$$

รูปที่ 68 แสดงลักษณะสมบัติของ  $|W_E|$  ในแกปอากาศ. เราจะเห็นได้ว่า ลักษณะการแปรผันของพลังงานสนามไฟฟ้า คล้ายคลึงกับของสนามไฟฟ้าในรูปที่ 66 โดยพลังงานมีค่าสูงในกรณีของ  $D = 1.0 \text{ mm}$ . สมการที่ (8) และ (18) แสดงเป็นนัยว่า เราสามารถคำนวณแรงดึงอิเล็กโโทรเฟเรติกได้จากเกรเดียนต์ของพลังงานสนามไฟฟ้า. ดังนั้น เราสามารถสรุปทิศทางของแรงดึงอิเล็กโโทรเฟเรติกจากแนวเส้นพลังงานคงที่ใน

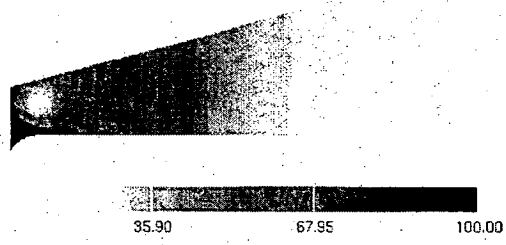
รูปที่ 68. เมื่ออนุภาคตัวนำอยู่บนผิวนวน แรงไดอิเล็กโตรโฟเรติกจะดึงดูดอนุภาคเข้าสู่ตำแหน่งของสนามไฟฟ้าสูงสุดที่จุดสิ้นสุดของผิวนวน.



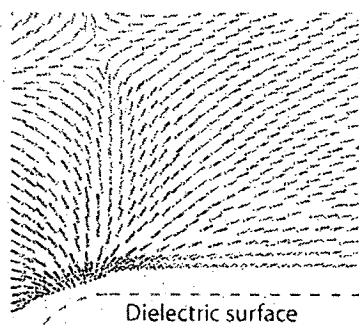
รูปที่ 68. การกระจายของพลังงานสนามไฟฟ้าในแกปอากาศระหว่างผิวนวน PDMS และอิเล็กโตรด้านบน

รูปที่ 69ก แสดงขนาดของแรงไดอิเล็กโตรโฟเรติกที่ประมาณจากสมการที่ (102) สำหรับกรณีที่ความหนาแผ่นวน D = 1.0 mm. สังเกตว่า ค่าของสนามไฟฟ้าสูงสุดในรูปถูกจำกัดอยู่ที่ 100 nN สำหรับสเกลสี เพื่อให้สามารถเห็นการเปลี่ยนของแรงไดชัดเจนตลอดทั้งแกป. ขนาดที่ถูกต้องของแรงสูงสุดสูงกว่า 100 nN มาก ในบริเวณใกล้กับจุดสิ้นสุดของแผ่นวน. แรงมีขนาดเพิ่มจากไม่เกิน 100 nN ที่บริเวณทางข้างมือของรูปที่ 9ก. รูปที่ 69x แสดงทิศทางของแรงไดอิเล็กโตรโฟเรติกในบริเวณใกล้ๆ กับจุดสิ้นสุดของผิวนวน. เนื่องจากแรงมีขนาดแปรผันอย่างมากในบริเวณดังกล่าว เวกเตอร์แรงในรูปจึงแสดงด้วยขนาดเท่ากัน. รูปที่ 69x แสดงให้เห็นว่า อนุภาคตัวนำจะถูกดึงดูดด้วยแรงไดอิเล็กโตรโฟเรติก เข้าสู่จุดสิ้นสุดของแผ่นวน ถ้าหากว่าอนุภาคไม่ถูกยกตัวขึ้นสูงจากแผ่นวนมากจนเกินไป.

รูปที่ 70 แสดงขนาดของแรงในแนวระดับ  $F_x$  ที่ทำกับอนุภาคตัวนำที่วางตัวอยู่บนผิวนวน. นั่นคือ อนุภาคอยู่ที่  $z_p = 1.0 \text{ mm}$  และ  $1.4 \text{ mm}$  บนแผ่นวนหนา  $0.6 \text{ mm}$  และ  $1.0 \text{ mm}$ . ตามลำดับ. เราสามารถเห็นได้ว่ารูปที่ 70 ว่า เมื่ออนุภาคอยู่ห่างจากจุดสิ้นสุดของแผ่นวน อนุภาคได้รับแรงในทิศ  $-x$ . ขนาดของแรงเพิ่มขึ้นเมื่อตัวแหน่ง  $x_p$  ลดลง และมีค่ามากกว่าในกรณีของวนหนา  $1.0 \text{ mm}$ . แรงค่าบวก ซึ่งป้องกันอนุภาคไม่ให้เคลื่อนที่ผ่านกับดับไดอิเล็กโตรโฟเรติก มีขนาดสูงมากที่จุดสิ้นสุดของแผ่นวน. รูปแบบการจัดเรียงที่ใช้แผ่นวนหนา  $0.6 \text{ mm}$  มีขนาดของแรงค่าลบสูงกว่ากรณีแผ่นวนหนา  $1.0 \text{ mm}$  เล็กน้อย ซึ่งอาจเป็นผลของการลักษณะผิวโค้งในการจำลองเชิงเลขที่ใช้ ณ จุดสิ้นสุดของแผ่นวน.

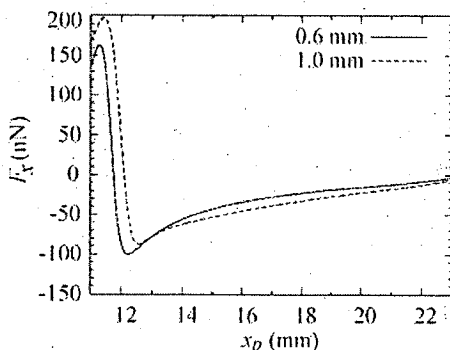


(ก) ขนาดของแรงดันไฟฟ้าสเกลส์



(ข) ทิศทางของแรงไกล์กับจุดสิ้นสุดของแผ่นฉนวน

รูปที่ 69. แรงไดอิเล็กโทรforeติกเมื่อ  $D = 1.0 \text{ mm}$ ,  $V_0 = 1 \text{ kV}$  และ  $\theta_0 = 15^\circ$



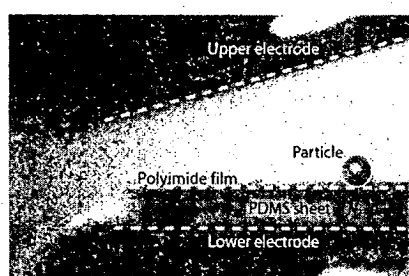
รูปที่ 70. แรงไดอิเล็กโทรforeติกที่ทำกับอนุภาคบนผิวนวน เมื่อ  $V_0 = 1 \text{ kV}$  และ  $\theta_0 = 15^\circ$

จากการทดลองวัดขั้นเด็นบนผิวของพอลิอีไมด์ แรงเสียดทานสถิตของอนุภาคอยู่ในช่วง 380 ถึง 730  $\mu\text{N}$  และของอนุภาคสแตนเลสมีค่าระหว่าง 368 ถึง 1270  $\mu\text{N}$ . แรงไดอิเล็กโทรforeติกมีขนาดขึ้นกับ  $V_0^2$  ในสมการที่ (103). จากผลการคำนวณเชิงเลขที่ได้ และขึ้นกับดัชนของความเสียดทานที่วัดได้ เราประมาณแรงดันเริ่มต้นเคลื่อนที่ของอนุภาค เมื่อ  $D = 1.0 \text{ mm}$  ได้ประมาณ 5.0  $\text{kV}$  สำหรับอนุภาคอยู่ในช่วง 6.6  $\text{kV}$  สำหรับอนุภาคสแตนเลส. จากค่า  $V_0$  ที่ประมาณได้ สนามไฟฟ้าเพิ่มหลังสูงสุด ในสภาวะปราศจากอนุภาค มีขนาดเท่ากับ 2.03 และ  $2.07 \text{ kV/mm}$  ที่บริเวณจุดสิ้นสุดของแผ่นฉนวน ซึ่งเป็นค่าที่ต่ำกว่าสนามไฟฟ้าที่ก่อให้เกิดชื้นจริงจะมีขนาดขึ้นกับลักษณะเรขาคณิตของแผ่นฉนวนอย่างมาก. นอกจากนี้ การมีอยู่ของอนุภาคบังทำให้สนามไฟฟ้ามีสูงขึ้นจากสนามไฟฟ้าเพิ่มหลัง ณ บริเวณโดยรอบอนุภาค. ทั้งนี้ หากว่าอนุภาคได้รับการอัดประจุไม่สูงนัก

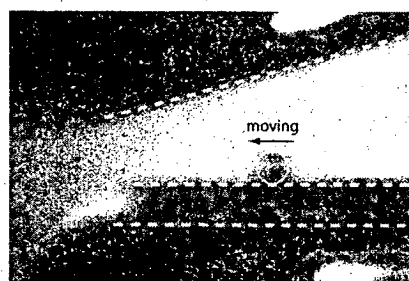
อนุภาคยังคงสามารถยึดติดกับแผ่นจนนานได้ด้วยแรงไอดิเล็กโตรไฟเรติก ซึ่งแสดงขนาดและทิศทางในรูปที่ 69.

#### ผลการทดลอง

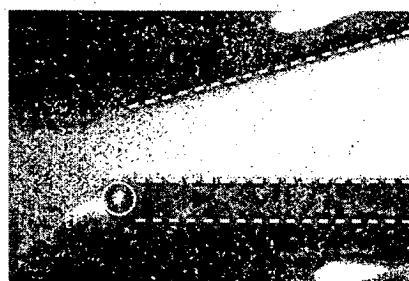
เพื่อพิสูจน์ผลการคำนวณเชิงเลข คณะผู้วิจัยได้ทำการทดลอง โดยใช้ระบบอิเล็กโตรไฟเรติกที่มีมุมเอียง  $15^\circ$  แผ่น PDMS หนา  $1 \text{ mm}$  ถูกใช้ในการทดลอง เนื่องจากผลการคำนวณเชิงเลขแสดงให้เห็นว่า ความหนาของชั้นวนสามารถเพิ่มขนาดของแรงไอดิเล็กโตรไฟเรติกได้. ผู้วิจัยใช้ลักษณะการสั่นสุดของแผ่นจำนวน 2 แบบ คือ 1. แผ่น PMDS และฟิล์มพอลิอิมิดส์ที่สุด ณ ตำแหน่ง(แนวอน)เดียวกัน 2. ฟิล์มพอลิอิมิดออกจากตำแหน่งสั่นสุดของแผ่น PDMS ไปอีกประมาณ  $1 \text{ ถึง } 2 \text{ mm}$ .



(ก) ตำแหน่งเริ่มต้น



(ข) การเคลื่อนที่หลังป้อนแรงดันให้กับอิเล็กโตร

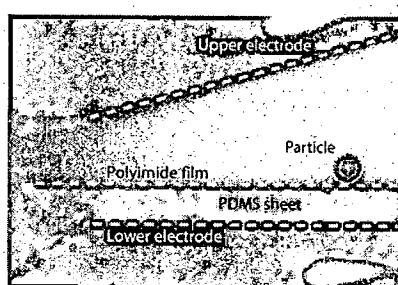


(ค) ตำแหน่งสุดท้าย

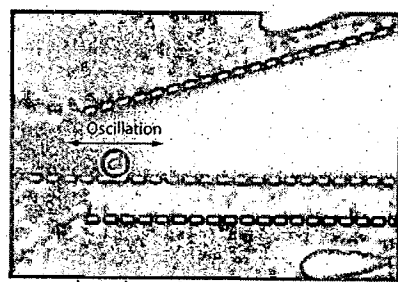
รูปที่ 71. ลำดับภาพตามเวลาของตำแหน่งอนุภาค เมื่อใช้ลักษณะการสั่นสุดของแผ่นจำนวนแบบแรก

รูปที่ 71 แสดงภาพการเคลื่อนที่ของอนุภาคบนชั้นวนที่บันทึกได้ เมื่อมีลักษณะการสั่นสุดของแผ่นจำนวนแบบแรก. อนุภาคมีตำแหน่งเริ่มต้นที่  $x_p \approx 14.6 \text{ mm}$  ซึ่งตรงกับความสูงอิเล็กโตรดบน  $z_u = 4.4 \text{ mm}$  (รูปที่ 71ก). หลังจากเพิ่มแรงดัน  $V_0$  ที่ป้อน ถึง  $3.5 \text{ kV}$  อนุภาคเริ่มเคลื่อนที่ตามผิวของอิเล็กโตรดไปทางซ้ายมือ ดังแสดงในรูปที่ 71ข. เมื่ออนุภาคเคลื่อนที่ถึงตำแหน่งสั่นสุดของแผ่น PDMS ในรูปที่ 71ค

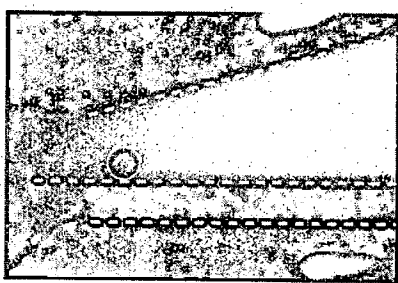
อนุภาคถูกยึดจับให้ติดกับขอบของ PDMS. อนุภาคคงอยู่ในสภาวะนี้ได้ แม้ว่าบังคับป้อนแรงให้กับระบบอิเล็กโตรดอย่างต่อเนื่อง. จากการทดลองข้างต้นนี่ คณะผู้วิจัยพนวจ อนุภาคอาจถูกยึดจับที่ขอบของ PDMS ดังแสดงในรูปที่ 71 หรืออาจเคลื่อนที่ผ่านแกปแคบสุดของระบบอิเล็กโตรดโดยไม่ลดความเร็ว และไม่ถูกยึดจับ. ความเป็นไปได้ของความสำเร็จและความล้มเหลวในการยึดจับอนุภาคมีใกล้เคียงกันโดยประมาณ. ทั้งนี้ ปริมาณของประจุที่ถูกอัดให้กับอนุภาคอาจเป็นปัจจัยสำคัญ ที่ส่งผลต่อความสามารถในการยึดจับอนุภาคที่ต่ำແணสิ้นสุดของแผ่นวน. แม้ว่าการใช้แผ่นวน PDMS และการใช้รั้งแกปที่เหมาะสมจะสามารถควบคุมอนุภาค ไม่ให้แยกตัวขึ้นจากอิเล็กโตรดล่างได้ อนุภาคยังคงถูกอัดประจุอยู่ในระดับหนึ่ง. ที่ต่ำແணสิ้นสุดของแผ่นวน อนุภาคอยู่ใกล้กับอิเล็กโตรด และแรงคูลومบ์อาจหักล้างกับแรงไดอิเล็กโตรไฟฟ์เรติกซึ่งถูกใช้ยึดจับอนุภาค.



(ก) ต่ำແணสิ้นสุดของแผ่นวน



(ข) การเคลื่อนที่หลังบังคับป้อนแรงดันให้กับอิเล็กโตรด



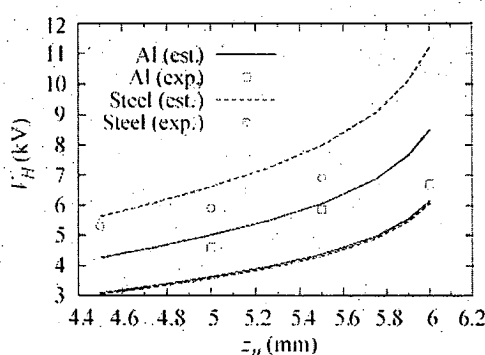
(ค) ต่ำແணสุดห้ำ

รูปที่ 72. ลำดับภาพตามเวลาของต่ำແணสิ้นสุดของอนุภาค เมื่อใช้ลักษณะการสิ้นสุดของแผ่นวนแบบที่ 2

จากทิศทางของแรงไดอิเล็กโตรไฟฟ์เรติกที่แสดงในรูปที่ 69 และ 70 เราจะเห็นได้ว่า แม้ว่าอนุภาคจะเคลื่อนที่ผ่านจุดสิ้นสุดของต่ำແணสนา�ไฟฟ้าสูงสุดไปแล้ว อนุภาคยังคงได้รับแรงไดอิเล็กโตรไฟฟ์เรติกค่าลบ ซึ่งดึงอนุภาคให้เข้าสู่ต่ำແணสนา�ไฟฟ้าสูงสุดอยู่. จากข้อสังเกตนี้ คณะผู้วิจัยได้ทดลองใช้ลักษณะการสิ้นสุดของแผ่นวนในแบบที่ 2 ดังแสดงในรูปที่ 72ก. ต่ำແணสิ้นสุดของอนุภาคตัวอย่างอยู่ที่เดียวกับรูปที่ 11ก.

โดยประมาณ พิล์มพอลิอีไนต์ถูกยึดให้ยาวกว่า PDMS ประมาณ 1 ถึง 2 mm. เมื่อป้อนศักย์ไฟฟ้าให้กับระบบอิเล็กโตรด อนุภาคเคลื่อนที่ไปยังด้านซ้ายมือ และแสดงการแก่งตัวไปทางด้านหน้าและด้านหลัง ภายใต้เริบแสงนามไฟฟ้าสูง ในรูปที่ 72x. หลังจากนั้น อนุภาคหยุดอยู่ที่บริเวณซึ่งใกล้กับตำแหน่งของสนามไฟฟ้าสูงสุด ตั้งแสดงในรูปที่ 72c.

คณะผู้วิจัยได้ทดลองวัดแรงดันเริ่มเคลื่อนที่  $V_H$  ของอนุภาค เมื่อตำแหน่งเริ่มต้นอยู่ที่ความสูง  $z_H$  ของอิเล็กโตรดด้านบนระหว่าง 4.5 และ 6.0 mm. ค่าเฉลี่ยของ  $V_H$  ที่วัดได้แสดงในรูปที่ 73. เพื่อที่จะเปรียบเทียบกับค่าการประมาณทางทฤษฎี เรายังได้ทดลองวัดแรงเสียดทานระหว่างอนุภาคกับพิล์มพอลิอีไนต์ โดยอาศัยระนาบที่ปรับมุมเอียงได้. อย่างไรก็ตาม ผลการวัดที่ได้ประมาณการทดลองแต่ละครั้งอย่างมาก ค่าของ  $V_H$  ที่ประมาณได้จากแรงเสียดทานค่าสูงสุดและต่ำสุดแสดงในรูปที่ 73 เพื่อการเปรียบเทียบ. รูปที่ 73 แสดงอย่างชัดเจนว่า ค่าของ  $V_H$  จากการทดลองเพิ่มขึ้นตามความสูง  $z_H$  ในแนวตั้งของแกป. คณะผู้วิจัยยังคงไม่สามารถสรุปได้โดยเด็ดขาดว่า ค่าของ  $V_H$  ที่วัดได้ สูงกว่าหรือต่ำกว่าค่าการประมาณทางทฤษฎี.



รูปที่ 73. แรงดันเริ่มเคลื่อนที่ของอนุภาคที่ได้จากการวัด (สัญลักษณ์) ของอนุภาคอลูมิเนียมและอนุภาคสเตนเลส เปรียบเทียบกับค่าสูงสุด (เส้นประ) และค่าต่ำสุด(เส้นทึบ) จากการประมาณ

ความสามารถในการยึดจับอนุภาคได้สำเร็จในการทดลองยังขึ้นอยู่กับ ตำแหน่งเริ่มต้นของอนุภาค. อนุภาคอลูมิเนียมที่เริ่มต้นในตำแหน่งความสูงอิเล็กโตรด  $z_H = 5, 5.5$  และ  $6.5$  mm มีความเป็นไปได้ในการถูกยึดจับเท่ากับ 100, 43 และ 14% ของจำนวนครั้งที่ทำการทดลอง ตามลำดับ. สำหรับอนุภาคสเตนเลสที่ตำแหน่งเริ่มต้น  $z_H = 4.5, 5$  และ  $5.5$  mm ความเป็นไปได้ในการยึดจับเท่ากับ 100, 100 และ 60% ตามลำดับ. ที่ความสูง  $z_H$  มากขึ้น พลังงานจลน์ของอนุภาคในขณะที่เคลื่อนที่เข้าสู่บันทอนุภาคมีค่าสูงขึ้น. นอกจากนี้ เนื่องจากสนามไฟฟ้าค่าสูง ต้องใช้ในการกระตุนให้ออนุภาคเริ่มเกิดการเคลื่อนที่ เมื่อ  $z_H$  มากขึ้น การรับกวนของแรงคูลومบ์มีความเป็นไปได้มากขึ้นเช่นเดียวกัน ณ บริเวณที่ต้องการยึดจับอนุภาค.